作業者による放射性核種の 摂取の限度 Part 2

作業者による放射性核種の摂取の限度

ICRP Publication 30 Part 2

国際放射線防護委員会専門委員会2の報告書

1978年7月に委員会によって採択されたもの ICRP Publication 2に置きかわるもの

> 社団 法人 日本アイソトープ協会 財団 仁科記念財団



Nishina Japan Memorial Radioisotope Foundation Association

Japanese Translation Series of ICRP Publications Publication 30 Part 2

This translation was undertaken by the following colleagues.

Translated by

Jun AKAISHI, Takashi SHIROTANI, Kazuo TAKADA, Seiichi MIZUSHITA, Akira YABE, Minoru FUJITA

Editorial Board

The Committee for Japanese Translation of ICRP Publications, Japan Radioisotope Association

Fumio YAMAZAKI (Chair) Hidehiko TAMAKI (Vice-chair)

Masami IZAWA * Tatsuii HAMADA Eizo TA IIMA

Presumed the founding committee members.

^{*}Former ICRP member.

邦訳版への序

本書は ICRP 専門委員会 2 の報告書,

Limits for Intakes of Radionuclides by Workers (ICRP Publication 30) の Part 2 (Annals of the ICRP, Vol. 4, Nos. 3/4, pp. 71) の全文, および, Part 2 に対する補遺 (Annals of the ICRP, Vol. 5, pp. 751) のうちの本文 (4頁) を, ICRP の了解のもとに翻訳したものである。

Part 2 には、30元素の245 核種に関する代謝データ、および、これら放射性核種の年摂取限度(ALI)と誘導空気中濃度(DAC)の計算値が含まれている。Part 2 に対する補遺は、算出に用いられた諸データのコンピュータからのアウトプットのコピーであるが、この訳書には Part 1 の訳と同様、最初の4 頁のみを訳出してある。線量算定の詳細な方法は既刊の Part 1 に記されているので、本書は Part 1 と合わせて用いられるべきものである。

原文では1つの元素の ALI と DAC とは同じ1つの表の中に示されているが、訳書ではわかりやすいように、Part 1 と同じく、ALI と DAC とを別々に表示することとした。本書を使用するうえでの注意等は Part 1 の訳書の「邦訳への序」に記したとおりなので、参照されたい。

翻訳は Part 1 と同じく, 次の方々によって行われた:

赤石 準, 城谷 孝, 高田和夫, 水下誠一, 矢部 明(以上 日本原 子力研究所)

藤田 稔(東北大学)

最終的調整は編者によって行われたので、訳についての責任は編者にある。

なお、Part 1 と Part 2 には記載のなかった43元素の 323 核種を含む Part 3 がすでに発表されていて翻訳も進行中である。Publication 30 はこれら 3 Parts

(ii) をもって完了する。

昭和57年4月

本语は ICRP 専門委員会2の報告書:

Part 2 (Annals of the ICRP, Vol. 4, Nos. 3-4, pp. 71) D.F.Y. 33,

Part 2 年对于正确混(Annals of the ICRP, Vol. 5, pp. 751) 0 9 50

ス (4 以) 25. ICRP の 1 所の 5 とに動揺したものである。

2017.2 P.32. 30 JEボウ 245 板機に関する代謝サース。および、これら反射 板機の中域原設度 (ALD) と誘導型気中療薬 (DAC) の計算能が含まれてい

された・・・とつロのスーを指定は、新出に用いられた語デースのコンピュースから

可やみを認用してある。健康保証の評解な方法は使用の Part 1 に記されて

「文字は1つの元素の ALI S DAC 上は同じ1つの素の中に深まれている

Na Managara And S Lia C Na C Na C DAC とを別々

非別への的」に近したとなりまって、数別されたい。

· 拉斯拉拉罗马来源人民意,为中国主义和新疆。

是本门 上层 世 雅兴 ,一座主治 (民籍国语 ,等 音源)等 (1886

磁相 悠(東北太学)

本語、Ent. 1 と Par 2 Kは記載の定かった43元素の 323 核酸を含む Part 3

さずでに発表されていて観性を進行中である。Publication JO まこれら 3 Parts

目2012次

頁			
1		辞	謝
2	氏への感謝	G.W. Dolphin	故
3			序
		謝データ	代記
		原子番号 元	
7	素		
	リウム		
	黄		
	素		
	ゴン		
Ed.	ウム・・・・・・・・・・・・・・・・・・・・・・・・・・・・・・・・・・・・		
	シウム		
	nónkondra Daol 4	08	
	Part 2. (CXIII SABIJ		
	☆八 ・・・・・・・・・・・・・・・・・・・・・・・・・・・・・・・・・・・・	30 重	
	素	35 臭	
	グ ウム		
53	トリウム		
	ネチウム・・・・・・・・・・・・・・・・・・・・・・・・・・・・・・・・・・・・		
	ニウム・・・・・・・・・・・・・・・・・・・・・・・・・・・・・・・・・・・・		
	ウム		

	47	銀	69
	48	カドミウム	73
	49	インジウム	78
	54	キセノン	
	56	バリウム	
	75	レニウム	88
	76	オスミウム	.92
	77	イリジウム	.95
	79	金·····	100
	80	水 銀	104
	82	УН .	113
	83		118
	93	ネプツニウム・・・・・・	
追	補		127

ICRP Publication 30 Part 2 に対する補遺(主文)

この報告書を作成した ICRP 専門委員会 2の構成員は次の人々であった。

J. Vennart (委員長), W.J. Bair, G.W. Dolphin (幹事-1979年8月死去), L.E. Feinendegen, Mary R. Ford, A. Kaul, C.W. Mays, J.C. Nenot, B. Nosslin, P.V. Ramzaev, C.R. Richmond, R.C. Thompson および N. Veall。

専門委員会は、データの収集およびこの報告書の作成にあたって N. Adams と M.C. Thorne が引き受けて下さった多大の労に感謝の意を記し、また、吸入した放射性核種のデータを調査、検討された元専門委員の P.E. Morrow および秘書として協力された Lorene Ashby と Joan Rowley に感謝の意を表したい。

線量計算は次の課題グループによって行われた。

Mary R. Ford (委員長), J.R. Bernard, L.T. Dillman, J.W. Poston および Sarah B. Watson。

専門委員会 2 は、この骨の折れる仕事が遂行できたのは、この課題グループ のおかげであることを記しておきたい。

故 G.W. Dolphin 氏への感謝

Geoff Dolphin 氏は1969年以降 ICRP 専門委員会 2 の構成員であり、1973年からは1979年8月20日の早世まで幹事をつとめた。彼は幹事としての職務を立派につとめ、これによって他の人では成し得ないような秩序を当委員会の業務にもたらした。委員会の構成員はすべて、彼のしきたりにとらわれない見方と良識を多とした。

彼は人生の幸を享受し、多くの国々で得た友人達との交際を楽しんだ。彼が 幹事に就任してから、専門委員会2の構成員であることは新たな面をもつこと となった。すなわち、昼の骨の折れる仕事は、彼が手配した懇親の夕べによっ て報われるのが常であり、何にもまして彼の家庭で夫人Yvonneとともにこの 夕べが催されることを彼は好んだ。

診断を受けるために入院する数日前まで、仕事を続けるにつれて彼の健康が 衰えていくのをみて我々は皆心配した。彼の死は大きな損失となろう。 この報告書に与えられているデータは、ICRP Publication 30 Part 1^{1})に記述されている本文および線量算定用モデルと一緒に用いられるべき 6^{1} のである。この序で引用している章は Part 1^{1} の章である。

Part 1 の刊行後委員会は、この巻の前の部分に報告されているように*、眼の水晶体について勧告される線量当量限度を、1年につき0.3 Sv から、1年につき0.15 Sv に減ずることに決定した。この新しい値は、この報告書では希がスのアルゴンおよびキセノンの放射性同位体の誘導空気中濃度 (DAC) を考察するときに使用する。クリプトンのいくつかの放射性同位体に関して Part 1に与えられている DAC の値はそのために変更するが、その変更は追補に記してある(この報告書の終わりにある)。

ここで考察する元素のいくつかの放射性同位体について年摂取限度(ALI)の値を導くために、Part 1 の本文に以下の事項を追加し、それを使用した。

1. ³⁷Ar のサブマージョンに関する DAC

第8章の8.2.3節で論じた方法は、かなりのエネルギーの光子または β 粒子を放出する希ガスのアルゴン、クリプトンおよびキセノンの放射性同位体のすべてに関して述べたように、妥当なものである。しかし、 37 Ar は電子捕獲により崩壊し、 70 μ m の深さにある表皮の基底層まで皮膚を貫通するには十分でないエネルギーのオージェ電子を放出し、また、 3 keV より低いエネルギーの

^{*} 訳注 Statement and Recommendations of the 1980 Brighton Meeting of the ICRP のこと。この Statement とここに訳出した ICRP Publication 30, Part 2とは, Annals of the ICRP, Vol. 4, No. 3/4 (1980) として刊行されたので,この記述がある。

X線を放出するが、このX線のごく一部しかその深さにまで達しない。このような状況では、 87 Ar の被曝を、第 8 章 8 . 2 . 1 節で元素状トリチウムに関して述べたのと同様に、肺の線量当量率を考察することによって制限するほうが適切である。

2. 吸収割合

インジウムについての代謝データでは、通過コンパートメントから出ていくこの元素の一部は赤色骨髄に移行する。しかし、赤色骨髄は第4章および第7章では線源器官とみなされていない。体内のインジウムの放射性同位体のうち赤色骨髄中にある部分については、光子の吸収割合は Snyder 6^{20} の報告の値から採用する。赤色骨髄の中にあるインジウムの放射性同位体の β 粒子については、赤色骨髄における吸収割合 AF $(RM\leftarrow RM)$ は1であると仮定する。赤色骨髄に隣接する骨表面の線量当量は赤色骨髄における平均線量と同一とする。したがって、骨表面全体(このうち半分だけが赤色骨髄に隣接する,第7章7.2 節)に対する線量当量は赤色骨髄の線量当量の1/2になる。

膀胱中の金の放射性同位体については、β粒子による膀胱壁の線量当量を膀胱内容物の線量当量の半分にとる。光子の吸収割合の値は Deus ら³) の報告の値から採用する。

テクネチウムもレニウムも通過コンパートメントから胃壁に移行するが、胃 壁は第 4 章では線源器官とみなされていない。これらの元素の放射性同位体に ついては β 粒子の吸収割合 AF (ST WALL \leftarrow ST WALL) を 1 とし、また光 子については、吸収割合の値は Deus ら 3 の報告から採用する。

Mは銅と水銀の両方についての線源器官である。これらの元素の放射性同位体について、光子に関する吸収割合 AF (BRAIN \leftarrow BRAIN) は Snyder ら $^{4)}$ が記述した方法を用いて計算された。 β 粒子については AF は 1 とする。

以下のページには、個々の元素の関連する代謝データと、それに続いて、そ

の元素の放射性同位体で放射性半減期が10分より長いものについての ALI と DAC の値の表が示されている。

記述されている代謝モデルは,その元素の安定同位体の化合物に関するものである。文献に示されている残留データは,必要に応じ,問題としている放射性核種の放射性崩壊について補正を行った。胃腸管の吸収は個人個人でかなり変動するので, f_1 の値すなわち胃腸管に入った後体液に達する 安定元素 の割合は,有効数字 1 個だけで示す(第 6 章,6 2 節)。吸入については,ALI とDACの値はその元素のいろいろな化合物にあてはまるそれぞれ異なる吸入のクラス(D, W と Y)別に示す(第 5 章)。

代謝データの中で、時間を記号 t で表してある場合には、特記してある場合を除いてその単位はつねに日である。

ALI (Bq) の値は,経口および吸入の経路で人体に入る場合について与えられている。吸入に関する限度は吸入の場合の ALI であること,そして,週40時間の労働についての DAC (Bq/m $^{\circ}$) の値は便宜上示してあるにすぎず,つねに注意して使用すべきであることを強調しておく(第3章,3.4節)。吸入に関する ALI の値および DAC の値は,AMAD が1 μ m の粒子についてのものである。他のサイズの粒子についてこれらの値を補正する方法は,第5章,5.5節に記され,必要な数値データはこの Part の補追に与えられている。

ALIの値がある特定の器官または組織に対する非確率的線量当量限度によって決まる場合には、確率的影響を制限するための委員会の勧告を満足する年摂取量の最大値を、ALIの下に括弧をつけて示す。非確率的限度が適用される器官または組織名を、これらの2つの値の下に示す。ALIが確率的な限度によって決定される場合には、その値のみを示す(第4章、4.7節)。

ことに示される ALI と DAC の値はすべて職業上被曝する成人に関するものであり、ほかの目的には慎重に使用しなければならない(第9章)。

文 献

- 1) ICRP Publication 30, Part 1, Limits for Intakes of Radionuclides by Workers. Annals of ICRP 2, No. 3/4, 1979.
 - Snyder, W. S., Ford, Mary R. and Warner, G. G. Estimates of specific absorbed fractions for photon sources uniformly distributed in various organs of a heterogeneous phantom. MIRD Pamphlet No. 5 Revised, Society of Nuclear Medicine (1978).
 - Deus, S. F., Provenzano, V. and Snyder, W. S. (1977). Specific absorbed fractions for photons emitted in the walls of the GI tract. *Health Phys.*, 33, 191-197.
 - 4) Snyder, W. S., Ford, M. R., Warner, G. G. and Watson, S. B. (1974). A tabulation of dose-equivalent for microcurie-day for source and target organs of an adult for various radionuclides, Oak Ridge National Laboratory Report ORNL-5000.

フッ素の代謝データ

1. 代 謝

「標準人」」のデータ

人体のフッ素含有量2.6 g骨のフッ素含有量2.5 g飲食物からの1日当たりの摂取量1.8 mg

2. 代謝モデル

(a) 血中への取り込み

食物中に存在するフッ化物または飲料水に添加されたフッ化物の 吸 収 は 速 く,ほとんど完全である 1 。 このことは,溶液中のフッ素のほとんどの無機化 合物 2)についても正しいと思われ,この報告書ではフッ素のすべての化合物に ついて f_{1} を 1 とする。

(b) 吸入のクラス

ICRP の「肺動態課題グループ」³⁾ は、種々の元素のフッ化物を吸入のクラス D,W またはYに指定している。ある特定の元素のフッ化物にあてはまる吸入のクラスに関する情報については、その元素の代謝データまたは課題グループの報告書を参照されたい。

吸入のクラス	El rhazoral	f_1	book
TT81) D	T ban O	1	E. I
W		14 1 1	
Y		Til Res.	

(c) 分布と残留

血液に入るフッ素は,非常に急速に無機質骨に沈着し^{4)~7)},注射後20分で沈 着は実質的に完了する^{5),6)}。

この報告書では、通過コンパートメントに入るすべてのフッ素は、瞬間的に 骨格へ移行すると仮定する。この報告書で考察するフッ素の同位体には、120 分より長い放射性半減期をもつものは1つもないので、放射線防護の目的に は、骨格に沈着したフッ素はそこに無期限に残留すると仮定するのが適切であ る55,65。

3. 骨線量算定のための同位体の分類

この報告書で考察するフッ素の同位体には120分より長い放射性半減期をもつものは1つもないので、フッ素は骨格に沈着した後いつでも骨表面に均等に分布していると仮定する。

文 献

- ICRP Publication 23, Report of the ICRP Task Group on Reference Man. Pergamon Press, Oxford, 1975.
- 2) Underwood, E. J. Trace Elements in Human and Animal Nutrition. Academic Press, London, 1971, pp. 369-406.
- ICRP Task Group on Lung Dynamics (1966). Deposition and retention models for internal dosimetry of the human respiratory tract. *Health Phys.*, 12, 173-207.
- 4) Wootton, R. (1974). The Single Passage Extraction of ¹⁸F in Rabbit Bone. Clinical Science and Molecular Medicine, 47, 73-77.
- Costeas, R., Woodard, H. Q. and Laughlin, J. S. (1970). Depletion of ¹⁸F from Blood Flowing Through Bone. J. Nucl. Med., 11, 43-45.
- 6) Humphreys, E. R., Fisher, G. and Thorne, M. C. (1977). The Measurement of Blood Flow in Mouse Femur and its Correlation with ²³⁹Pu Deposition. Calcif. Tiss. Res., 23, 141–145.

 Hall, L. L., Kilpper, R. W., Smith, F. A., Morken, D. A. and Hodge, H. C. (1977). Kinetic model of fluoride metabolism in the rabbit. *Environ.* res., 14, 285-302.

フッ素の同位体に関する年摂取限度 ALI (Bq) および誘導空気中濃度 DAC (Bq/m³) (40 h/wk)

ALI (Bq)

			吸 入	
放射性核種	経 口	クラスD	クラスW	クラスY
	$f_1 = 1$	$f_1 = 1$	$f_1 = 1$	$f_1 = 1$
¹⁸ F	2 ×10°	3 ×10 ⁹	3 × 10 ⁹	3 × 10 ⁹
	(2×10°)			
	胃 壁			

DAC (Bq/m^3) (40 h/wk)

		吸 入	
放射性核種	クラスD	クラスW	クラスY
	$f_1 = 1$	$f_1 = 1$	$f_1 = 1$
¹⁸ F	1 ×10 ⁶	1 ×10 ⁶	1 ×10 ⁶

ナトリウムの代謝データ

1. 代謝

「標準人」1)のデータ

人体のナトリウム含有量	100 g
軟組織のナトリウム含有量	68 g
骨格のナトリウム含有量	32 g
飲食物からの1日当たりの摂取量	4.4 g

2. 代謝モデル

(a) 血液への取り込み

ナトリウムは実際上全量がヒトの胃腸管 2)から吸収される。したがって f_1 を1とする。

(b) 吸入のクラス

ICRP の「肺動態課題グループ」³⁾ は、ナトリウムのすべての化合物を吸入のクラスDに指定しているので、ここでもこの分類を採用する。

吸入のクラス	f_1
D	1
W	
Y	

(c) 分布と残留

人体におけるナトリウムの生物学的半減期は、食餌中の安定ナトリウムのレ

ベルに大きく影響され、1日当たりの摂取量が0.25gの場合の335日から、1日当たりの摂取量が30gの場合の5日にまで減少する4。 3名のヒトについての研究によって、ナトリウムの残留に関し、生物学的半減期がそれぞれ8.5日、13.5日および445日である3つの成分が示された50。 これらの場合、長期の成分は投与したナトリウムの0.03%より少なかった。Vennart60 も、ナトリウムに関し、生物学的半減期が1,100日で、投与した放射性核種の0.35%を占める長期の残留成分を報告している。

この報告書では、通過コンパートメントを出て骨に移行するナトリウムの割合は 0.3 と仮定する。通過コンパートメントを出ていく残りのナトリウムは人体のその他すべての器官および組織の全体に均等に分布すると仮定する。骨格に沈着したナトリウムのうち、0.99および0.01の割合が、それぞれ、10日および 500 日の生物学的半減期で残留すると仮定する。骨格以外の人体の任意の器官あるいは組織に沈着したナトリウムは、10日の生物学的半減期で残留すると仮定する。これらの残留関数は、ヒトで観察されたナトリウムの残留および標準人について与えられている安定ナトリウムの器官および組織含有量と一致している。

3. 骨線量算定のための同位体の分類

ナトリウムは主として細胞内液および細胞外液中に存在するので、ナトリウムの放射性同位体は、骨格に沈着した後いつでも無機質骨、骨髄、軟骨および 関節周囲の組織に均等に分布していると仮定する。

文 献

- ICRP Publication 23, Report of the ICRP Task Group on Reference Man. Pergamon Press, Oxford, 1975.
- 2) Wiseman, G. Absorption from the Intestine. Academic Press, London,

1964, pp. 191-198.

- ICRP Task Group on Lung Dynamics (1966). Deposition and retention models for internal dosimetry of the human respiratory tract. *Health Phys.*, 12, 173-207.
- 4) Smiley, M. G., Dahl, L. K., Spraragen, S. C., Silver, L. (1961). Isotopic Sodium Turnover Studies in Man: Evidence of Minimal Sodium (Na²²) Retention 6 to 11 Months after Administration. J. Lab. Clin. Med., 58, 60-66.
- Richmond, C. R. and Furchner, J. E. Estimation of radiation protection guides: Interspecies correlations. In: Proc. of the First Inter. Congr. of Rad. Prot., Rome, Italy (September 5-10, 1966) Vol. 11, Pergamon Press, New York (1968), pp. 1417-1431.
- 6) Vennart, J. External Counting. In: Diagnosis and Treatment of Radioactive Poisoning, ST1/PUB65 (IAEA, 1963) pp. 3-22.

ナトリウムの同位体に関する年摂取限度 ALI (Bq) および誘導空気中 濃度 DAC (Bq/m³) (40 h/wk)

ALI (Bq)

d Aminoria - mili		吸 入
放射性核種	経口	クラスD
	$f_1 = 1$	$f_1 = 1$
²² Na	2 ×10 ⁷	2×10 ⁷
²⁴ Na	1×10^{8}	2×10^8

DAC (Bq/m^3) (40 h/wk)

3.4(1.3)	吸 入
放射性核種	クラスD
	$f_1 = 1$
²² Na	1×10 ⁴
²⁴ Na	8 × 10 ⁴

硫黄の代謝データ

1. 代謝

「標準人」1)のデータ

全身の硫黄含有量	140 g
軟組織の硫黄含有量	120 g
飲食物からの1日当たりの摂取量	0.85 g

2. 代謝モデル

(a) 血液への取り込み

ヒトの胃腸管からの硫黄の吸収割合は、代表的には硫黄の有機化合物については0.6よりも大きい $^{2),8}$ 。 Na_2 $^{55}SO_4$ の形で経口摂取された ^{55}S の吸収割合は、Dziewiatkowski の実験 $^{4)}$ から、0.75 より大きいと推定できる。元素状硫黄はこの元素の無機化合物よりも胃腸管から吸収されにくい 50 。この報告書では、硫黄のすべての無機化合物について f_1 を0.8,元素状の硫黄について0.1 と f_2 f_3 f_4 f_4 f_5 f_6 f_6 f_7 f_8 $f_$

(b) 吸入のクラス

放射性硫黄の肺からのクリアランスの速度は吸入した硫黄の化合物に大きく 左右される。ICRP の「肺動態課題グループ」⁶⁾ はすべての元素の硫酸塩およ び硫化物を吸入のクラスDまたは吸入のクラスWに指定した。

ある特定の元素の硫酸塩および硫化物の分類に関する情報は、その元素についての代謝データあるいは「肺動態課題グループ」の報告書⁶⁾を参照された

(14)

いい

元素状硫黄は吸入のクラスWに入ると仮定する。

放射線防護の目的には、吸入された後胃腸管に入る元素状硫黄およびその元素の無機化合物について f_1 は0.8と仮定するが、元素状硫黄については多分、かなり安全側の仮定であることを承知している。

吸入のクラス	f_1
D	0.8
W	0.8
Y	是非合类旅

ガス体である SO_2 , COS, H_2S および CS_2 の吸入も考察しなければならない。文献を調査,検討して Vennart と Ash^7 は,このような化学形で吸入された硫黄はほとんど血流に取り込まれるとするのが慎重な態度であろうと結論した。

この報告書では、 SO_2 、COS、 H_2S あるいは CS_2 の形で肺に入る硫黄は完全にそして瞬間的に通過コンパートメントに移行すると仮定し、またその後は、その代謝がこの元素の他の無機化合物の経口摂取あるいは吸入の後通過コンパートメントに入った硫黄の代謝と同じであると仮定する。

(c) 分布と残留

ラットの実験 9 とヒトについての経験 8 $^{-11}$) は少なくとも 2 つの残留の成分を示している。ヒトについては 0.3 日の生物学的半減期で急速に除去される成分が観測されている 9 $^{-10}$)。その後に,最短でも 7 日 9 ,10)あるいは,ことによると80 日 11 にも及ぶ生物学的半減期をもつより遅いクリアランスの成分がある。しかし,この 2 つの成分では「標準人」 11 に与えられている全身の硫黄含有量を説明するには不十分であり,第三の長期の成分を仮定しなければならない。

注射後の初期には, 硫黄は人体の種々の器官および組織にほとんど均等に分

布する¹²⁾。そして、安定硫黄についても同様な分布が観測されている¹⁾。 この報告書では、通過コンパートメントから出ていく硫黄のうち0.15および0.05の割合は人体のすべての器官および組織に均等に分布し、それぞれそこに20日および2,000日の生物学的半減期で残留すると仮定する。通過コンパートメントから出ていく残りの部分は直接に排泄されるものと仮定する。

(d) 有機化合物

硫黄の有機化合物の代謝挙動はこの元素の無機化合物の代謝挙動とはかなり 異なる。シスチンおよびメチオニンのような硫黄の有機化合物はいろいろな代 謝物質の中にとりこまれる⁵⁾。したがって、有機化合物として人体に入った硫 黄はしばしば長期間残留する⁸⁾。硫黄の有機化合物の代謝はこの報告書ではこ れ以上考察しない。そしてこれらの化合物については被曝の限度を与えない。

3. 骨線量算定のための同位体の分類

硫黄は人体のすべての器官および組織に均等に分布すると仮定する。したがって、骨の線量算定の目的でこの元素の同位体を分類する必要はない。

文 献

- ICRP Publication 23, Report of the ICRP Task Group on Reference Man. Pergamon Press, Oxford, 1975.
- Volwiler, W., Goldsworthy, P. D., MacMartin, M. P., Wood, P. A., Mackay, I. R. and Fremont-Smith, K. (1955). Biosynthetic Determination with Radioactive Sulphur of Turn-over Rates of Various Plasma Proteins in Normal and Cirrhotic Man. J. Clin. Invest., 34, 1126-1146.
- Minski, M. and Vennart, J. (1971). Maximum Permissible Intakes of ³⁵S-L-Methionine and ³⁶S-Sodium Sulphate Deduced from Experiments on Rats. Health Phys., 20, 1-9.
- 4) Dziewiatkowski, D. D. (1949). On the Utilization of Exogenous Sul-

- phate Sulphur by the Rat in the Formation of Ethereal Sulphates as indicated by the use of Sodium Sulphate Labelled with Radioactive Sulphur. *J. Biol. Chem.*, 178, 389-393.
- 5) Dziewiatkowski, D. D. Sulfur. In: Mineral Metabolism, Vol. 2, Part B, Eds. Comar, C. L. and Bronner, F. Academic Press, New York, 1962.
- ICRP Task Group on Lung Dynamics (1966). Deposition and retention models for internal dosimetry of the human respiratory tract. Health Phys., 12, 173-207.
- 7) Vennart, J. and Ash, P. J. N. D. (1976). Derived Limits for ⁸⁵S in Food and Air. *Health Phys.*, 30, 291–294.
- 8) Walser, M., Seldin, D. W. and Grollman, A. (1953). An Evaluation of Radiosulphate for the Determination of the Volume of Extracellular Fluid in Man and Dogs. *J. Clin. Invest.*, 32, 299-311.
- 9) Andrews, J. R., Swarm, R. L., Schlachter, L., Brace, K. C., Rubin, P., Bergenstal, D. M., Gump, H., Siefel, S. and Swain, R. W. (1960). The Effects of One Curie of Sulphur 35 Administered Intravenously as Sulphate to a Man with Advanced Chondrosarcoma. Am. J. Roent., 83, 123-134.
- 10) Maass, A. R., Flanagan, T. L., Blackburn, D. and Smith, M. (1963). Accidental Personnel Exposure to Elemental S⁸⁵. Health Phys., 9, 731–740.
- 11) Gottschalk, R. G., Alpert, L. K. and Miller, P. O. (1959). The Use of Large Amounts of Radioactive Sulfur in Patients with Advanced Chondrosarcomas II Distribution and Tissue Irradiation. Cancer Res., 19, 1078-1085.
- 12) Woodard, H. Q., Pentlow, K. S., Mayer, K., Laughlin, J. S. and Marcove, R. C. (1976). Distribution and Retention of ⁸⁵S-Sodium Sulphate in Man. J. Nucl. Med., 17, 285-289.

硫黄の同位体に関する年摂取限度 ALI (Bq) および誘導空気中濃度 DAC (Bq/m 8) (40 h/wk)

ATT	(D	1
ALI	(BC	1)

		吸	入
経		クラスD	クラスW
$f_1 = 8 \times 10^{-1}$	$f_1 = 1 \times 10^{-1}$	$f_1=8\times 10^{-1}$	$f_1 = 8 \times 10^{-1}$
4×10 ⁸	2×10 ⁸	6×10 ⁸	8×10 ⁷
	大腸下部壁		
	$f_1=8\times 10^{-1}$	$f_1 = 8 \times 10^{-1}$ $f_1 = 1 \times 10^{-1}$ 4×10^8 2×10^8 (3×10^8)	経 口 クラスD $f_1=8\times10^{-1} f_1=1\times10^{-1} f_1=8\times10^{-1}$ $4\times10^8 2\times10^8 6\times10^8$ (3×10^8)

気体状化合物

	吸 入
³⁵ S	5 ×10 ⁸

DAC (Bq/m³) (40 h/wk)

	吸 入		
放射性核種	クラスD クラスW		
のことを記録しているが、	$f_1 = 8 \times 10^{-1}$ $f_1 = 8 \times 10^{-1}$		
85S	3×10 ⁵ 3×10 ⁴		

気体状化合物

H 10	
吸入	
2×10 ⁵	
	吸入

塩素の代謝データ

1. 代謝

「標準人」1) のデータ

人体の塩素含有量95 g軟組織の塩素含有量81 g飲食物からの1日当たりの摂取量5.2 g

2. 代謝モデル

(a) 血液への取り込み

6名の若年者についての収支の研究²⁾ は、食餌中の塩化物が胃腸管から吸収される割合は0.9より大きいことを証明した。Wiseman³⁾ は、毎日摂取している塩化物の小腸による吸収割合は0.8より大きいと結論している。この報告書では、塩素のすべての化合物について f_1 を1とする。

(b) 吸入のクラス

ICRP の「肺動態課題グループ」がは、すべての元素の塩化物を吸入のクラスDまたはWのどちらかに指定している。特定の元素の塩化物のクラス区分についての情報は、その元素についての代謝データあるいは「課題グループ」の報告書を参照されたい。

吸入のクラス	f_1
D	1
W	1
Y	_

(c) 分布と残留

CI で標識された塩化ナトリウムを静脈内に注射された2名の健康人がは、塩化物を多量に含む食餌をとった場合、約6日でCIの半分を排出した。しかし、塩化物の少ない食餌にした場合には、残留の半減期は30日程度であった。ヒトにおける臭化物と塩化物の代謝は非常に似ていることが示されているがため、これらの半減期は標識された臭化ナトリウムの残留に関してヒトに見出されている生物学的半減期の10日と対比されよう。この報告書では、通過コンパートメントから出ていく塩化物は人体のすべての器官および組織の間に均等に分布しい、これらの器官および組織に10日の生物学的半減期で残留すると仮定する。

(d) 娘核種の挙動

³⁹Cl は崩壊して ³⁹Ar になるが,この ³⁹Ar は,放射性半減期が長いために 崩壊することなく体外に出ていくと仮定する。

3. 骨線量算定のための同位体の分類

塩素は人体内に均等に分布すると仮定するので、骨の線量算定の目的でこの 元素の同位体を分類する必要はない。

文 献

- ICRP Publication 23, Report of the ICRP Task Group on Reference Man. Pergamon Press, Oxford, 1975.
- Burrill, M. W., Freeman, S. and Ivy, A. C. (1945). Sodium Potassium and Chloride Excretion of Human Subjects Exposed to a Simulated Altitude of Eighteen Thousand Feet. J. Biol. Chem., 157, 297-302.
- 3) Wiseman, G. Absorption from the Intestine. Academic Press, London, 1964, pp. 201–204.

(20)

専門委員会2の報告

- ICRP Task Group on Lung Dynamics (1966). Deposition and retention models for internal dosimetry of the human respiratory tract. *Health Phys.*, 12, 173-207.
- Ray, C. T., Burch, G. E. and Threefoot, S. A. (1952). Biologic Decay Rates of Chloride in Normal and Diseased Man Determined with Long-life Radiochlorine, G³⁶. J. Lab. Clin. Med., 39, 673-696.
- Reid, A. F., Forbes, G. B., Bondurant, J. and Etheridge, J. (1956).
 Estimation of Total Body Chlorine in Man by Radio-Bromide Dilution.
 J. Lab. Clin. Med., 48, 63-68.

塩素の同位体に関する年摂取限度 ALI (Bq) および誘導空気 中 濃 度 DAC (Bq/m^3) (40 h/wk)

ALI (Bq)

		吸 入	
放射性核種	経 口	クラスD	クラスW
建国国际企业程	$f_1 = 1$	$f_1 = 1$	$f_1 = 1$
³⁶ C1	6×10 ⁷	9×10 ⁷	9×10 ⁶
⁸⁸ Cl	6×10 ⁸ (9×10 ⁸) 胃 壁	2×10 ⁹	2×109
³⁹ C1	8×10 ⁸ (1×10 ⁹) 胃 壁	2×10 ⁹	2×10°

DAC (Bq/m³) (40 h/wk)

	吸 入		
放射性核種	クラスD クラス		
Test Group on K	$f_1 = 1 \qquad f_1 = 1$	$f_1 = 1$	
36Cl	4×10^4 4×10^3	319	
38C1	6×10 ⁵ 7×10 ⁵		
89C1	8×10^{5} 9×10^{5}		



アルゴンの代謝データ

アルゴンについては代謝モデルは提案されていない。この報告書の Part 1の第8章で説明したように、光子またはかなりのエネルギーをもつ β 粒子を放出する放射性核種については、放射性希ガスの雲中の被曝は、通常体外照射によって制限される。その理由は、組織に吸収されたガスあるいは肺に入っているガスによる線量当量率は、体外照射による組織の線量当量率と比較して無視できるからである。1つの例外は 87 Arであって、これはきわめて低いエネルギーのオージェ電子とX線を放出する(序を参照)。それゆえ、 89 Ar および 41 Arについて勧告される DAC の値は体外照射の考察に基づいており、 87 Arについての DAC 値は肺の線量当量の考察に基づいている。

アルゴンの同位体に関する誘導空気中濃度 DAC (Bq/m³) (40 h/wk)

放射性核種	吸 入
³⁷ Ar	5×10 ¹⁰

放射性核種	半無限大の雲	1,000m³の部屋	500m³の部屋	100m³の部屋	110
³⁹ Ar	7×10 ⁶ (5×10 ⁸) 皮 膚	7×10 ⁶ (7×10 ⁹) 皮 膚	7×10 ⁶ (9×10 ⁹) 皮膚	7×10 ⁶ (2×10 ⁶) 皮膚	2 × 10
⁴¹ Ar	1×10 ⁵	2×10 ⁶ (3×10 ⁶) 皮膚	2×10 ⁶ (3×10 ⁶) 皮膚	2×10 ⁶ (6×10 ⁶) 皮 膚	

置長ら亦允 (3)

カリウムの代謝データ

1. 代 謝

「標準人」1)のデータ

人体のカリウム含有量	140	g
軟組織のカリウム含有量	120	g
飲食物からの1日当たりの摂取量	3.3	g

2. 代謝モデル

(a) 血液への取り込み

カリウムの胃腸管からの吸収はほとんど完全であることが知られ 1 , それゆ f_{1} を 1 とすることとした。

(b) 吸入のクラス

ICRP の「肺動態課題グループ」²⁾ の勧告にしたがって、カリウムのすべて の化合物は吸入のクラスDに入ると考える。

(のクラス	f_1
D	1
W	
Y	_
	D

(c) 分布と残留

カリウムは、人体のすべての器官および組織にかなり均等に分布し1)、これ

らのすべての器官および組織の間で容易に交換可能である^{8),4)}。したがって, この元素の全身残留は単一の指数関数によって最もよく記述される。この指数 関数の半減期は,安定カリウムの全身含有量と排泄速度から推定できる。「標 準人」¹⁾ に与えられたデータを使って,30日の半減期が得られ,ここではこの 値を採用した。

したがって、通過コンパートメントに入ったカリウムは、瞬間的に人体のすべての器官および組織に移行し、そこに30日の生物学的半減期で残留すると仮定する。また、カリウムは通過コンパートメントに入った後いつでも人体内に均等に分布すると仮定する。

3. 骨線量算定のための同位体の分類

カリウムは人体内に均等に分布すると仮定するので, 骨の線量算定の目的で この元素の同位体を分類する必要はない。

文 献

- ICRP Publication 23, Report of the ICRP Task Group on Reference Man. Pergamon Press, Oxford, 1975.
- ICRP Task Group on Lung Dynamics (1966). Deposition and retention models for internal dosimetry of the human respiratory tract. *Health Phys.*, 12, 173-207.
- Sollman, R. A Manual of Pharmacology. W. B. Saunders, 1975, pp. 1039-1041.
- Wilde, W. S. Potassium. In: Mineral Metabolism, Vol. 2, Part B, Eds. Comar, C. L. and Bronner, F. Academic Press, London, 1962.

専門委員会2の報告

カリウムの同位体に関する年摂取限度 ALI (Bq) および誘導空気中濃 度 DAC (Bq/m³) (40 h/wk)

ALI (Bq)

		吸 入
放射性核種	経 口	クラスD
	$f_1 = 1$	$f_1 = 1$
40K	1×10 ⁷	1×10 ⁷
⁴² K	2×10 ⁸	2×108
43K	2×10 ⁸	3×10 ⁸
44K	8×10 ⁸ (1×10 ⁹) 胃 壁	2×10 ⁹
45K	1×10 ⁹ (2×10 ⁹) 胃 壁	4×10 ⁹

DAC (Bq/m³) (40 h/wk)

	吸 入	
放射性核種	クラスD	
	$f_1 = 1$	
⁴⁰ K	6×10^{3}	ICRP Publicani
42K	$7 \times 10^*$	
43K	$1\times10^{\circ}$	
44K	1×10 ⁶	
45K	2×10^{6}	

カルシウムの代謝データ

1. 代謝

「標準人」1)のデータ

人体のカルシウム含有量	1,000 g
骨のカルシウム含有量	∼ 1,000 g
軟組織のカルシウム含有量	3 g
飲食物からの1日当たりの摂取量	1.1 g

2. 代謝モデル

(a) 血液への取り込み

食餌中のカルシウムのヒトの胃腸管からの吸収割合は、0.12から0.7までの変動が観察されている $^{1)}$ が、通常約0.3である。経口投与後の塩化カルシウムの吸収割合は、低カルシウムの食餌をとる個人については、0.4から0.8の範囲にあることが観察されている $^{2)}$ 。 この報告書では、カルシウムのすべての化合物について f_1 を0.3とする。

(b) 吸入のクラス

ICRP の「肺動態課題グループ」³⁾ の勧告に従って、カルシウムのすべての 化合物を吸入のクラスWに指定した。

吸入のクラス	f_1
D	TORRES AGAIN MUNICIPAL
W	0.3
Y	_

(c) 分布と残留

成人におけるカルシウムの残留についての非常に詳細なモデルが、ICRP の「ヒトのアルカリ土類の代謝に関する課題グループ」によって開発されたい。 カルシウムのある放射性同位体 1Bq が通過コンパートメントに入った後の

カルシウムのある放射性同位体 1Bq が通過コンパートメントに入った後の50年間における軟組織,皮質骨および梁骨中での自発核変換の総数は,この課題グループの報告書() に与えられている残留関数を用いて導くことができる。

3. 骨線量算定のための同位体の分類

第7章で論じたように、15日より長い放射性半減期をもつアルカリ土類の同位体は、無機質骨の体積全体に均等に分布すると仮定する。これに対し、15日より短い放射性半減期の同位体は、骨表面をおおう薄い層中に均等に分布すると仮定する。したがって、吸収割合の値(Part 1、第7章、表7.4参照)を導くとき、41Ca と 45Ca は骨格に沈着した後いつでも無機質骨の体積全体に均等に分布していると仮定するが、47Ca は骨格に沈着した後いつでも骨表面に均等に分布していると仮定する。

文 献

- ICRP Publication 23, Report of the ICRP Task Group on Reference Man. Pergamon Press, Oxford, 1975.
- Samachson, J. (1963). Plasma Values after Oral ⁴⁵Calcium and ⁸⁵Strontium. As an Index of Absorption. Clin. Sci., 25, 17–26.
- ICRP Task Group on Lung Dynamics (1966). Deposition and retention models for internal dosimetry of the human respiratory tract. *Health Phys.*, 12, 173-207.
- 4) ICRP Publication 20, Task Group Report on Alkaline Earth Metabolism in Adult Man. Pergamon Press, Oxford, 1973.

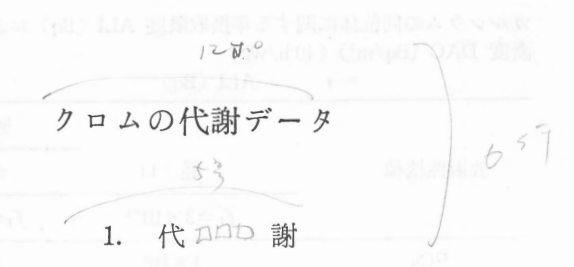
カルシウムの同位体に関する年摂取限度 ALI (Bq) および誘導空気中 濃度 DAC (Bq/m³) (40 h/wk)

ALI (Bq)

	ロムの代謝テー	吸 入	
放射性核種	経 口	クラスW	
	$f_1=3\times 10^{-1}$	$f_1=3\times10^{-1}$	
⁴¹ Ca	1×10 ⁸ (1×10 ⁸) 骨表面	1×10 ⁸ (1×10 ⁸) 骨表面	
⁴⁵ Ca	6×10^{7}	3×107	
⁴⁷ Ca	3×10^{7}	3×107	

DAC (Bq/m³) (40 h/wk)

放射性核種	吸 入 クラスW $f_1=3\times10^{-1}$			
			⁴¹ Ca	6×10 ⁴
			45Ca	1×104
⁴⁷ Ca	1×104			



□「標準人」¹) のデータ

OOO 人体のクロム含有量< 6.6 mg</th>軟組織のクロム含有量1.8 mg骨格のクロム含有量< 4.8 mg</td>飲食物からの1日当たりの摂取量0.15 mg

2. 代謝モデル

(a) 血液への取り込み

クロムの胃腸管吸収については、いろいろな総説 $^{1-3}$) で論じられている。 f_1 の値は、投与される化合物によって 5×10^{-3} より小さい値から0.1以上にまで変化しうる。この報告書では、 f_1 を、3 価の状態のクロムについては0.01、6 価の状態のクロムについては0.1とする。

(b) 吸入のクラス

ICRP の「肺動態課題グループ」がは、クロムの酸化物および水酸化物を吸入のクラスYに、ハロゲン化物および硝酸塩を吸入のクラスWに、そして、この元素のその他すべての化合物を吸入のクラスDに指定した。イヌを使った実験がは、 Cr_2O_3 および $CrCl_3$ をそれぞれ吸入のクラスYおよびWに指定するのが適切であることを示している。これらの実験データを考慮し、「課題グループ」の分類をこの報告書では採用する。また、放射線防護の目的には、吸入

後胃腸管に入ったクロムは 6 価の状態にあり、0.1 という f_1 が適切であると 仮定する。

吸入のクラス	f_1
D	0.1
W	0.1
Y	0.1

(c) 分布と残留

人体内におけるクロムの残留は、投与される化学形に大きく左右される。クロム酸ナトリウムの形をしたクロムは、赤血球に著しい親和性を示すが、塩化クロムは赤血球の膜を透過しない 6 0。 赤血球内のクロムは、正常人の循環系から約30日の生物学的半減期で消失する 6 0。 しかし正常人では、第二クロムの形で静脈内投与されたクロムの約 25%が注射後最初の24時間に排泄される 7 0。 ラットでは 8 1、 5 1 Cr Cl₃·6H₂O として静脈内注射された 51 Cr の全身残留は次の形の関数でよく記述される:

 $R(t) = 0.43 e^{-0.693t/0.5} + 0.32 e^{-0.693t/5.9} + 0.25 e^{-0.693t/83.4}$

ラットについての実験⁹⁾はまた、⁵¹CrCl₈として静脈内注射された ⁵¹Cr が、注射後最初の数日の間に精巣と脾臓に選択的に濃縮されることも示している。標準人のデータ¹⁾は、安定なクロムがこれらの器官に選択的に濃縮されることを示しておらず、この元素が骨に選択的に濃縮されることを示している。

クロムが経口摂取あるいは吸入されて全身の循環系に入るまでに第二クロムの形に還元されてしまい、赤血球と認めうるほど結合しないであろうということはありそうなことである。したがって、この報告書では、第二クロム(3+)の形に適した代謝モデルを採用した。

通過コンパートメントに入ったクロムは, 0.5日の生物学的半減期でそこに 残留すると仮定する。通過コンパートメントを出ていくクロムのうち, 0.3は直 接に排泄され、0.05は骨に移行すると仮定し、そこに1,000日の生物学的半減期で残留すると仮定する。通過コンパートメントを出ていく残りのクロムは、骨格以外の人体のすべての器官および組織に均等に分布すると仮定する。このように分布するクロムの割合は0.65であり、このうち0.4は6日の生物学的半減期で残留し、0.25は80日の生物学的半減期で残留すると仮定する。

3. 骨線量算定のための同位体の分類

骨格におけるクロムの分布に関しては適切なデータがないので、この報告書では、15日より短い放射性半減期をもつクロムの同位体は骨表面に均等に分布し、15日より長い放射性半減期をもつクロムの同位体は無機質骨の体積全体に均等に分布すると仮定する。

- 1) ICRP Publication 23, Report of the ICRP Task Group on Reference Man. Pergamon Press, Oxford, 1975.
 - Underwood, E. J. Trace Elements in Human and Animal Nutrition, 3rd Edition. Academic Press, London, 1971, pp. 253-266.
 - Mertz, W. (1969). Chromium Occurrence and Function in Biological Systems. Physiol. Rev., 49, 163-239.
 - ICRP Task Group on Lung Dynamics (1966). Deposition and retention models for internal dosimetry of the human respiratory tract. *Health Phys.*, 12, 173-207.
 - Morrow, P. E., Gibb, F. R., Davies, H. and Fisher, M. (1968). Dust Removal from the Lung Parenchyma: an Investigation of Clearance Simulants. *Toxicol. and Applied Pharmacology*, 12, 372-396.
 - Korst, D. R. Blood Volume and Red Cell Survival. In: Principles of Nuclear Medicine, Ed. Wagner, H. N. W. B. Saunders, Philadelphia, 1968, pp. 429-471.
 - Doisy, R. J., Streeten, D. H. P., Souma, M. L., Kalafer, M. E., Rekant,
 S. I. and Dalakos, T. G. Metabolism of ⁵¹Chromium in Human Subjects

- 1. Normal, Elderly and Diabetic Subjects. In: Newer Trace Elements in Nutrition, Eds. Mertz, W. and Cornatzen, W. E. Marcel Dekker, New York, 1971.
- 8) Mertz, W., Roginski, E. E. and Reba, R. C. (1965). Biological Activity and Fate of Trace Quantities of Intravenous Chromium (III) in the Rat. Am. J. Physiol., 209, 489-494.
- 9) Hopkins, L. L. (1965). Distribution in the Rat of Physiological Amounts of Injected Cr⁵¹ (III) with Time. Am. J. Physiol., 209, 731-735.

クロムの同位体に関する年摂取限度 ALI (Bq) および誘導空気中濃度 DAC (Bq/m³) (40 h/wk)

ALI (Bq)

				吸 入	
放射性核種	経	П	クラスD	クラスW	クラスY
	$f_1 = 1 \times 10^{-1}$	$f_1 = 1 \times 10^{-2}$	$f_1=1\times 10^{-1}$	$f_1 = 1 \times 10^{-1}$	$f_1 = 1 \times 10^{-1}$
48Cr	2×10 ⁸	2×10 ⁸	4×10 ⁸	3×10 ⁸	3×10 ⁸
49Cr	1×10^{9}	1×10^{9}	3×10^{9}	4×109	3×109
51Cr	1×109	1×109	2×109	9×10 ⁸	7×10^{8}

DAC (Bq/m³) (40 h/wk)

		吸 入	
放射性核種	クラスD	クラスW	クラスY
	$f_1=1\times 10^{-1}$	$f_1 = 1 \times 10^{-1}$	$f_1 = 1 \times 10^{-1}$
⁴⁸ Cr	2×10 ⁵	1×10 ⁵	1×10 ⁵
⁴⁹ Cr	1×10^6	2×10^{6}	1×10 ⁶
51Cr	7×10 ⁵	4×10 ⁵	3×10 ⁵

鉄の代謝データ

1. 代謝

「標準人」1)のデータ

人体の鉄含有量 軟組織の鉄含有量

4.2 g

3.3 g

飲食物からの1月当たりの摂取量

16 mg

2. 代謝モデル

(a) 血液への取り込み

胃腸管からの鉄の吸収については数人の著者¹⁾⁻⁸⁾が調査,検討した。吸収は多くの因子,すなわち食餌中の鉄の量と化学形,人体のその化学形の鉄の必要度および食餌中の妨害物質の有無に左右されることが見出されている。

鉄(\mathbb{I})塩の吸収は鉄(\mathbb{I})塩の吸収よりも大きいと一般に考えられているが¹⁾, その差ははっきりしない^{2),8)}。この報告書では、鉄のすべての化合物について f_1 を0.1とする。

(b) 吸入のクラス

ラットとイヌの実験 4^{1-6})は FeCl₈ および Fe₂O₈ の両方を吸入のクラスWに指定すべきであることを示している。ヒトの場合, 51 Cr で標識した酸化鉄(\mathbb{I}) のサブミクロン粒子を用いた実験は, 51 Cr のクリアランスの半減期が 270日であることを示している 70 。 別の研究 80 が酸化鉄(\mathbb{I})は70日の生物学的半減期で肺から除去されることを示しているので,この長い半減期は酸化鉄(\mathbb{I})から浸

出した ⁵¹Cr のものであろう。この報告書では、鉄の酸化物、水酸化物および ハロゲン化物を吸入のクラスWに指定し、ふつうに存在するこの元素のその他 すべての化合物を吸入のクラスDに指定する。

吸入のクラス	f_1
D	0.1
W	0.1
Y	
	D

(c) 分布と残留

鉄の分布と残留はいろいろな総説の主題となっている^{2),3),9),10)}。成人については全身の鉄の70%ほどがヘモグロビンと結合しており、残りの大部分は網内系中の鉄貯蔵化合物であるフェリチンおよびヘモシデリンと結びついている。

経口摂取後の最初の100日間にわたる研究²⁾ は600日の半減期をもつ鉄の残留成分の存在を示している。しかしながら,この期間では標識したヘモグロビンの鉄の再循環はわずかしか起こらなかったであろうから,長期の鉄の残留を推定するためにこれらの研究を利用することは合理的でない。この報告書では,「標準人」 11 に示されている代謝データと 12 の値に従って,人体内における鉄の残留の半減期を 2 000日とした。

人体の器官および組織の間の鉄の分布は「標準人」りに示されているデータから決定した。すなわち,通過コンパートメントから出ていく鉄のうち0.08および 0.013 の割合がそれぞれ肝臓および脾臓に移行すると仮定する。通過コンパートメントから出ていく鉄の残りの部分は人体のその他すべての器官および組織に均等に分布すると仮定する。任意の器官あるいは組織に移行した鉄は 2,000日の生物学的半減期でそこに残留すると仮定する。

3. 骨線量算定のための同位体の分類

鉄は肝臓と脾臓以外の人体のすべての器官および組織に均等に分布すると仮定する。したがって、骨の線量算定の目的で鉄の同位体を分類する 必要 は ない。

- ICRP Publication 23, Report of the ICRP Task Group on Reference Man. Pergamon Press, Oxford, 1975.
- Price, D. C. Iron Turnover in Man. In: Dynamic Clinical Studies with Radioisotopes. AEC Symposium Series 3, Eds. Kindeley, R. M. and Tauxe, W. N. (1964), pp. 537-563.
- 3) Underwood, E. J. Trace Elements in Human and Animal Nutrition 3rd Ed. Academic Press, New York, 1971, pp. 14-56.
- 4) Fisher, M. V., Morrow, P. E. and Yuile, C. L. (1973). Effects of Freund's Complete Adjuvant Upon Clearance of Iron-59 Oxide from Rat Lungs. J. Reticuloendothel. Soc., 13, 536-556.
- Morrow, P. E., Gibb, F. R. and Johnson, L. (1964). Clearance of Insoluble Dust from the lower Respiratory Tract. Health Phys., 10, 543-555.
- 6) Morrow, P. E., Gibb, F. R., Davies, H. and Fisher, M. (1968). Dust removal from the Lung Parenchyma: an Investigation of Clearance Simulants. Toxicol. and Applied Pharmacology, 12, 372-396.
- Ramsden, D., Waite, D. A. Inhalation of Insoluble Iron-Oxide Particles in the Submicron Range. In: Assessment of Radioactive Contamination in Man. IAEA, Vienna, 1972, pp. 65-81.
- 8) Albert, R. E., Lippmann, M., Spiegelman, J., Strehlow, C., Briscoe, W., Wolfson, P. and Nelson, N. The Clearance of Radioactive Particles from the Human Lung. In: *Inhaled Particles and Vapours II*, Ed. Davies, C. N. Pergamon Press, Oxford, 1967, pp. 361-378.
- 9) Moore, C. V. and Dubach, R. Iron. In: Mineral Metabolism, Vol. 2, Part B, Eds. Comar, C. L. and Bronner, F. Academic Press, New York,

1962, pp. 287-348.

10) Finch, C. A., Deubelbeiss, K., Cook, J. D., Eschbach, J. W., Horker, L. A., Funk, D. D., Marsaglia, G., Hillman, R. S., Slichter, S., Adamson, J. W., Canzoni, A. and Giblett E. R. (1970). Ferrokinetics in Man. *Medicine*, 49, 17-53.

鉄の同位体に関する年摂取限度 ALI (Bq) および誘導空気中濃度 DAC (Bq/m^3) $(40 \, h/wk)$

ALI (Bq)

		吸 入	
放射性核種	経 口	クラスD	クラスW
	$f_1 = 1 \times 10^{-1}$	$f_1 = 1 \times 10^{-1}$	$f_1 = 1 \times 10^{-1}$
⁵² Fe	3×10 ⁷	1×10 ⁸	9×10 ⁷
$^{55}\mathrm{Fe}$	3×10^{8}	7×10^{7}	2×10^{8}
⁵⁹ Fe	3×10^{7}	1×10^{7}	2×10^{7}
$^{60}\mathrm{Fe}$	1×10^6	2×10 ⁵	7×10 ⁵

DAC (Bq/m^3) (40 h/wk)

吸	入	
クラスD	クラスW	
$f_1 = 1 \times 10^{-1}$	$f_1=1\times 10^{-1}$	
5×10 ⁴	4×10 ⁴	
3×10 ⁴	6×10 ⁴	
5×10³	8×10^{3}	
1×10^2	3×10^{2}	
	クラスD $f_1=1\times 10^{-1}$ 5×10^4 3×10^4 5×10^3	

銅の代謝データ

「標準人」1)のデータ

人体の銅含有量	72 mg
軟組織の銅含有量	65 mg
飲食物からの1日当たりの摂取量	3.5 mg

2. 代謝モデル

(a) 血液への取り込み

ヒトの胃腸管から銅が取り込まれる割合は 0.32 から0.90 範囲にあると報告されている 10^{-40} 。 この報告書では銅のすべての化合物について f_1 を 0.5 とする。

(b) 吸入のクラス

ICRP の「肺動態課題グループ」5 は銅の酸化物および水酸化物を吸入のクラスYに、硫化物、ハロゲン化物および硝酸塩を吸入のクラスWに、そして、この元素のその他すべての無機化合物を吸入のクラスDに指定した。適切な実験データが何もないために、ここではこの分類を採用した。

吸入のクラス	f_1
D	0.5
W	0.5
Y	0.5

(c) 分布と残留

銅の代謝はいろいろな著者によって調査,検討されている 61,71 。 人体のいろいろな器官および組織中の銅の安定元素の濃度にはいくらかの変動があり,たとえば,脳,肝臓,唾液腺および膵臓中の濃度は筋肉および脾臓中の濃度の約5倍である 81,91 。 人体中における銅の残留の生物学的半減期は,もし 01,52 という f_1 を仮定すれば,「標準人」 11 に与えられているデータから推定できる。推定したこの生物学的半減期は 41 日である。

この報告書では、通過コンパートメントを出ていく銅のうち、0.1、0.1 および 0.006 の割合がそれぞれ肝臓、脳および膵臓に移行すると仮定する。通過コンパートメントを出ていく銅の残りの割合は、人体のその他すべての器官および組織に均等に分布すると仮定する。人体の任意の器官あるいは組織に移行した銅は、そこに40日の生物学的半減期で残留すると仮定する。

3. 骨線量算定のための同位体の分類

銅は肝臓、脳および膵臓以外の人体のすべての器官および組織に均等に分布 すると仮定する。したがって、骨の線量算定の目的でこの元素の同位体を分類 する必要はない。

- ICRP Publication 23, Report of the ICRP Task Group on Reference Man. Pergamon Press, Oxford, 1975.
- Wiseman, G. Absorption from the Intestine. Academic Press, London, 1964.
- 3) Sternlieb, I. (1967). Gastrointestinal Copper Absorption in Man. Gastro-enterology, 52, 1038-1041.
- 4) Strickland, G. T., Beckner, W. M. and Leu, Mei-Ling (1972). Absorption of Copper in Homozygotes and Heterozygotes for Wilson's Disease and Controls: Isotope Tracer Studies with ⁶⁷Cu and ⁶⁴Cu. Clin. Sci., 43,

617-625.

- ICRP Task Group on Lung Dynamics (1966). Deposition and retention models for internal dosimetry of the human respiratory tract. *Health Phys.*, 12, 173-207.
- 6) Adelstein, S. J. and Vallee, B. L. Copper. In: Mineral Metabolism, Vol. 2, Part B, Eds., Comar, C. L. and Bronner, F. Academic Press, London, 1962, pp. 371-401.
- Underwood, E. J. Trace Elements in Human and Animal Nutrition. Academic Press, New York, 1971, pp. 57–115.
- Cartwright, G. E. and Wintrobe, M. M. (1964). Copper Metabolism in Normal Subjects. Am. J. Clin. Nutr., 14, 224-232.
- 9) De Jorge, F. B., Canelas, H. M., Dias, J. C. and Cury, L. (1964). Studies on Copper Metabolism III. Copper Contents of Saliva of Normal Subjects and of Salivary Glands and Pancreas of Autopsy Material. Clin. Chim. Acta, 9, 148-150.

銅の同位体に関する年摂取限度 ALI(Bq) および誘導空気中濃度 $DAC(Bq/m^3)(40\ h/wk)$

ALI (Bq)

			吸 入	
放射性核種	経口	クラスD	クラスW	クラスY
	$f_1 = 5 \times 10^{-1}$			
⁶⁰ Cu	1×10° (1×10°) 胃 壁	3×10 ⁹	4×109	4×109
⁶¹ Cu	5×108	1×109	2×109	1×109
⁶⁴ Cu	4×10^{8}	1×10^{9}	9×10^{8}	8×10 ⁸
⁶⁷ Cu	2×10^{8}	3×10 ⁸	2×108	2×10 ⁸

DAC (Bq/m^3) (40 h/wk)

	吸 入			
放射性核種 クラスD		クラスW	クラスY	
	$f_1=5\times10^{-1}$	$f_1=5\times10^{-1}$	$f_1 = 5 \times 10^{-1}$	
⁶⁰ Cu	1×10 ⁶	2×10 ⁶	2×10 ⁶	
⁶¹ Cu	5×10 ⁵	6×10^{5}	5×10^{5}	
⁶⁴ Cu	5×10 ⁵	4×10^{5}	3×10^{5}	
⁶⁷ Cu	1×10 ⁵	8×10 ⁴	7×10 ⁴	

亜鉛の代謝データ

1. 代 謝

「標準人」1)のデータ

人体の亜鉛含有量2.3 g軟組織の亜鉛含有量1.8 g飲食物からの1日当たりの摂取量0.013 g

2. 代謝モデル

(a) 血液への取り込み

経口投与された亜鉛が成人の胃腸管から取り込まれる割合は、0.31から0.51までの範囲にあると推定されている¹⁾。 しかし、この割合はこの元素の1日当たりの摂取量に左右され^{2),3)}、また、0.9にも及ぶ取り込み割合もときには生じる⁴⁾というある証拠がある。ヒトによる取り込みは絶食状態に左右されるように思われ、実験動物による取り込みは食餌中の亜鉛のレベルによって変わる⁵⁾。この報告書では、この元素のすべての化合物について f_1 を0.5とする。

(b) 吸入のクラス

ICRP の「肺動態課題グループ」のは、亜鉛の酸化物および水酸化物を吸入のクラスYに、ハロゲン化物、リン酸塩および硫化物を吸入のクラスWに、そして硫酸塩を吸入のクラスDに指定した。イヌについての実験がが示唆するところによれば、 $Z_n(NO_3)_2$ および $Z_{n_3}(PO_4)_2$ は吸入のクラスYに指定されるべきである。

ヒトについては、吸入された亜鉛に関する知識はほとんど得られていない。 1 例の不慮の被曝において、 65 Zn は数か月間残留する少量の成分を除いて、 肺からすみやかに除去された 89 。 しかし、この例では、吸入された亜鉛の化合物の種類と数はわかっていない。

この報告書では、普通に存在する亜鉛のすべての化合物を吸入のクラスYに 指定する。

吸入のクラス	f_1	
D	_	
W	WARE CONTRACTOR	
Y	0.5	

(c) 分布と残留

亜鉛の代謝はいろいろな著者によって調査,検討された^{2),3)}。ヒトについて Spencer ら⁹⁾ は,この元素の全身における生物学的残留が次の関数によってよ く表されることを見出した。

$$R(t) = 0.25e^{-0.693t/12} + 0.75e^{-0.693t/320}$$

Richmond らいは、マウス、ラット、イヌおよびヒトについて、経口投与された亜鉛の残留を研究した。これらの種のそれぞれにおいて、全身残留には2つの成分があった。4人のヒトについては、残留した 65 Zn の 0.15 から 0.26 は、4.5日から26日の生物学的半減期をもち、残りは387日から478日の生物学的半減期をもっていた。

投与後の早い時期では、肝臓に亜鉛の最も高い濃度が見出され、腎臓、脾臓 および膵臓ではこの元素の濃度はそれより低い^{9),10)}。しかしながら、Richmond ら4)のデータから、亜鉛は他の組織よりも骨格に長期間残留することが明らか で、このことは「標準人」1)について与えられた安定亜鉛の分布と一致する。

この報告書では、通過コンパートメントから出ていく亜鉛のうち0.2が骨格

に移行し、そこに 400 日の生物学的半減期で残留すると仮定する。通過コンパートメントに入った亜鉛の残りは、人体のその他すべての器官および組織に均等に分布すると仮定する。これらその他の器官および組織に移行した亜鉛のうち、0.3および0.7の割合がそれぞれ20日および 400 日の生物学的半減期で残留すると仮定する。

3. 骨線量算定のための同位体の分類

骨格中の亜鉛の微視的分布について利用できる適切なデータはないようである。この報告書では、245日の放射性半減期をもつ 65Zn は、骨格にそれが沈着した後いつでも無機質骨の体積全体に均等に分布していると仮定し、その他すべてのそれより短寿命の亜鉛の放射性同位体は、骨格にそれらが沈着した後いつでも骨表面に均等に分布していると仮定する。

- ICRP Publication 23, Report of the ICRP Task Group on Reference Man. Pergamon Press, Oxford, 1975.
- Vallee, B. L. Zinc. In: Mineral Metabolism, Vol. 2, Part B, Eds. Comar,
 C. L. and Bronner, F. Academic Press, New York, 1962, pp. 443-482.
- 3) Underwood, E. J. Trace Elements in Human and Animal Nutrition. Academic Press, New York, 1971, pp. 217-221.
- Richmond, C. R., Furchner, J. E., Trafton, G. A. and Langham, W. H. (1962). Comparative Metabolism of Radionuclides in Mammals—I Uptake and Retention of Orally Administered Zn⁶⁵ by Four Mammalian Species. *Health Phys.*, 8, 481–489.
- 5) Furchner, J. E. and Richmond, C. R. (1962). Effect of Dietary Zinc on the Absorption of Orally Administered Zn. Health Phys., 8, 35-40.
- 6) ICRP Task Group on Lung Dynamics (1966). Deposition and retention models for internal dosimetry of the human respiratory tract. Health Phys., 12, 173-207.

- Morrow, P. E., Gibb, F. R., Davies, H. and Fisher, M. (1968). Dust Removal from the Lung Parenchyma: an Investigation of Clearance Simulants. *Toxicol. and Applied Pharmacology*, 12, 372-376.
- Newton, D. and Holmes, A. (1966). A Case of Accidental Inhalation of Zinc-65 and Silver-110m. Rad. Res., 29, 403-412.
- Spencer, H., Rosoff, B., Feldstein, A., Cohn, S. and Gusmano, E. (1965).
 Metabolism of Zinc-65 in Man. Rad. Res., 24, 432-445.
- 10) Siegel, E., Craig, F. A., Crystal, M. M. and Siegel, E. P. (1961). Distribution of ⁶⁵Zn in the Prostrate and other Organs of Man. *Brit. J. Cancer*, 15, 647–664.

亜鉛の同位体に関する年摂取限度 ALI (Bq) および誘導空気中濃度 DAC (Bq/m^3) (40 h/wk)

ALI (Bq)

-		吸 入
放射性核種	経 口	クラスY
	$f_1=5\times10^{-1}$	$f_1=5\times10^{-1}$
⁶² Zn	5×10 ⁷	1×10 ⁸
⁶³ Zn	9×10 ⁸ (9×10 ⁸) 胃 壁	3×10 ⁹
⁶⁵ Zn	1×10^{7}	1×10^{7}
^{69m}Zn	2×10 ⁸	3×10^{8}
69 Zn	2×10^{9}	5×109
^{71m} Zn	2×10 ⁸	6×10^{8}
72 Zn	4×10^{7}	4×10^{7}

専門委員会2の報告

DAC (Bq/m³) (40 h/wk)

chemat an investigation c Placemention 12 472-47	吸 入
放射性核種	クラスY
	$f_1 = 5 \times 10^{-1}$
⁶² Zn	4×10 ⁴
⁶³ Zn	1×10 ⁶
⁶⁵ Zn	$4 imes10^3$
69m Zn	1×10 ⁵
$^{69}\mathrm{Zn}$	2×10 ⁶
71m Zn	3×10 ⁵
⁷² Zn	2×10 ⁴

臭素の代謝データ

1. 代謝

「標準人」1)のデータ

人体の臭素含有量200 mg軟組織の臭素含有量170 mg飲食物からの1日当たりの摂取量7.5 mg

2. 代謝モデル

(a) 血液への取り込み

経口投与されたほとんどすべての臭化物は尿中に現れる 2 。 塩素との類推に よって、この元素のすべての化合物について f_{1} を1とする。

(b) 吸入のクラス

ICRP の「肺動態課題グループ」³⁾ は、すべての元素の臭化物を吸入のクラスDまたは吸入のクラスWのいずれかに指定している。ある特定の元素の臭化物の分類に関する情報については、その元素の代謝データあるいは、「課題グループ」の報告書を参照されたい。

吸入のクラス	f_1
D	1
W	1
Y	Embes, C. H., Bondu

(c) 分布と残留

人体内の臭化物の代謝挙動は塩化物のそれと非常に似ていることが知られている。 それゆえ、塩素について使用した代謝モデルを臭素についても使用する。通過コンパートメントを出ていく臭化物は、人体のすべての器官および組織の間に均等に分布し、そこに10日の生物学的半減期で残留すると仮定する。

(d) 娘核種の挙動

 83 Br は崩壊して114分の放射性半減期をもつ 83m Kr になる。体内からのクリプトンの排出はいろいろな動物およびヒトについて 研究されている 51,69 。数分の半減期で排出される成分が観察されるが,また数時間の半減期の成分も観察されている。これらのデータを検討した結果,生成した 83m Kr の 0.2が生成したその場所で崩壊し,残りの 0.8 は崩壊することなく体外に出ると仮定した。

3. 骨線量算定のための同位体の分類

臭素は人体内に均等に分布すると仮定するので、骨の線量算定の目的でこの 元素の同位体を分類する必要はない。

- ICRP Publication 23, Report of the ICRP Task Group on Reference Man. Pergamon Press, Oxford, 1975.
- Söremark, R. (1960). Excretion of Bromide Ions by Human Urine. Acta Physiol. Scand., 50, 306-310.
- ICRP Task Group on Lung Dynamics (1966). Deposition and retention models for internal dosimetry of the human respiratory tract. *Health Phys.*, 12, 173-207.
- Reid, A. F., Forbes, C. B., Bondurant, J. and Etheridge, J. (1956). Estimation of Total Body Chlorine in Man by Radio-Bromide Dilution. J. Lab. Clin. Med., 48, 63-68.

- Kirk, W. P. and Morken, D. A. (1975). In vivo Kinetic Behaviour and Whole-Body Partition Coefficients for **Kr in Guinea Pigs. Health Phys., 28, 263-273.
- 6) Hytten, F. E., Taylor, K. and Taggart, N. (1966). Measurement of Total Body Fat in Man by Absorption of ⁸⁵Kr. Clin. Sci., 31, 111-119.

臭素の同位体に関する年摂取限度 ALI (Bq) および誘導空気中濃度 DAC (Bq/m^3) $(40 \, h/wk)$

ALI (Bq)

				吸 入	
放射性核種		経 口	クラスD	72303	クラス₩
		$f_1=1$	$f_1=1$	18"	$f_1=1$
^{74m} Br	DIXI	5×10 ⁸ (8×10 ⁸) 胃 壁	1×109	18 ¹⁴	2×109
⁷⁴ Br		8×10 ⁸ (1×10 ⁹) 胃 壁	3×10 ⁹		3×109
⁷⁵ Br		1×10° (1×10°) 胃 壁	2×10 ⁹		2×109
$^{76}\mathrm{Br}$		1×10^{8}	2×10^{8}		2×10^{8}
⁷⁷ Br		6×10^{8}	9×10^{8}		7×10^{8}
$^{80m}\mathrm{Br}$		8×10 ⁸	6×10^{8}		5×10^{8}
$^{80}\mathrm{Br}$		2×10° (3×10°) 胃 壁	7×10 ⁹		8×10 ⁹
$^{82}\mathrm{Br}$		1×10^{8}	2×10^{8}		1×10^{8}
⁸³ Br		2×10 ⁹ (3×10 ⁹) 胃 壁	2×109		2×109
⁸⁴ Br		7×10 ⁸ (1×10 ⁹) 胃 壁	2×109		2×109

専門委員会2の報告

DAC (Bq/m^3) (40 h/wk)

		吸 入
放射性核種	クラスD	クラスW
Ven. Set., \$1, 111-149.	$f_1=1$	$f_1=1$
^{74m} Br	6×10 ⁵	6×10 ⁵
⁷⁴ Br	1×10 ⁶	1×10^6
$^{75}\mathrm{Br}$	7×10^{5}	8×10 ⁵
$^{76}\mathrm{Br}$	7×104	7×104
⁷⁷ Br	4×10^{5}	3×10 ⁵
^{80m} Br	3×10 ⁵	2×10 ⁵
$^{80}\mathrm{Br}$	3×10 ⁶	3×10 ⁶
⁸² Br	6×10 ⁴	6×104
⁸³ Br	1×10 ⁶	1×10^{6}
⁸⁴ Br	9×10^{5}	1×10 ⁶

ルビジウムの代謝データ

1. 代謝

「標準人」」のデータ

人体のルビジウム含有量0.68 g軟組織のルビジウム含有量0.47 g飲食物からの1日当たりの摂取量2.2 mg

2. 代謝モデル

(a) 血液への取り込み

ヒトについての実験は、ルビジウムが胃腸管からほとんど完全に吸収されることを示している 20 。この報告書では、ルビジウムのすべての化合物について f_1 を1とする。

(b) 吸入のクラス

ICRP の「肺動態課題グループ」³⁾ は、ルビジウムの化合物を吸入のクラス Dに指定した。適切な実験データがないので、ここではこの分類を採用する。

ñ	及入のクラス	f_1
21-5.6	D	1
	W	
	Y	ers a restriction of the sale of

(c) 分布と残留

カリウムに似てルビジウムは、全身の平均濃度の約3倍の濃度の無機質骨を除き、人体のすべての器官と組織の間にほぼ均等に分布する。ルビジウムの全身残留は単一の指数項でかなりよく表すことができるが^{2),4)-7)}、急速なクリアランスを示す小さな成分が観察されている^{2),5)}。この単一の指数項は、正常人で32日から57日の間の生物学的半減期をもち、その平均値は44日である²⁾。

この報告書では、通過コンパートメントを出ていくルビジウムのうち、0.25 の割合が骨格に移行すると仮定する。通過コンパートメントを出ていくルビジウムの残りの割合は、人体の他のすべての器官および組織に均等に分布すると仮定する。骨格を含む人体の任意の器官あるいは組織に移行したルビジウムは、そこに44日の生物学的半減期で残留すると仮定する。

(d) 娘核種の挙動

 79 Rb は,崩壊して放射性半減期35時間の 79 Kr になり, 81 Rb は放射性半減期2. 1×10^{5} 年の 81 Kr になる。放射線防護の目的には, 79 Kr と 81 Kr は崩壊することなく体外へ出ると仮定する。 83 Rb は,崩壊して放射性半減期 114 分の 88m Kr になる。生成した 88m Kr のうち0. 20 は生成したその場所で崩壊し,他の 0. 85 が崩壊することなく人体から出ると 仮定する(臭素の代謝データ参照,45 頁)。

3. 骨線量算定のための同位体の分類

骨の組織液中のカリウム濃度は、血漿中の濃度よりはるかに高いことが知られている⁸。 したがって、ルビジウムとカリウムの化学的類似性から、骨格中のルビジウムの濃度が平均より高いのは、骨の組織液中にこの元素が高濃度で存在するためと考えることは合理的である。この理由により、ルビジウムの放射性同位体は、骨格に沈着した後いつでも無機質骨全体に均等に分布している

と仮定する。

- ICRP Publication 23, Report of the ICRP Task Group on Reference Man. Pergamon Press, Oxford, 1975.
- Lloyd, R. D., Mays, C. W., McFarland, S. S., Zundel, W. S. and Tyler, F. H. (1973). Metabolism of ⁸⁸Rb and ¹⁸⁷Cs in persons with Muscle Disease. Rad. Res., 54, 463-478.
- ICRP Task Group on Lung Dynamics (1966). Deposition and retention models for internal dosimetry of the human respiratory tract. *Health Phys.*, 12, 173-207.
- 4) Wood, O. L. (1969). Comparison of Naturally Occurring Rubidium and Potassium in Human Erythrocytes, Plasma and Urine. *Health Phys.*, 17, 513–514.
- Iinuma, T., Watari, K., Nagai, T., Iwashima, K. and Yamagata, N. (1967). Comparative Studies of ¹⁸²Cs and ⁸⁶Rb turnover in Man using a Double-tracer Method. J. Rad. Res., 8-3-4, 100-115.
- 6) Threefoot, S. A., Ray, C. T. and Burch, G. E. (1955). Study of the use of Rb⁸⁶ as a Tracer for the measurement of Rb⁸⁶ and K⁸⁹ Space and Mass in Intact Man with and without Congestive Heart Failure. J. Lab. Clin. Med., 45, 408–430.
- Richmond, C. R. (1958). Retention and Excretion of Radionuclides of the Alkali Metals by Five Mammalian Species. USAEC Report LA-2207, p. 139.
- 8) Triffit, J. T., Terepka, A. R. and Neuman, W. F. (1968). A comparative Study of the Exchange in vivo of Major Constituents of Bone Mineral. *Calc. Tiss. Res.*, 2, 165–176.

専門委員会2の報告

ルビジウムの同位体に関する年摂取限度 ALI(Bq) および誘導空気 中濃度 DAC (Bq/m³) (40 h/wk)

ALI (Bq)

		吸 入	
放射性核種	経 口	クラスD	
	$f_1 = 1$	$f_1 = 1$	
⁷⁹ Rb	1×10° (2×10°) 胃 壁	4×10°	
⁸¹ <i>m</i> Rb	9×10^{9} (1×10^{10})	1×10 ¹⁰	
⁸¹ Rb	胃 壁 1×10°	2×109	
^{82m} Rb ⁸³ Rb ⁸⁴ Rb ⁸⁶ Rb ⁸⁷ Rb	4×10^{8} 2×10^{7} 2×10^{7} 2×10^{7} 4×10^{7}	7×10^{8} 4×10^{7} 3×10^{7} 3×10^{7} 6×10^{7}	
⁸⁸ Rb	7×10^{8} (1×10^{9})	2×10 ⁹	
⁸⁹ Rb	胃 壁 1×10° (2×10°)	5×10°	
	胃 壁		

DAC (Bq/m³) (40 h/wk)

	吸 入
放射性核種	クラスD
	$f_1=1$
⁷⁹ Rb	2×10 ⁶
⁸¹ mRb	5×10 ⁶
81Rb	8×10 ⁵
^{82m} Rb	3×10 ⁵
88Rb	2×10 ⁴
⁸⁴ Rb	1×10 ⁴
⁸⁶ Rb	1×10 ⁴
⁸⁷ Rb	2×104
⁸⁸ Rb	1×10 ⁶
⁸⁹ Rb	2×10 ⁶

イットリウムの代謝データ

1. 代謝

イットリウムの全身含有量および通常の1日当たり摂取量は,「標準人」)に与えられていない。しかし、イットリウムの肝臓中の全含有量は1.6 mgであり、また梁骨中の全含有量は4.5 mgより少ないと記述されている。

2. 代謝モデル

(a) 血液への取り込み

 $ラット^{2),8)}$ およびイヌ 4)についての研究により、この元素の胃腸管からの取り込みはほとんどないことが証明されているので、この報告書では、イットリウムのすべての化合物について f_1 を 10^{-4} とする。

(b) 吸入のクラス

ICRP の「肺動態課題グループ」がは、イットリウムの酸化物および水酸化物を吸入のクラスYに、この元素のその他すべての化合物を吸入のクラスWに指定した。この分類は、YCl。がクラスWの物質として挙動することを示すイヌについての実験がによって支持されている。

吸入のクラス	f_1
D	
\mathbf{w}	10^{-4}
Y	10-4

(c) 分布と残留

ラットについての実験"により、注射されたイットリウムの約30%は肝臓に沈着し、10%はその他すべての軟組織中に分布することが示されている。この分布は、 81 YCl₈を吸入した後のイヌにおける 81 Yの分布のと大体一致し、また、注射してから30日後までのウサギにおける 81 Yの分布および残留についての研究。とも大体一致する。ウサギにおける残留についてのデータ。は、イットリウムが体内のすべての器官および組織に長期間残留することを示している。

この報告書では、通過コンパートメントを出ていくイットリウムのうち、0.25 は直接に排泄され、0.5 は骨格に移行し、0.15 は肝臓に移行し、また、0.1 は人体のその他すべての器官および組織に均等に分布すると仮定する。また、通過コンパートメントから直接に排泄されないイットリウムは、人体内に無期限に残留すると仮定する。この後の方の仮定は、この報告書で考察しているイットリウムの同位体には110日より長い放射性半減期を有するものがないので、放射線防護の目的には妥当である。

3. 骨線量算定のための同位体の分類

イットリウムの化学的性質はアクチニドの化学的性質に類似し、また、この報告書で考察するイットリウムの同位体には110日より長い放射性半減期を有するものがないので、イットリウムの放射性同位体は、骨格に沈着した後いつでも骨の表面に均等に分布していると仮定する。

- ICRP Publication 23, Report of the ICRP Task Group on Reference Man. Pergamon Press, Oxford, 1975.
- 2) Hamilton, J. G., Scott, K., Chaikoff, I. C., Fishler, M. C., Entermann, C., Overstreet, R., Jacobson, L., Kaplan, M. and Greenberg, D. M. (1943).

Metabolism of Fission Products. MDDC-1143.

- Marcus, C. S. and Lengemann, F. W. (1962). Use of Radioyttrium to Study Food Movement in the Small Intestine of the Rat. J. Nutrition, 76, 179-182.
- Nold, N. M., Hayes, R. L. and Comar, C. L. (1960). Internal Radiation Dose Measurements in Live Experimental Animals—II. Health Phys., 4, 86-100.
- Report of the ICRP Task Group on Lung Dynamics (1966). Deposition and retention models for internal dosimetry of the human respiratory tract. Health Phys., 12, 173-207.
- McClellan, R. O. and Rupprecht, F. S. Fission Product Inhalation Program Annual Report 1966-1967, pp. 40-64. Lovelace Foundation Report (LF-38).
- 7) Durbin, P. W. (1960). Metabolic Characteristics within a Chemical Family. *Health Phys.*, 2, 225–238.
- 8) Lloyd, E. (1961). The Relative Distributions of Radioactive Yttrium and Strontium and the Secondary Deposition of ⁹⁰Y built up from ⁹⁰Sr. Int. J. Rad. Biol., 3, 475–492.

イットリウムの同位体に関する年摂取限度 ALI (Bq) および誘導空気 中濃度 (Bq/m³) (40 h/wk)

ALI (Bq)

				0.1	吸 入
放射性核種		経 口	OLXI	クラスW	クラスY
	OIX8	$f_1 = 1 \times 10^{-4}$	01×6	$f_1 = 1 \times 10^{-4}$	$f_1 = 1 \times 10^{-6}$
86mY		8×10 ⁸	O Local	2×109	2×109
86Y		5×10^{7}		1×10^{8}	1×10^{8}
87Y		8×10^{7}		1×10^{8}	1×10^{8}
88Y		4×10^{7}		9×10 ⁶	9×10 ⁶
90mY		3×10^{8}		5×10^{8}	4×10^{8}
90Y		2×10 ⁷ (2×10 ⁷) 大腸下部壁		3×10 ⁷	2×10 ⁷
91mY		5×10^{9}		9×10^{9}	6×10^{9}
⁹¹ Y		2×10 ⁷ (2×10 ⁷) 大腸下部壁		6×10 ⁶	4×10 ⁶

放射性核種 経口		吸 入	
		クラスW	クラス Y
	$f_1 = 1 \times 10^{-4}$	$f^1=1\times 10^{-4}$	$f^1=1\times 10^{-4}$
92Y	1×10 ⁸	3×10 ⁸	3×10 ⁸
93Y	4×107	1×10 ⁸	9×107
94 Y	8×10° (1×10°) 胃 壁	3×10 ⁹	3×10°
95Y	1×10° (2×10°) 胃 壁	6×10 ⁹	5×10 ⁹

DAC (Bq/m^3) (40 h/wk)

	92	及 入
放射性核種	クラスW	クラスY
	$f_1=1\times 10^{-4}$	$f_1=1\times 10^{-4}$
86mY	9×10 ⁵	8×10 ⁵
86Y	5×10 ⁴	5×10 ⁴
87Y	5×104	5×104
88Y	4×10^{3}	4×10^{3}
90mY	2×10 ⁵	2×10 ⁵
90Y	1×104	9×10^{3}
91mY	4×10 ⁶	2×10 ⁶
91Y	3×10^{3}	2×10^{3}
92Y	1×10 ⁵	1×10 ⁵
93Y	4×10 ⁴	4×10 ⁴
94 Y	1×10^{6}	1×10 ⁶
95Y	2×10 ⁶	2×10 ⁶

テクネチウムの代謝データ

1. 代謝

テクネチウムに関しては「標準人」」かにデータは与えられていない。

2. 代謝モデル

(a) 血液への取り込み

Beasley ら $^{\circ}$)の報告では、過テクネチウム酸塩の形のテクネチウムの、ヒトの胃腸管からの吸収割合は約 $^{\circ}$ 0.95である。しかし、Hays $^{\circ}$ 1は、経口投与した過テクネチウム酸塩は、吸収の期間および程度が著しく変動し、吸収が一定しないことを示した。ラットでは、胃腸管からの塩化テクネチウムの吸収割合は約 $^{\circ}$ 0.5であることが見出された $^{\circ}$ 1、この報告書では、この元素のすべての化合物について $^{\circ}$ 1、を $^{\circ}$ 2、8とする。しかしこの値は、特定の放射性医薬品、たとえば $^{\circ}$ 2mTc-硫黄コロイドに関しては間違いはなく不当に大きな値であることに留意すべきである $^{\circ}$ 3。

(b) 吸入のクラス

ICRP の「肺動態課題グループ」^り はテクネチウムの酸化物,水酸化物,ハロゲン化物および硝酸塩を吸入のクラスWに指定し,この元素のその他すべての化合物を吸入のクラスDに指定した。^{99m}Tc-過テクネチウム酸塩を用いたヒトについての実験⁸⁾ はこの分類と一致しており,ここではこの分類を採用する。

吸入のクラス	f_1
D	0.8
W	0.8
Y	_

(c) 分布と残留

ヒトでは、過テクネチウム酸塩として静脈内に投与したテクネチウムは甲状腺、胃腸管および肝臓に濃縮される^{2),9)-11)}。

ヒトに静脈注射した後の過テクネチウム酸塩の全身残留²⁾ には次の形の関数がよくあてはまる。

R(t)=0.76 $e^{-0.693t/1.6}$ +0.19 $e^{-0.693t/3.7}$ +0.043 $e^{-0.693t/22}$ しかし,静脈内注入後の早い時期における人体内の過テクネチウム酸塩の分布

この報告書では、過テクネチウム酸塩の分布と残留に関して簡単なモデルを 採用した。このモデルは放射線防護の目的には適切であると考えられる。

を記述するためには,複雑な複数コンパートメントモデルが必要である11)。

通過コンパートメントから出ていくテクネチウムのうち0.04は甲状腺に移行し、そこに0.5日の生物学的半減期で残留すると仮定する¹⁰⁾。残りのうち0.1および0.03の割合がそれぞれ胃壁および肝臓に移行すると仮定する。通過コンパートメントから出ていくテクネチウムの残りの部分は、甲状腺、胃壁および肝臓以外の人体のすべての器官および組織に均等に分布すると仮定する。甲状腺以外の人体の任意の器官あるいは組織に移行したテクネチウムの0.75,0.20および0.05の割合がそれぞれ1.6日、3.7日および22日の生物学的半減期で残留すると仮定する。テクネチウムについては通過コンパートメント中の生物学的半減期を0.02日とする。

(d) 放射性医薬品

上に述べた代謝モデルは、過テクネチウム酸塩以外の 99mTc で標識した放射

性医薬品に関しては一般的にはあてはまらないことを強調しておく。このような化合物を取り扱う作業の場合の放射線防護の指針に関しては、読者は ICRP Publication 17および25 (文献12)と13)) を参照されたい。

3. 骨線量算定のための同位体の分類

テクネチウムは甲状腺、胃壁および肝臓以外の人体のすべての器官および組織に均等に分布すると仮定する。したがって、骨の線量算定の目的でこの元素の同位体を分類する必要はない。

文献

- 1) ICRP Publication 23, Report of the ICRP Task Group on Reference Man. Pergamon Press, Oxford, 1975.
 - Beasley, T. M., Palmer, H. E. and Nelp, W. B. (1966). Deposition and Excretion of Technetium in Humans. *Health Phys.*, 12, 1425-1435.
 - Hays, M. T. (1973). ^{99m}Tc-Pertechnetate transport in man: absorption after subcutaneous and oral administration: secretion into saliva and gastric juice. J. Nucl. Med., 14, 331-335.
 - 4) Hamilton, J. G. Medical and Health Physics Division, Quarterly Report. University of California, UCRL-98 (1948) p. 8.
 - 5) Sullivan, M. F., Graham, T. M., Cataldo, D. A. and Schreckhise, R. G. Absorption and retention of inorganic and originally incorporated technetium-95 by rats and guinea pigs. In: Pacific Northwest Laboratory Annual Report for 1977, Part 1 Biomedical Sciences, Feb. 1978, PNL-2500PT1.
- Van Kirk, O., Chafetz, N., Cooke, S., Taylor, A. and Larson, S. M. (1978). Imaging of the bowel with technetium—an aid in gallium studies. J. Nucl. Med., 19, 69-70.
- ICRP Task Group on Lung Dynamics (1966). Deposition and retention models for internal dosimetry of the human respiratory tract. Health Phys., 12, 173-207.
- 8) Cooke, D. J. and Lander, H. (1971). Inhalation Pulmonary Scinti-

- photography using pertechnetate. Am. J. Roent., 113, 682-689.
- 9) Harper, P. V., Lathrop, K. A., McCordle, R. J. and Andros, G. The use of technetium-99m as a clinical scanning agent for thyroid, liver and brain. In: *Medical Radioisotope Scanning*, Vol. 2 (IAEA, Vienna, 1964) pp. 33-45.
- 10) McAfee, J. G., Fueger, C. F., Stern, H. S., Wagner, H. N., Jr. and Migata, T. (1964). 99mTc pertechnetate for brain scanning. J. Nucl. Med., 5, 811-827.
- Hays, M. T. and Berman, M. (1977). Pertechnetate distribution in man after intravenous infusion: a compartmental model. J. Nucl. Med., 18, 898-904.
- ICRP Publication 17, Protection of the patient in radionuclide investigations. Pergamon Press, Oxford, 1971.
- 13) ICRP Publication 25, Handling, storage, use and disposal of unsealed radionuclides in hospitals and medical research establishments. Pergamon Press, Oxford, 1977.

テクネチウムの同位体に関する年摂取限度 ALI (Bq) および誘導空気中濃度 DAC (Bq/m^3) $(40 \, h/wk)$

ALI (Bq)

		吸 入	
放射性核種	経口	クラスD	クラスW
scoreciane, at an incorporated tech	$f_1 = 8 \times 10^{-1}$	$f_1=8\times10^{-1}$	$f_1=8\times 10^{-1}$
^{93m} Tc	3×10 ⁹	6×10 ⁹	1×10 ¹⁰
⁹³ Tc	1×10^{9}	3×109	4×10^{9}
^{94m} Tc	7×10^{8}	2×109	2×109
⁹⁴ Tc	3×10^{8}	7×10^{8}	9×10^{8}
^{96m} Tc	6×10°	1×10 ¹⁰	9×109
⁹⁶ Tc	7×10^{7}	1×10 ⁸	8×107
^{97m} Tc	2×10 ⁸	2×10 ⁸ (3×10 ⁸) 胃 壁	4×10 ⁷
⁹⁷ Tc	1×109	2×109	2×10 ⁸
98Tc	4×10^{7}	6×10 ⁷	1×107

		吸 入	
放射性核種	経口	クラスD	クラスW $f_1=8\times10^{-1}$
-	$f_1 = 8 \times 10^{-1}$	$f_1 = 8 \times 10^{-1}$	
^{99m} Tc	3×10 ⁹	6×10°	9×10 ⁹
⁹⁹ Tc	1×10 ⁸	2×10 ⁸ (2×10 ⁸) 胃 壁	2×10 ⁷
¹⁰¹ Tc	3×10° (5×10°) 胃 壁	1×10 ¹⁰	1×10 ¹⁰
¹⁰⁴ Tc	8×10 ⁸ (1×10 ⁹) 胃 壁	3×10 ⁹	3×10 ⁹

DAC (Bq/m^3) (40 h/wk)

	吸 入		
放射性核種	クラスD	クラスW	
	$f_1 = 8 \times 10^{-1}$	$f_1 = 8 \times 10^{-1}$	
^{93m} Tc	2×10 ⁶	5×10 ⁶	
⁹³ Tc	1×10 ⁶	2×10 ⁶	
⁹⁴ mTc	7×10 ⁵	9×10^{5}	
⁹⁴ Tc	3×10 ⁵	4×10^{5}	
$^{96m}\mathrm{Tc}$	4×10 ⁶	4×10^{6}	
⁹⁶ Tc	5×104	3×104	
$^{97m}\mathrm{Tc}$	1×10 ⁵	2×104	
97Tc	8×10 ⁵	9×10 ⁴	
⁹⁸ Tc	2×10 ⁴	5×10^{3}	
^{99m} Tc	2×10 ⁶	4×10^{6}	
99Tc	8×10 ⁴	1×10^{4}	
¹⁰¹ Tc	5×10^{6}	6×10^{6}	
¹⁰⁴ Tc	1×10^6	1×10^{6}	

ルテニウムの代謝データ

1. 代 謝

ルテニウムに関しては「標準人」1)にデータが与えられていない。

2. 代謝モデル

(a) 血液への取り込み

Furchner 6^2) は,胃腸管からの 106 RuCl₈ の吸収割合を 0.035と推定している。この値は Thompson⁸⁾,Burykina⁴⁾ および Bruce⁵⁾ により報告された結果とよく一致している。ニトロシルールテニウム錯体は塩化物よりはいくぶんよく吸収されるが 50 ,放射線防護の目的には,通常存在しているルテニウムのすべての化合物について, f_1 を 0.05とすることで十分であると考えられる。

(b) 吸入のクラス

ビーグル犬についての実験 6 は、 106 RuO。は約2,000日の生物学的半減期で強固に肺に残留することを示した。このことは、ルテニウムの酸化物および水酸化物を吸入のクラスYに、ハロゲン化物を吸入のクラスWに、そしてその他すべての化合物を吸入のクラスDに区分した ICRP の「肺動態課題グループ」 7 の結論と一致する。したがって、この報告書ではこの課題グループの勧告を採用する。

f_1
0.05
0.05
0.05

(c) 分布と残留

Furchner 6^{20} は、いろいろな動物種について経口および静脈内投与後のルテニウムの生物学的残留を決定した。彼らのデータを 106 Ru の放射性崩壊につき補正して、

$$R(t) = 0.15e^{-0.693t/0.3} + 0.35e^{-0.693t/8.0} + 0.30e^{-0.693t/35} + 0.20e^{-0.693t/1000}$$

という形の全身残留関数が、ヒトについての適切なものとして導かれた。

Furchner ら²⁾の実験は、ラットでは、注射後の初期においては腎臓が最も高い濃度のルテニウムを含むが、注射後86日より後ではルテニウムは体内のすべての器官および組織中に、似たような濃度で存在することを示した。

この報告書では、通過コンパートメントを出ていくルテニウムについては通過コンパートメントに 0.3 日の生物学的半減期で残留すると仮定する。このルテニウムのうち、0.15の割合は直接に排泄され、残りは人体のすべての器官および組織に均等に分布すると仮定する。通過コンパートレントから人体のすべての器官および組織に移行するこの0.85という割合のルテニウムのうち、0.35は8日の生物学的半減期で、0.3は35日の生物学的半減期で、0.2は1,000日の生物学的半減期で残留すると仮定する。

3. 骨線量算定のための同位体の分類

ルテニウムは人体内に均等に分布すると仮定するので、骨の線量算定の目的 でこの元素の同位体を分類する必要はない。

- ICRP Publication 23, Report of the ICRP Task Group on Reference Man. Pergamon Press, Oxford, 1975.
- Furchner, J. E., Richmond, C. R. and Drake, G. A. (1971). Comparative Metabolism of Radionuclides in Mammals—VII. Retention of ¹⁰⁶Ru in the Mouse, Rat, Monkey and Dog. *Health Phys.*, 21, 355–365.
- Thompson, R. C., Weeks, M. H., Hollis, L., Ballou, J. F. and Oakely, W. D. (1958). Metabolism of Radio-Ruthenium in the Rat. Am. J. Roentg., 79, 1026-1044.
- 4) Burykina, L. N. The Metabolism of Radioactive Ruthenium in the Organism of Experimental Animals. In: The Toxicology of Radioactive Substances, Vol. 1. Eds. Letavet, A. A. and Kurlyandskaya, E. B. Pergamon Press, Oxford, 1962, pp. 60-76.
- Bruce, R. S. and Carr, T. E. F. (1961). Studies in the Metabolism of Carrier-Free Radioruthenium I. Reactor Sc. Technol., J. nucl. Energy (Parts A and B), 14, 9-17.
- Stuart, B. O. (1970). Long-term Retention and Translocation of Inhaled ¹⁰⁶Ru-¹⁰⁶RhO₂ in Beagles. *Pacific Northwest Lab. Report*, BNWL-1050, pp. 3-43.
- ICRP Task Group on Lung Dynamics (1966). Deposition and retention models for internal dosimetry of the human respiratory tract. Health Phys., 12, 173-207.

ルテニウムの同位体に関する年摂取限度 ALI(Bq) および誘導空気 中濃度 DAC (Bq/m³) (40 h/wk)

ALI (Bq)

		吸 入			
放射性核種 _	経 口	クラスD クラスW		クラスY	
	$f_1 = 5 \times 10^{-2}$	$f_1 = 5 \times 10^{-2}$	$f_1 = 5 \times 10^{-2}$ $f_1 = 5 \times 10^{-2}$	$f_1=5\times10^{-2}$	
⁹⁴ Ru	6×10 ⁸	2×109	2×109	2×109	
⁹⁷ Ru	3×10 ⁸	7×10 ⁸	5×108	4×108	
¹⁰⁸ Ru	7×10 ⁷	6×107	4×107	2×107	
¹⁰⁵ Ru	2×10^{8}	5×10 ⁸	5×10^{8}	4×10^{8}	
¹⁰⁶ Ru	7×10 ⁶ (9×10 ⁶) 大腸下部壁	3×10 ⁶	2×10 ⁶	4×10 ⁵	

DAC (Bq/m^3) (40 h/wk)

		吸 入	
放射性核種	クラスD	クラスW	クラスΥ
	$f_1 = 5 \times 10^{-2}$	$f_1 = 5 \times 10^{-2}$	$f_1 = 5 \times 10^{-2}$
94Ru	7×10 ⁵	1×10 ⁶	9×10 ⁵
⁹⁷ Ru	3×10 ⁵	2×10 ⁵	2×10 ⁵
¹⁰³ Ru	3×10 ⁴	2×104	1×104
¹⁰⁵ Ru	2×10 ⁵	2×10 ⁵	2×10 ⁵
¹⁰⁶ Ru	1×10^{3}	8×10 ²	2×10 ²

ロジウムの代謝データ

1. 代 謝

ロジウムに関しては「標準人」1)にデータが与えられていない。

2. 代謝モデル

(a) 血液への取り込み

ロジウムの胃腸管からの取り込みに関する情報はないようである。この元素は化学的にルテニウムに類似している $^{2)}$ ので、ロジウムのすべての化合物について f_1 を0.05とする。

(b) 吸入のクラス

ICRP の「肺動態課題グループ」³⁾ は、ロジウムの酸化物および水酸化物を吸入のクラスYに、ハロゲン化物を吸入のクラスWに、そしてこの元素のその他すべての化合物を吸入のクラスDに指定した。実験からの適切な情報がなにもないので、ここではこの分類を採用した。

吸入のクラス	f_1
D	0.05
W	0.05
Y	0.05

(c) 分布と残留

哺乳動物のどの種についても、ロジウムの分布と残留に関する入手可能な情

報はないようである。この元素はルテニウムと化学的性質が似ているので、ル テニウムについての代謝モデルをロジウムについても採用する。

通過コンパートメントに入ったロジウムは、そこに 0.3 日の生物学的半減期で残留すると仮定する。このロジウムのうち、0.15の割合は直接に排泄されると仮定し、残りは人体のすべての器官および組織に均等に分布すると 仮 定する。通過コンパートメントから人体のすべての器官および組織に移行したこの0.85のロジウムのうち、0.35 は8日の生物学的半減期で、0.3 は35日の生物学的半減期で、0.2は1,000日の生物学的半減期で残留すると仮定する。

3. 骨線量算定のための同位体の分類

ロジウムは人体内に均等に分布すると仮定するので、骨の線量算定の目的で この元素の同位体を分類する必要はない。

- 1) ICRP Publication 23, Task Group Report on Reference Man. Pergamon Press, Oxford, 1975.
- Partington, J. R. General and Inorganic Chemistry. Macmillan, London, 1954, pp. 834-835.
- ICRP Task Group on Lung Dynamics (1966): Deposition and retention models for internal dosimetry of the human respiratory tract. *Health Phys.*, 12, 173-207.

専門委員会2の報告

ロジウムの同位体に関する年摂取限度 ALI (Bq) および誘導空気中濃 度 DAC (Bq/m³) (40 h/wk)

ALI (Bq)

DAME CONTROL	4- 0 3 H 63-5	2010-00-00-00	吸 入	
放射性核種 -	経口	クラスD	クラスD クラスW	クラスY
	$f_1 = 5 \times 10^{-2}$	$f_1 = 5 \times 10^{-2}$	$f_1 = 5 \times 10^{-2}$	$f_1 = 5 \times 10^{-2}$
^{99m} Rh	7×10 ⁸	2×109	3×10 ⁹	2×109
99Rh	9×10^{7}	1×10 ⁸	8×10^{7}	7×10^{7}
100Rh	6×107	2×10^{8}	1×10^{8}	1×10^{8}
^{101m} Rh	2×10 ⁸	4×108	3×10 ⁸	3×108
¹⁰¹ Rh	8×107	2×10^{7}	3×10^{7}	6×10 ⁶
102mRh	5×10 ⁷ (5×10 ⁷) 大腸下部壁	2×10 ⁷	1×10 ⁷	4×10 ⁶
¹⁰² Rh	2×107	3×10^{6}	7×10^{6}	2×10^{6}
103mRh	2×10^{10}	4×10^{10}	5×10^{10}	4×10^{10}
¹⁰⁵ Rh	1×10 ⁸ (1×10 ⁸) 大腸下部壁	4×10 ⁸	2×10 ⁸	2×10 ⁸
106mRh	3×10^{8}	9×10^{8}	1×10^{9}	1×10^{9}
¹⁰⁷ Rh	3×10° (3×10°) 胃 壁	9×10°	1×10 ¹⁰	9×10 ⁹

	margamilis Chanaittes	吸 入	Parlmeton, L.
放射性核種	クラスD	クラスW	クラスY
mäneser bre neltie	$f_1 = 5 \times 10^{-2}$	$f_1 = 5 \times 10^{-2}$	$f_1 = 5 \times 10^{-2}$
^{99m} Rh	9×10 ⁵	1×10 ⁶	1×10 ⁶
⁹⁹ Rh	5×10 ⁴	3×10 ⁴	3×104
¹⁰⁰ Rh	8×10 ⁴	6×104	6×10^{4}
$^{101m}\mathrm{Rh}$	2×10^{5}	1×10^{5}	1×10^{5}
¹⁰¹ Rh	8×10^{3}	1×104	2×10^{3}
102m Rh	8×10^{3}	6×10^{3}	2×10^{3}
¹⁰² Rh	1×10^{3}	3×10^{3}	9×10^{2}
^{103m} Rh	2×10^{7}	2×10^{7}	2×10^{7}
¹⁰⁵ Rh	2×10^{5}	1×10^{5}	9×104
106m Rh	4×10^{5}	6×10 ⁵	5×10^{5}
¹⁰⁷ Rh	4×10^{6}	4×10^{6}	4×10^{6}

銀の代謝データ

1. 代謝

「標準人」1)のデータ

軟組織の銀含有量

飲食物からの1日当たりの摂取量

 $790~\mu\mathrm{g}$

 $70~\mu \mathrm{g}$

2. 代謝モデル

(a) 血液への取り込み

ラット、サルおよびイヌの実験は、銀が硝酸塩として投与されると、胃腸管からの銀の吸収割合が0.1よりも小さいことを示した。この報告書では、銀のすべての化合物について、サルとイヌの硝酸塩の吸収についての Furchner らのデータ 20 に基づいて、 f_1 を0.05とする。

(b) 吸入のクラス

ICRP の「肺動態課題グループ」³⁾ は、銀の酸化物および水酸化物を吸入の クラスYに、硝酸塩および硫化物を吸入のクラスWに、そしてこの元素のその 他すべての化合物を吸入のクラスDに指定した。適切な実験データが何もない ので、ここではこの分類を採用した。

金属状の銀の煙霧を吸入したイヌでは、肺に沈着した銀のうち0.59, 0.39および0.02の割合がそれぞれ1.7日, 8.4日および40日の生物学的半減期で残留することが見出された。したがって、この報告書では、金属状の銀を吸入のクラスDに指定する。

専門委員会2の報告

吸入のクラス	f_1
D	0.05
W	0.05
Y	0.05

(c) 分布と残留

ヒトに放射性の銀を静脈内注射した後、体外計測によって約3.5日および48日の半減期をもつ銀の残留成分があることが認められた⁵⁾。 同様の残留成分が 110mAg を誤って吸入したある個人について見出された。

動物についての実験²⁾ は、銀の残留にはかなりの種間の変動があることを示しており、そのため、入手できる動物のデータをヒトに補外することは困難である。

ラットでは、銀は脾臓と脳に選択的に濃縮される²⁾。 これに反し、イヌでは、金属状の銀の吸入の後、銀の大部分が移行する器官は肝臓である。

ヒトでは、Polachek ららによる剖検のデータは、組織系内の銀の約40%が 肝臓に見出されることを示している。Newton と Holmesらが提示したデータ も、吸入の後、肺から移行した銀のおもな沈着部位は肝臓であることを示して いる。

この報告書では、通過コンパートメントを出ていく銀のうち、0.8が肝臓に移行し、0.2が人体のその他すべての器官および組織に均等に分布すると仮定する。

肝臓または他の任意の組織にいった銀のうち, 0.1 と 0.9 の割合がそれぞれ 3.5日と50日の生物学的半減期で残留すると仮定するか。

3. 骨線量算定のための同位体の分類

組織系内の銀は、肝臓を除く人体の他のすべての器官および組織に均等に分

布すると仮定する。それゆえ、骨の線量算定の目的でこの元素の同位体を分類 する必要はない。

文 献

- ICRP Publication 23, Report of the ICRP Task Group on Reference Man. Pergamon Press, Oxford, 1975.
- Furchner, J. E., Richmond, C. R. and Drake, G. A. (1968). Comparative Metabolism of Radionuclides in Mammals—IV. Retention of Silver-110m in the Mouse, Rat, Monkey and Dog. Health Phys., 15, 505-514.
- ICRP Task Group on Lung Dynamics (1966). Deposition and retention models for internal dosimetry of the human respiratory tract. *Health Phys.*, 12, 173-207.
- Phalen, R. F. and Morrow, P. E. (1973). Experimental Inhalation of Metallic Silver. Health Phys., 24, 509-518.
- Polachek, A. A., Cope, C. B., Willard, R. F. and Enns, T. (1960).
 Metabolism of Radioactive Silver in A Patient with Carcinoid. J. Lab. Clin. Med., 56, 499-505.
- Newton, D. and Holmes, A. (1966). A Case of Accidental Inhalation of Zinc-65 and Silver-110m. Rad. Res., 29, 403-412.

銀の同位体に関する年摂取限度 ALI (Bq) および誘導空気中濃度 DAC (Bq/m^3) $(40 \, h/wk)$

ALI (Bq)

			吸 入	
放射性核種	経 口	クラスD	クラスW	
,01×1	$f_1 = 5 \times 10^{-2}$	$f_1 = 5 \times 10^{-2}$	$f_1=5\times10^{-2}$	
¹⁰² Ag	2×10 ⁹ (2×10 ⁹) 胃 壁	7×10 ⁹	8×10 ⁹	7×10 ⁹
¹⁰³ Ag	1×109	4×10^{9}	5×109	4×109
104m Ag	1×109	4×109	5×109	4×109
¹⁰⁴ Ag	8×10 ⁸	3×10^{9}	5×109	6×10^{9}
105 Ag	1×10^{8}	4×10^{7}	6×10^{7}	6×10 ⁷
$^{106m}\mathrm{Ag}$	3×107	3×10^{7}	3×107	3×10^{7}

MASS AND BUT	wall or a file	A THE STATE OF THE	吸 入	
放射性核種	経口	クラスD	クラスW	クラスY
	$f_1 = 5 \times 10^{-2}$	$f_1 = 5 \times 10^{-2}$	$f_1 = 5 \times 10^{-2}$	$f_1 = 5 \times 10^{-2}$
¹⁰⁶ Ag	2×10 ⁹ (2×10 ⁹) 胃壁	7×10 ⁹	8×10 ⁹	7×10 ⁹
108m Ag	2×10^{7}	7×10 ⁶	9×10 ⁶	9×10 ⁵
^{110m} Ag	2×107	5×10 ⁶	7×10 ⁶	3×10 ⁶
¹¹¹ Ag	3×10 ⁷ (4×10 ⁷) 大腸下部壁	6×10 ⁷ (6×10 ⁷) 肝 臓	3×10 ⁷	3×10 ⁷
¹¹² Ag	1×108	3×10 ⁸	4×108	3×108
¹¹⁵ Ag	1×10° (1×10°) 胃 壁	3×10°	3×109	3×10 ⁹

DAC (Bq/m³) (40 h/wk)

	A Radem with Car	吸 入	
放射性核種	クラスD	クラスW	クラスY
	$f_1 = 5 \times 10^{-2}$	$f_1 = 5 \times 10^{-2}$	$f_1 = 5 \times 10^{-2}$
¹⁰² Ag	3×10 ⁶	3×10 ⁶	3×10 ⁶
¹⁰³ Ag	2×10 ⁶	2×10 ⁶	2×10 ⁶
104mAg	1×10^6	2×10 ⁶	2×10 ⁶
¹⁰⁴ Ag	1×10 ⁶	2×10 ⁶	2×10 ⁶
¹⁰⁵ Ag	2×104	3×104	3×104
106mAg	1×10 ⁴	1×10 ⁴	1×10 ⁴
106Ag	3×10^{6}	3×10 ⁶	3×10 ⁶
108m Ag	3×10³	4×10^{3}	4×10^{2}
110mAg	2×10^{3}	3×10^{3}	1×10^3
111Ag	2×10 ⁴	1×10 ⁴	1×104
¹¹² Ag	1×10^{5}	2×10 ⁵	1×10 ⁵
¹¹⁵ Ag	1×10 ⁶	1×10 ⁶	1×10 ⁶

801028

カドミウムの代謝データ

1. 代謝

「標準人」1)のデータ

人体のカドミウム含有量50 mg軟組織のカドミウム含有量38 mg飲食物からの1日当たりの摂取量0.15 mg

2. 代謝モデル

(a) 血液への取り込み

食餌中のカドミウムの胃腸管からの吸収割合は、約0.1が代表的である 2 。 もっと大きい値が報告されているが、これらばたぶ λ 誤りである 2)。 いろいろな哺乳動物の種について欠いくつかの研究 2)では、無機カドミウムの胃腸管からの吸収割合は通常0.1より小さく、ときには0.01よりも小さいかもしれないことを示している。ヒトについては、この金属の80%がタンパク質と結合している子牛の肝臓の懸濁液中のカドミウムに関してデータがある。この場合、胃腸管からの吸収割合は、0.06から0.25の範囲にあったと推定することができる。この報告書では、カドミウムのすべての無機化合物について f_1 を0.05とする。

(b) 吸入のクラス

ICRP の「肺動態課題グループ」⁹⁾ は,カドミウムの酸化物と水酸化物を吸入のクラスYに,硫化物,ハロゲン化物および硝酸塩を吸入のクラスWに,そ

してこの元素のその他すべての化合物を吸入のクラスDに指定した。ここでは この分類を採用する。しかし、塩化カドミウムを致死量近く吸入させたイヌで は、肺残留の長期成分が観察されたということは注目すべきである¹⁰⁾。

f_1
0.05
0.05
0.05

(c) 分布と残留

哺乳動物のいろいろな種におけるカドミウムの分布と残留は、Friberg ら¹¹⁾によって詳細に調査・検討された。放射性カドミウムを男性の志願者に投与した実験では、カドミウムの全身における残留の生物学的半減期が 130 日より短かくはなく、もっとずっと長い可能性があることを示している⁸⁾。 いろいろなグループの人々についての安定カドミウムの排泄と全身負荷量との比較から、カドミウムの全身における残留の生物学的半減期は、13年から47年の間にあることが示されている¹¹⁾。

安定カドミウムは肝臓と腎臓に濃縮されることが見出されている $^{1)$, $^{11)}$, $^{12)}$ 。 「標準人」 $^{1)}$ に与えられているデータは,安定カドミウムの全身量のうち,肝臓および腎臓にある割合はそれぞれ 0 , 0 0, 0 2 であることを示唆している。しかし,Friberg ら $^{11)}$ 0 示したデータは,肝臓および腎臓はそれぞれ人体内の全カドミウム量の約 0 3 を含んでいることを示唆する。

この報告書では、通過コンパートメントを出ていくカドミウムのうち、0.3 の割合が肝臓へ移行し、0.3 が腎臓へ移行すると 仮定する。通過コンパートメントを出ていく残りの割合のカドミウムは、人体内のすべての他の器官および組織に均等に分布すると仮定する。肝臓および腎臓を含めて、人体の任意の器官あるいは組織に移行したカドミウムは、25年の生物学的半減期で残留すると

仮定する。

3. 骨線量算定のための同位体の分類

カドミウムは、腎臓および肝臓以外の人体のすべての器官および組織に均等 に分布すると仮定する。したがって、骨の線量算定の目的でこの元素の同位体 を分類する必要はない。

- ICRP Publication 23, Report of the ICRP Task Group on Reference Man. Pergamon Press, Oxford, 1975.
- 2) Nordberg, G. F., Fiberg, L. and Piscator, M. In: Cadmium in the Environment. CRC Press, Cleveland, 1971, p. 30 and p. 44. Also see Cadmium in the Environment 2nd Edition, Friberg, L., Piscator, M., Nordberg, G. F. and Kjellström, T., CRC Press, Cleveland, 1974, p. 27.
- Decker, C. F., Byerrum, R. U. and Hoppert, C. A. (1975). A Study of the Distribution and Retention of Cadmium in the Albino Rat. Arch. Biochem., 66, 140-145.
- 4) Cotzias, G. C., Borg, D. C. and Selleck, B. (1961). Virtual Absence of Turnover in Cadmium Metabolism: Cd¹⁰⁹ Studies in the Mouse. Am. J. Physiol., 201, 927-930.
- Richmond, C. R., Findlay, J. S. and London, J.E. Whole-body Retention of Cadmium-109 by Mice Following Oral, Intraperitoneal and Intravenous Administration. *Health Division Annual Report*, July 1965 to June 1966. Los Alamos Scientific Laboratory Report, LA-3610-MS, 1966, p. 95.
- 6) Miller, W. J., Blackman, D. M. and Martin, W. G. (1968). Cadmium Absorption, Excretion and Tissue Distribution following Single Tracer Oral and Intravenous Doses in Young Goats. J. Dairy Sci., 51, 1836– 1839.
- Silva, A. J., Fleshman, D. G. and Shore, B. (1970). The Effects of Sodium Alginate on the Absorption and Retention of Several Divalent Cations. *Health Phys.*, 19, 245-251.
- 8) Rahola, T., Aaran, R., Miettinen, J. K. (1972). Half-time Studies of

- Mercury and Cadmium by Whole-Body Counting. In: Assessment of Radioactive Contamination in Man. IAEA-SM-150/13 pp. 553-562.
- ICRP Task Group on Lung Dynamics (1966). Deposition and retention models for internal dosimetry of the human respiratory tract. Health Phys., 12, 173-207.
- 10) Harrison, H. E., Bunting, N. and Albrink, W. S. (1947). The Effects and Treatment of Inhalation of Cadmium Chloride in the Dog. J. Ind. Hyg. Toxicol., 29, 302-314.
- 11) Friberg, L., Piscator, M., Nordberg, G. F. and Kjellström, T. *Cadmium in the Environment*. CRC Press, Cleveland, 1974, pp. 23-91.
- 12) Underwood, E. J. Trace Elements in Humans and Animal Nutrition.
 Academic Press, London, 1971, pp. 267-280.

カドミウムの同位体に関する年摂取限度 ALI (Bq) および誘導空気中 濃度 DAC (Bq/m^3) (40 h/wk)

ALI (Bq)

		and the state of the state of the state of		
p. 37.	Gleveländ. [37]	. I., ORC Press	吸 入	berg, C.
放射性核種	経口	クラスD	クラスW	クラスY
_	$f_1 = 5 \times 10^{-2}$	$f_1 = 5 \times 10^{-2}$	$f_1=5\times10^{-2}$	$f_1 = 5 \times 10^{-2}$
¹⁰⁴ Cd	8×10 ⁸	2×109	4×109	4×109
¹⁰⁷ Cd	8×10 ⁸	2×109	2×109	2×109
¹⁰⁹ Cd	1×10 ⁷ (2×10 ⁷) 腎臓	1×10 ⁶ (2×10 ⁶) 腎 臓	4×10 ⁶ (5×10 ⁶) 腎臓	4×10 ⁶
^{113m} Cd	9×10 ⁵ (1×10 ⁶) 腎臓	9×10 ⁴ (1×10 ⁵) 腎臓	3×10 ⁵ (4×10 ⁵) 腎 臓	5×10 ⁵
¹¹³ Cd	8×10 ⁵ (1×10 ⁶) 腎臓	8×10 ⁴ (1×10 ⁵) 腎臓	3×10 ⁵ (4×10 ⁵) 腎 臓	5×10 ⁵
^{115m} Cd	1×10 ⁷	2×10 ⁶ (3×10 ⁶) 腎 臓	5×10 ⁶	5×10 ⁶
¹¹⁵ Cd	3×10^{7} (4×10^{7})	5×10 ⁷	5×10 ⁷	5×10 ⁷
	大腸下部壁			
117mCd	2×10^{8}	5×10^{8}	6×10 ⁸	5×10 ⁸
¹¹⁷ Cd	2×10 ⁸	4×10^{8}	6×10 ⁸	5×10 ⁸

DAC (Bq/m³) (40 h/wk)

		吸 入	
放射性核種	クラスD	クラスW	クラスY
	$f_1 = 5 \times 10^{-2}$	$f_1 = 5 \times 10^{-2}$	$f_1 = 5 \times 10^{-2}$
¹⁰⁴ Cd	1×10 ⁶	2×10 ⁶	2×10 ⁶
¹⁰⁷ Cd	8×10 ⁵	9×10^{5}	8×10 ⁵
¹⁰⁹ Cd	5×10^{2}	2×10^3	2×10^3
$^{113m}\mathrm{Cd}$	4×10¹	1×10^2	2×10^2
¹¹³ Cd	3×10¹	1×10^2	2×10^2
$^{115m}\mathrm{Cd}$	8×10 ²	2×10^3	2×10^{3}
¹¹⁵ Cd	2×104	2×10 ⁴	2×10^{4}
$^{117m}\mathrm{Cd}$	2×10 ⁵	3×10^{5}	2×10^{5}
117Cd	2×10 ⁵	3×10 ⁵	2×10 ⁵

インジウムの代謝データ

1. 代謝

インジウムに関しては、「標準人」りにデータが与えられていない。

2. 代謝モデル

(a) 血液への取り込み

(b) 吸入のクラス

ICRP の「肺動態課題グループ」 がは、インジウムの酸化物、水酸化物、ハロゲン化物および硝酸塩を吸入のクラスWに、この元素のその他すべての化合物を吸入のクラスDに指定した。この分類は、ラットがによる酸化インジウム(\mathbb{II})の吸入実験によって裏づけられており、ここで採用する。

吸入のクラス	f_1
D	0.02
W	0.02
Y	

(c) 分布と残留

マウス³),60 およびラット²) では、注射後最初の数日間、インジウムの最も高い濃度が腎臓、骨、肝臓および脾臓中に認められる。しかし、ウサギ") についての実験では、インジウムが無機質骨よりも骨髄に濃縮されることを示している。この報告書では、通過コンパートメントを出ていくインジウムのうち、0.3、0.2、0.07 および 0.01 の割合が、それぞれ赤色骨髄、肝臓、腎臓および脾臓に移行すると仮定する。通過コンパートメントを出ていくインジウムの残りの割合は、人体のその他すべての器官および組織に均等に分布すると仮定する。インジウムは人体内に長期間残留するようにみえる6) ので、放射線防護の目的には、インジウムはすべての器官および組織に無期限に残留すると仮定するのが適切である。

3. 骨線量算定のための同位体の分類

骨格中のインジウムは、無機質骨ではなく主として骨髄に存在する。放射線 防護の目的には、インジウムの組織系内負荷量のうち、無機質骨および赤色骨 髄と結合している部分は、これらの組織に均等に分布していると仮定すれば十 分である。

- ICRP Publication 23, Report of the ICRP Task Group on Reference Man. Pergamon Press, Oxford, 1975.
- Smith, G. A., Thomas, R. G. and Scott, J. K. (1960). The Metabolism of Indium after Administration of a Single Dose to the Rat by Intratracheal, Subcutaneous, Intramuscular and Oral Injection. *Health Phys.*, 4, 101-108.
- 3) Castronovo, F. P. and Wagner, H. N. (1971). Factors Affecting the Toxicity of the Element Indium. Br. J. Exp. Path., 52, 543-559.
- 4) ICRP Task Group on Lung Dynamics (1966). Deposition and retention

- models for internal dosimetry of the human respiratory tract. *Health Phys.*, 12, 173-207.
- Leach, L. J., Scott, J. K., Armstrong, R. D., Steadman, L. T. and Maynard, E. A. The Inhalation Toxicity of Indium Sesquioxide in the Rat. AEC Research and Development Report UR-590 (1961).
- Castronovo, F. P. and Wagner, H. N. (1973). Comparative Toxicity and Pharmacodynamics of Ionic Indium Chloride and Hydrated Indium Oxide. J. Neucl. Med., 14, 677-682.
- Rayudu, G. V. S., Shirazi, S. P. H. and Fordham, E. W. (1973). Comparison of the Use of ⁵³Fe and ¹¹¹In for Hemopoietic Marrow Scanning. Int. J. Appl. Radiat. Isot., 24, 451-454.

インジウムの同位体に関する年摂取限度 ALI (Bq) および誘導空気中 濃度 DAC (Bq/m³) (40 h/wk) ALI (Bq)

放射性核種			吸	入
		経 口	クラスD	クラスW
		$f_1 = 2 \times 10^{-2}$	$f_1=2\times 10^{-2}$	$f_1=2\times 10^{-2}$
99414	¹⁰⁹ In	7×10 ⁸	2×10 ⁹	2×109
	110In (69.1m)	6×10 ⁸	2×109	2×109
	110In (4.9h)	2×108	6×10 ⁸	7×10 ⁸
	¹¹¹ In	2×10^{8}	2×10^{8}	2×108
	¹¹² In	6×10 ⁹ (9×10 ⁹) 胃 壁	2×10 ¹⁰	3×10 ¹⁰
	118m In	2×10^{9}	5×10^{9}	7×10^{9}
	^{114m} In	1×10 ⁷ (1×10 ⁷) 大腸下部壁	2×10 ⁶	4×10 ⁶
	^{115m} In	5×108	2×109	2×109
	¹¹⁵ In	1×10 ⁶	5×10 ⁴	2×10 ⁵
	^{116m} In	9×10 ⁸	3×109	4×109
	^{117m} In	4×10^8	1×109 -	2×109
	¹¹⁷ In	2×109	6×10 ⁹	8×10°
	^{119<i>m</i>} In	1×10 ⁹ (2×10 ⁹) 胃 壁	5×109	5×10 ⁹

インジウムの代謝データ DAC (Bq/m³) (40 h/wk)

	吸	Ž.
放射性核種	クラスD クラス	
	$f_1=2\times 10^{-2}$	$f_1=2\times 10^{-2}$
¹⁰⁹ In	7×10 ⁵	1×10 ⁶
110In (69.1m)	7×10 ⁵	9×10 ⁵
¹¹⁰ In (4.9h)	3×10 ⁵	3×10 ⁵
111In	1×10^{5}	1×10 ⁵
¹¹² In	1×107	1×107
113mIn	2×10 ⁶	3×10 ⁶
114mIn	1×10^{3}	2×10^{3}
115m In	7×10^{5}	7×10 ⁵
¹¹⁵ In	2×10^{1}	8×10¹
116m In	1×10^6	2×10 ⁶
117mIn	5×10 ⁵	7×10 ⁵
¹¹⁷ In	3×10 ⁶	3×10 ⁶
119m In	2×10 ⁶	2×10 ⁶

キセノンの代謝データ

キセノンについては代謝モデルは提案されていない。この報告書の第8章で 説明したように、放射性希ガスの雲の中の被曝は体外照射によって制限され る。その理由は、組織に吸収されたガスあるいは肺中に入ったガスによる線量 当量率は、体外照射による組織の線量当量率に比べて無視できるからである。 それゆえ、キセノンについて勧告された DAC の値は体外照射のみの考察に基 づいている。

キセノンの同位体に関する誘導空気中濃度 DAC (Bq/m³) (40 h/wk)

放射性核種	半無限大の雲	1,000 m³の部屋	500 m8の部屋	100 m³の部屋
¹²⁰ Xe	4×10 ⁵	7×10 ⁶	9×10 ⁶	2×107
¹²¹ Xe	8×10 ⁴	2×10 ⁶ (2×10 ⁶) 皮 膚	2×10 ⁶ (2×10 ⁶) 皮 膚	2×10 ⁶ (4×10 ⁶) 皮膚
¹²² Xe	3×10 ⁶	4×10^{7}	5×107	9×10^{7}
¹²³ Xe	2×10 ⁵	5×10 ⁶	6×10 ⁶ (7×10 ⁶) 皮 膚	6×10 ⁶ (1×10 ⁷) 皮膚
¹²⁵ Xe	6×10 ⁵	1×10^{7}	1×10^{7}	2×10^{7}
¹²⁷ Xe	5×10 ⁵	1×10^{7}	1×10^{7}	2×107
^{129m} Xe	7×10 ⁶	1×10 ⁷ (5×10 ⁷) 皮 膚	1×10 ⁷ (7×10 ⁷) 皮 膚	1×10 ⁷ (1×10 ⁸) 皮 膚
^{131<i>m</i>} Xe	1×10 ⁷ (2×10 ⁷) 皮膚	2×10 ⁷ (1×10 ⁸) 皮 膚	2×10 ⁷ (2×10 ⁸) 皮膚	2×10 ⁷ (3×10 ⁸) 皮膚
^{133m} Xe	5×10 ⁶	8×10 ⁶ (7×10 ⁷) 皮 膚	8×10 ⁶ (8×10 ⁷) 皮膚	8×10 ⁶ (1×10 ⁸) 皮膚
¹³³ Xe	4×10 ⁶	2×10 ⁷ (8×10 ⁷) 皮 膚	2×10 ⁷ (1×10 ⁸) 皮 膚	2×10 ⁷ (2×10 ⁸) 皮膚

放射性核種	半無限大の雲	1,000 m³の部屋	500m³の部屋	100 m³の部屋
^{135<i>m</i>} Xe	3×10 ⁵	7×10°,	9×10 ⁶	1×10 ⁷ (2×10 ⁷) 皮 膚
¹⁸⁵ Xe	5×10 ⁵	4×10 ⁶ (1×10 ⁷) 皮 膚	4×10 ⁶ (2×10 ⁷) 皮 膚	4×10 ⁶ (3×10 ⁷) 皮 膚
¹³⁸ Xe	1×10^{5}	2×10 ⁶ (3×10 ⁶) 皮膚、	2×10 ⁶ (4×10 ⁶) 皮 膚	2×10 ⁶ (7×10 ⁶) 皮 膚

バリウムの代謝データ

1. 代謝

「標準人」1)のデータ

人体のバリウム含有量

22 mg

骨のバリウム含有量

20 mg

飲食物からの1日当たりの摂取量

0.75 mg

2. 代謝モデル

(a) 血液への取り込み

たいていの食餌 $^{1),2)}$ および模擬 $_{7*}$ ールアウト $^{8)}$ からのバリウムの吸収割合は,ストロンチウムの吸収割合 $^{1)}$ よりも小さい。この報告書では,バリウムのすべての化合物について f_1 を0.1とする。

(b) 吸入のクラス

ICRP の「肺動態課題グループ」 4 はバリウムのすべての化合物を吸入のクラスWに指定した。しかし、イヌについての 181 BaSO $_{4}$ および 140 BaCl $_{2}$ を用いた実験 $^{5),6)}$ は、この分類が示唆するよりも速く肺から除去されることを示している。この報告書では、バリウムのすべての化合物を吸入のクラスDに指定する。

吸入のクラス	f_1	
D	0.1	
W	_	
Y		

(c) 分布と残留

成人におけるバリウムの残留についてのきわめて詳細なモデルが「成人のアルカリ土類の代謝に関する課題グループ」"によって開発された。バリウムの放射性同位体1Bq が通過コンパートメントに入ってから50年間の軟組織、皮質骨および梁骨中の自発的核変換の総数は、この課題グループの報告書"に与えられた残留関数を使って導くことができる。

(d) 娘核種の挙動

¹²⁷Ba は崩壊し, ¹²⁷Cs を経て ¹²⁷Xe になる。 ¹²⁷Xe は36日の放射性半減期を もち、崩壊することなく体外に出ていくと仮定する。

3. 骨線量算定のための同位体の分類

第7章で論じたように、放射性半減期が15日よりも長いアルカリ土類の同位体は無機質骨の体積全体に均等に分布すると仮定する。これに対し、15日よりも短い放射性半減期をもつ同位体は骨表面を覆う薄い層に分布すると仮定する。したがって、吸収割合の値を導くときには(第7章、表 7.4 参照)、188Baは無機質骨の体積全体に分布すると仮定し、バリウムのその他の放射性同位体はすべて、骨格に沈着した後いつでも骨表面に分布していると仮定する。

- ICRP Publication 23, Report of the ICRP Task Group on Reference Man. Pergamon Press, Oxford, 1975.
- Underwood, E. C. Trace Elements in Human and Animal Nutrition. Academic Press, London, 1971, pp. 431-432.
- LeRoy, G. V., Rust, J. H. and Hasterlik, R. J. (1966). The Consequences of Ingestion by Man of Real and Simulated Fall-Out. *Health Phys.*, 12, 449-473.

- ICRP Task Group on Lung Dynamics (1966). Deposition and retention models for internal dosimetry of the human respiratory tract. Health Phys., 12, 173-207.
- Morrow, P. E., Gibb, F. R. and Johnson, L. (1964). Clearance of Insoluble Dust from the Lower Respiratory Tract. Health Phys., 10, 543-555.
- Cuddihy, R. G. and Griffith, W. C. (1972). A Biological Model Describing Tissue Distribution and Whole-Body Retention of Barium and Lanthanum in Beagle Dogs after Inhalation and Lavage. *Health Phys.*, 23, 621– 633.
- 7) ICRP Publication 20, Report of the ICRP Task Group on Alkaline Earth Metabolism in Adult Man. Pergamon Press, Oxford, 1972.

バリウムの同位体に関する年摂取限度 ALI (Bq) および誘導空気中濃度 DAC (Bq/m³) (40 h/wk)
ALI (Bq)

N	吸 入
経 口	クラスD
$f_1=1\times 10^{-1}$	$f_1 = 1 \times 10^{-1}$
2×108	6×10 ⁸
2×107	7×10^{7}
1×10 ¹⁰ (2×10 ¹⁰) 胃壁	5×10 ¹⁰
1×10^{8}	3×10^{8}
9×10 ⁷ (1×10 ⁸) 大腸下部壁	3×10 ⁸
6×107	3×10 ⁷
1×10^8	4×108
5×10^{8}	1×109
2×10^{7} (2×10^{7})	5×10 ⁷
大腸下部壁	
0,110	3×10°
2×109	5×109
	f ₁ =1×10 ⁻¹ 2×10 ⁸ 2×10 ⁷ 1×10 ¹⁰ (2×10 ¹⁰) 胃 壁 1×10 ⁸ 9×10 ⁷ (1×10 ⁸) 大腸下部壁 6×10 ⁷ 1×10 ⁸ 5×10 ⁸ 2×10 ⁷ (2×10 ⁷) 大腸下部壁

DAC (Bq/m^3) (40 h/wk)

	吸 入	
放射性核種	クラスD	
	$f_1 = 1 \times 10^{-1}$	
¹²⁶ Ba	2×10 ⁵	
¹²⁸ Ba	3×104	
¹³¹ mBa	2×107	
¹³¹ Ba	1×10^{5}	
^{133m} Ba	1×10 ⁵	
¹³³ Ba	1×104	
^{135m} Ba	2×10 ⁵	
¹³⁹ Ba	5×10^{5}	
¹⁴⁰ Ba	2×104	
¹⁴¹ Ba	1×10 ⁶	
¹⁴² Ba	2×10 ⁶	

レニウムの代謝データ

1. 代 謝

レニウムに関しては「標準人」」にデータが与えられていない。

2. 代謝モデル

(a) 血液への取り込み

哺乳動物のどの種についても、レニウムの胃腸管からの取り込みに関する情報はないようである。入手できるわずかな生物学的情報 $^{2),8)}$ は、この元素の代謝挙動がテクネチウムのそれにどちらかといえば似ていることを示唆している。この報告書では、レニウムのすべての化合物について f_1 を 0.8 と仮定する。

(b) 吸入のクラス

ICRP の「肺動態課題グループ」がはレニウムの酸化物、水酸化物、ハロゲン化物および硝酸塩を吸入のクラスWに、そしてこの元素のその他すべての化合物を吸入のクラスDに指定した。適切な実験データがなにもないので、ここではこの分類を採用する。

f_1
0.8
0.8

(c) 分布と残留

入手できる限られた情報^{2),8)} は、レニウムの代謝挙動がテクネチウムのそれ に似ていることを示唆している。この報告書では、テクネチウムに用いた代謝 モデルをレニウムにも用いる。

通過コンパートメントを出ていくレニウムのうち,0.04は甲状腺に移行し,そこに0.5日の生物学的半減期で残留すると仮定する。また,0.1と0.03の割合が,それぞれ胃壁と肝臓に移行すると仮定する。通過コンパートメントを出ていくレニウムの残りの割合は、甲状腺、胃壁および肝臓以外の人体のすべての器官および組織に均等に分布すると仮定する。甲状腺以外の人体の任意の器官または組織に移行したレニウムのうち,0.75,0.20および0.05の割合が,それぞれ1.6日,3.7日および22日の生物学的半減期で残留すると仮定する。レニウムについては、通過コンパートメントにおける生物学的半減期を0.02日とする。

3. 骨線量算定のための同位体の分類

レニウムは甲状腺、胃壁および肝臓以外のすべての器官および組織に均等に 分布すると仮定する。したがって、骨の線量算定の目的でこの元素の同位体を 分類する必要はない。

- ICRP Publication 23, Report of the ICRP Task Group on Reference Man. Pergamon Press, Oxford, 1975.
- Durbin, P. W., Scott, K. G. and Hamilton, J. G. (1957). The Distribution of Radioisotopes of some Heavy Metals in the Rat. *University of Califor*nia Publications in Pharmacology, 3, 1-34.
- 3) Durbin, P. W. (1960). Metabolic Characteristics within a Chemical Family. *Health Phys.*, 2, 225-238.

 ICRP Task Group on Lung Dynamics (1966). Deposition and retention models for internal dosimetry of the human respiratory tract. *Health Phys.*, 12, 173-207.

 ν =ウムの同位体に関する年摂取限度 ALI (Bq) および誘導空気中濃度 DAC (Bq/m³) (40 h/wk)

ALI (Bq)

		吸	入
放射性核種	経口	クラスD クラ	
0人生の任何の際的	$f_1 = 8 \times 10^{-1}$	$f_1 = 8 \times 10^{-1}$	$f_1=8\times10^{-1}$
¹⁷⁷ Re	4×10° (4×10°) 胃 壁	1×10 ¹⁰	1×10 ¹⁰
¹⁷⁸ Re	3×10 ⁹ (4×10 ⁹) 胃 壁	1×10 ¹⁰	1×10 ¹⁰
¹⁸¹ Re	2×10 ⁸	3×10^{8}	3×10^{8}
¹⁸² Re (12.7h)	3×10 ⁸	5×10 ⁸	6×10^8
¹⁸² Re (64.0 h)	5×10 ⁷	9×10 ⁷	8×10 ⁷
^{184m} Re	8×10 ⁷	1×10^{8}	2×10^{7}
¹⁸⁴ Re	9×107	1×10 ⁸	5×10 ⁷
^{188m} Re	5×10 ⁷ (6×10 ⁷) 胃 壁	6×10 ⁷ (8×10 ⁷) 胃 壁	6×10 ⁶
¹⁸⁶ Re	7×10^{7}	1×10^{8}	6×10^{7}
¹⁸⁷ Re	2×10 ¹⁰	3×10 ¹⁰ (3×10 ¹⁰) 胃壁	4×109
$^{188m}\mathrm{Re}$	3×10^{9}	5×109	5×109
¹⁸⁸ Re	6×10 ⁷	1×10^{8}	1×10 ⁸
¹⁸⁹ Re	1×10^{8}	2×10^{8}	2×10^{8}

DAC (Bq/m³) (40 h/wk)

	吸 入		
放射性核種	クラスD	クラスW	
	$f_1 = 8 \times 10^{-1}$	$f_1=8\times 10^{-1}$	
¹⁷⁷ Re	4×10 ⁶	5×10 ⁶	
¹⁷⁸ Re	4×10 ⁶	5×10 ^{6*}	
¹⁸¹ Re	1×10^{5}	1×10^{5}	
¹⁸² Re (12.7 h)	2×10 ⁵	2×10 ⁵	
¹⁸² Re (64.0 h)	4×10 ⁴	3×104	
^{184<i>m</i>} Re	5×104	7×10^{3}	
¹⁸⁴ Re	5×104	2×104	
^{186m} Re	3×10^{4}	2×10^{3}	
¹⁸⁶ Re	4×10^{4}	3×10 ⁴	
¹⁸⁷ Re	1×10^7	2×10^6	
$^{188m}\mathrm{Re}$	2×10^{6}	2×10^6	
¹⁸⁸ Re	4×10^4	4×10^4	
¹⁸⁹ Re	8×104	7×10^{4}	

^{*} 訳注 数値が原文と異なっているが、これは ICRP Publ. 30 Part 3 に付された「追補」により訂正されたものである。

オスミウムの代謝データ

1. 代 謝

オスミウムに関しては、「標準人」1)にデータが与えられていない。

2. 代謝モデル

(a) 血液への取り込み

胃腸管からのオスミウムの取り込みについて利用できる情報はないようである。オスミウムは化学的にイリジウムに似ているので、この元素のすべての化合物について f_1 を0.01とした。

(b) 吸入のクラス

ICRP の「肺動態課題グループ」²⁾ は、オスミウムの酸化物および水酸化物を吸入のクラスYに、ハロゲン化物および硝酸塩を吸入のクラスWに、そしてこの元素のその他すべての化合物を吸入のクラスDに指定した。適切な実験データが何もないため、およびイリジウムとの類推によって、この報告書では「課題グループ」²⁾ の勧告を採用する。

吸入のクラス	f_1
D	0.01
W	0.01
Y	0.01

(c) 分布と残留

動物についての入手できるデータ^{8),4)} の示すところによれば、オスミウムの 代謝挙動は他の白金族金属の代謝挙動とあまりちがわない。したがって、イリ ジウムに使用した代謝モデルをオスミウムにも使用する。

この報告書では、通過コンパートメントを出ていくオスミウムのうち、0.2、0.04および0.02の割合がそれぞれ肝臓、腎臓および脾臓に移行すると仮定する。また、0.54の割合が人体のその他すべての器官および組織に均等に分布すると仮定する。通過コンパートメントを出ていくオスミウムの残りの割合は直接に排泄されると仮定する。人体の任意の器官および組織に沈着したオスミウムのうち、0.2と0.8の割合が、それぞれ8日と200日の生物学的半減期で残留すると仮定する。

3. 骨線量算定のための同位体の分類

オスミウムは肝臓、腎臓および脾臓を除くすべての人体の器官および組織に 均等に分布すると仮定する。したがって、骨の線量算定の目的でこの元素の同 位体を分類する必要はない。

- 1) ICRP Publication 23, Report of the ICRP Task Group on Reference Man. Pergamon Press, Oxford, 1975.
- ICRP Task Group Report on Lung Dynamics (1966). Deposition and retention models for internal dosimetry of the human respiratory tract. Health Phys., 12, 173-207.
- Durbin, P. W., Scott, K. G. and Hamilton, J. G. (1957). The Distribution of Radioisotopes of Some Heavy Metals in the Rat. University of California Publication in Pharmacology, 3, 1-34.
- 4) Durbin, P. W. (1960). Metabolic Characteristics within a Chemical Family. *Health Phys.*, 2, 225-238.

専門委員会2の報告

オスミウムの同位体に関する年摂取限度 ALI (Bq) および誘導空気中 濃度 DAC (Bq/m³) (40 h/wk)

ALI (Bq)

放射性核種 _	吸 入				
	経 口 $f_1=1\times 10^{-2}$	クラスD	クラスW $f_1=1\times10^{-2}$	クラスY $f_1=1\times10^{-2}$	
		$f_1 = 1 \times 10^{-2}$			
¹⁸⁰ Os	4×109	1×10 ¹⁰	2×10 ¹⁰	2×10 ¹⁰	
¹⁸¹ Os,	5×10 ⁸	2×109	2×109	2×109	
¹⁸² Os	8×10 ⁷	2×10^{8}	2×10^{8}	1×10^{8}	
¹⁸⁵ Os	9×10^{7}	2×10^{7}	3×10^{7}	3×10^{7}	
^{189m} Os	3×10°	9×10^{9}	8×109	6×109	
^{191m} Os	5×10^{8}	1×10^{9}	8×10^{8}	7×10^{8}	
¹⁹¹ Os	8×10 ⁷ (9×10 ⁷) 大腸下部壁	8×10 ⁷	6×10 ⁷	5×10 ⁷	
¹⁹³ Os	6×10 ⁷ (6×10 ⁷) 大腸下部壁	2×10 ⁸	1×10 ⁸	1×10^8	
¹⁹⁴ Os	2×10 ⁷ (2×10 ⁷) 大腸下部壁	2×10 ⁶	2×10 ⁶	3×10 ⁵	

DAC (Bq/m^3) (40 h/wk)

	強	吸 入	
放射性核種	クラスD	クラスW	クラスY
	$f_1 = 1 \times 10^{-2}$	$f_1 = 1 \times 10^{-2}$	$f_1 = 1 \times 10^{-5}$
¹⁸⁰ Os	6×10 ⁶	7×10 ⁶	7×10 ⁶
¹⁸¹ Os .	7×10 ⁵	7×10 ⁵	7×10^{5}
¹⁸² Os	9×10^{4}	7×10^{4}	6×10^{4}
¹⁸⁵ Os	8×10^{3}	1×10^{4}	1×10 ⁴
¹⁸⁹ mOs	4×10^{6}	3×10^{6}	3×10 ⁶
^{191m} Os	4×10^{5}	3×10 ⁵	3×10 ⁵
¹⁹¹ Os	3×10^{4}	2×104	2×10 ⁴
¹⁹⁸ Os	7×10 ⁴	5×10⁴	4×10^{4}
¹⁹⁴ Os	6×10^{2}	9×10^{2}	1×10^{2}

イリジウムの代謝データ

1. 代謝

イリジウムに関しては、「標準人」」にデータが与えられていない。

2. 代謝モデル

(a) 血液への取り込み

胃腸管からの Na_2 ¹⁹² IrCl₆ の取り込みがいくつかの哺乳動物種について測定されている²⁾。 それらの結果は,この化学形で投与されたイリジウムの吸収割合は約0.01であることを示している。無担体のイリジウムの吸収は約0.1 であると報告された³⁾ が,その後の報告⁴⁾ では 10^{-3} より小さい値が示された。この報告書では,イリジウムのすべての化合物について f_1 を0.01とする。

(b) 吸入のクラス

ICRP の「肺動態課題グループ」がは、イリジウムの酸化物および水酸化物を吸入のクラスYに、ハロゲン化物および硝酸塩を吸入のクラスWに、そしてこの元素のその他すべての化合物を吸入のクラスDに指定した。ヒトでは、誤って吸入したイリジウムの化合物は肺から急速に除去されが、ラットでは金属状イリジウムがクラスWの物質として行動することが見出されたが。

この報告書では、イリジウムの化合物について課題グループ⁵⁾ の勧告を採用する。金属状イリジウムは吸入のクラスWに指定する。

吸入のクラス	f_1
D	0.01
W	0.01
Y	0.01

(c) 分布と残留

ラットについての実験^{2),8)} は、静脈内注射あるいは腹腔内注射のいずれかの 後の任意の時刻における肝臓、腎臓および脾臓内のイリジウムの濃度が、全身 の平均濃度より約1桁高いことを示している。さらに、これらの各器官内のイ リジウムの残留は、全身残留に平行することを示している²⁾。

マウス, ラット, サルおよびイヌのイリジウムの全身残留は非常によく似て val_{2} 。 これらの 4 つの種についての実験データは, ヒトにあてはまる残留関数は

R(t)=0. $2e^{-0.698t/0.3}$ +0. $15e^{-0.698t/8}$ +0. $65e^{-0.698t/200}$ であることを示唆している。

この報告書では、通過コンパートメントを出ていくイリジウムのうち、0.2、0.04 および 0.02 の割合がそれぞれ肝臓、腎臓および脾臓に移行すると仮定する。また、0.54の割合は人体のすべての他の器官および組織に均等に分布すると仮定する。通過コンパートメントを出ていくイリジウムの残りの割合は、直接に排泄されると仮定する。人体の任意の器官あるいは組織に沈着したイリジウムのうち、0.2と0.8の割合がそれぞれ8日と200日の生物学的半減期で残留すると仮定する。

3. 骨線量算定のための同位体の分類

イリジウムは肝臓、腎臓および脾臓以外の人体のすべての器官および組織に 均等に分布すると仮定する。したがって、骨の線量算定の目的でこの元素の同 位体を分類する必要はない。

- ICRP Publication 23, Report of the ICRP Task Group on Reference Man. Pergamon Press, Oxford, 1975.
- Furchner, J. E., Richmond, C. R. and Drake, G. A. (1971). Comparative Metabolism of Radionuclides in Mammals—V. Retention of ¹⁹²Ir in the Mouse, Rat. Monkey and Dog. Health Phys., 20, 375–382.
- Hamilton, J. G. (1951). The Metabolic Properties of Various Materials. University of California Radiation Laboratory Report: URCRL-1437.
- 4) Durbin, P. W., Scott, K. G. and Hamilton, J. G. (1957). The Distribution of Radioisotopes of Some Heavy Metals in the Rat. University of California Publications in Pharmacology, 3, 1-34.
- ICRP Task Group on Lung Dynamics (1966). Deposition and retention models for internal dosimetry of the human respiratory tract. *Health Phys.*, 12, 173-207.
- 6) Brodsky, A., Schubert, J., Yaniv, S., Lamson, K., Wald, N., Wechsler, R., Gumerman, L. and Galdwell, R. (1967). Deposition and Retention of ¹⁹⁸Ir in the Lung after an Inhalation Incident. *Health Phys.*, 13, p. 938.
- Casarett, L. J., Bless, S., Katz, R. and Scott, J. K. (1960). Retention and Fate of Iridium-192 in rats following Inhalation. J. Am. Ind. Hyg. Assoc., 21, 414-418.
- 8) Durbin, P. W. (1960). Metabolic Characteristics within a Chemical Family. Health Phys., 2, 225-238.

専門委員会2の報告

イリジウムの同位体に関する年摂取限度 ALI (Bq) および誘導空気中 濃度 (Bq/m³) (40 h/wk)

ALI (Bq)

		ACM TO THE TOTAL OF THE TOTAL O		
		吸 入		
放射性核種	経 口	クラスD	クラスW	クラスY
. Compara-	$f_1 = 1 \times 10^{-2}$	$f_1 = 1 \times 10^{-2}$	$f_1 = 1 \times 10^{-2}$	$f_1 = 1 \times 10^{-1}$
$^{182}\mathrm{Ir}$	2×10 ⁹ (2×10 ⁹) 胃 壁	5×10 ⁹	6×10 ⁹	5×10 ⁹
¹⁸⁴ Ir	3×10 ⁸	9×10^{8}	1×10^{9}	1×10^{9}
¹⁸⁵ Ir	2×10 ⁸	5×10 ⁸	4×10^{8}	4×10^{8}
186Ir	9×10 ⁷	3×10 ⁸	2×10 ⁸	2×10 ⁸
¹⁸⁷ Ir	4×10^{8}	1×109	1×109	1×109
¹⁸⁸ Ir	7×10^{7}	2×10 ⁸	1×10^{8}	1×10^{8}
¹⁸⁹ Ir	2×10 ⁸	2×10 ⁸	1×10^{8}	1×10^{8}
	(2×10 ⁸) 大腸下部壁			
190m Ir	6×10^{9}	7×10^{9}	8×10^{9}	7×10^{9}
¹⁹⁰ Ir	4×10^{7}	3×10^{7}	4×10^{7}	3×10^{7}
^{192m} Ir.	1×10^{8}	3×10^{6}	8×10 ⁶	6×10 ⁵
¹⁹² Ir	4×10^{7}	1×10 ⁷	1×10^{7}	8×10 ⁶
194m Ir	2×10^{7}	3×10 ⁶	6×10 ⁶	4×10 ⁶
¹⁹⁴ Ir	4×10^{7}	1×10^{8}	8×10^{7}	7×10 ⁷
195m Ir	3×10^{8}	9×10^{8}	1×10^{9}	8×10 ⁸
¹⁹⁵ Ir	6×10^{8}	2×10^{9}	2×10^{9}	2×109

イリジウムの代謝データ DAC (Bq/m³) (40 h/wk)

	吸 入			
放射性核種	クラスD	クラスW	クラスY	
	$f_1 = 1 \times 10^{-2}$	$f_1 = 1 \times 10^{-2}$	$f_1 = 1 \times 10^{-2}$	
¹⁸² Ir	2×10 ⁶	2×10 ⁶	2×10 ⁶	
$^{184}\mathrm{Ir}$	4×10^5	5×10^5	4×10^{5}	
$^{185}\mathrm{Ir}$	2×10^{5}	2×10^{5}	2×10^{5}	
$^{186}\mathrm{Ir}$	1×10^{5}	1×10^{5}	9×104	
¹⁸⁷ Ir	5×10^5	5×10^{5}	4×10^5	
¹⁸⁸ Ir	7×10^4	5×104	5×104	
¹⁸⁹ Ir	7×10^4	6×10^4	6×10^4	
190mIr	3×10^{6}	3×10^{6}	3×10 ⁶	
$^{190}\mathrm{Ir}$	1×10^4	2×10^{4}	1×10^{4}	
$^{192m}\mathrm{Ir}$	1×10^3	3×10^{3}	2×10^{2}	
$^{192}{ m Ir}$	4×10^3	6×10^3	3×10^{3}	
$^{194m}\mathrm{Ir}$	1×10^3	3×10^{3}	2×10^{3}	
¹⁹⁴ Ir	5×10 ⁴	3×10^{4}	3×104	
$^{195m}\mathrm{Ir}$	4×10^5	4×10^{5}	3×10^{5}	
¹⁹⁵ Ir	6×10^{5}	8×10 ⁵	7×10^{5}	



金の代謝データ

1. 代 謝

「標準人」1)のデータ

人体の金含有量

< 9.8 mg

飲食物からの1日当たりの金の標準摂取量に関するデータは「標準人」には 与えられていない。

2. 代謝モデル

(a) 血液への取り込み

金のいろいろな塩の胃腸管からの吸収割合は、0.03から0.13まで変動することが見出されている $^{2)-4)}$ 。この報告書では、金のすべての化合物について f_1 を0.1とする。

(b) W 吸入のクラス

ICRP の「肺動態課題グループ」がは、金の酸化物および水酸化物を吸入のクラスYに、ハロゲン化物および硝酸塩を吸入のクラスWに、そして、この元素のその他すべての化合物を吸入のクラスDに指定した。適切な実験データがなにもないので、ここではこの分類を採用する。

f_1
0.1
0.1
0.1

(c) 分布と残留

古典的な意味での活動性リウマチ様関節炎のの患者についての研究は、チオリンゴ酸金ナトリウムとして注射された金が、約3日の生物学的半減期で人体内に残留することを示している。同様な生物学的半減期がいろいろな金の塩を用いた他の研究がにおいて見出されている。

金の塩の尿中排泄は急速であるので、膀胱壁の平均吸収線量率が人体のいか なる他の器官あるいは組織の平均吸収線量率よりもかなり大きいであろうとい うことに注意すべきである。

この報告書では、通過コンパートメントに入った金は、瞬間的に人体のすべての器官および組織に均等に分布し、そこに3日の生物学的半減期で残留すると仮定する。さらに、膀胱内にある尿中の金の放射性同位体の濃度は、その同位体にさらされた後いつでも、他の任意の組織中濃度の10倍であると仮定し、また膀胱中の尿量は200 cm³ であると仮定する。

3. 骨線量算定のための同位体の分類

金は人体組織に均等に分布すると仮定するので、骨の線量算定の目的でこの 元素の同位体を分類する必要はない。

文 献

- ICRP Publication 23, Report of the ICRP Task Group on Reference Man. Pergamon Press, Oxford, 1975.
- Sylvia, A. J., Fleshman, D. G. and Shore, B. (1973). The Effects of Penicillamine on the Body Burdens of Several Heavy Metals. *Health Phys.*, 24, 535-539.
- Chertok, R. J. and Lake, S. (1971). Biological Availability of Radionuclides Produced by the Plowshare Event Schooner-II Retention and Excretion Rates in Peccaries after a Single Oral Dose of Debris. Health Phys., 20, 325-330.

- 4) Kleinsorge, H. (1967). Die Resorption Therapeutisch Anwendbarer Goldsalze und Goldsole. *Arzneim.-Forsch.*, 17, 100–102.
- ICRP Task Group on Lung Dynamics (1966). Deposition and retention models for internal dosimetry of the human respiratory tract. Health Phys., 12, 173-207.
- 6) Mascarenhas, B. R., Oranda, J. L. and Freyberg, R. H. (1972). Gold Metabolism in Patients with Rheumatoid Arthritis Treated with Gold Compounds—Reinvestigated. Arthritis Rheum., 15, 391–402.
- ICRP Publication 10, Report of Committee IV on Evaluation of Radiation Doses to Body Tissues from Internal Contamination due to Occupational Exposure. Pergamon Press, Oxford, 1968.

金の同位体に関する年摂取限度 ALI(Bq) および誘導空気中濃度 (Bq/m^3) $(40 \, h/wk)$

ALI (Bq)*

			吸 入	
放射性核種	経口	クラスD	クラスW	クラスY
	$f_1 = 1 \times 10^{-1}$	$f_1 = 1 \times 10^{-1}$	$f_1 = 1 \times 10^{-1}$	$f_1 = 1 \times 10^{-1}$
¹⁹³ Au	3×10 ⁸	1×10°	8×10 ⁸	7×10 ⁸
¹⁹⁴ Au	1×10^{8}	3×10^{8}	2×10^{8}	2×10^{8}
¹⁹⁵ Au	2×10^{8}	4×10^{8}	5×10 ⁷	2×107
$^{198m}\mathrm{Au}$	4×10^7	1×10^{8}	4×10^{7}	4×10^{7}
¹⁹⁸ Au	5×107	1×10^{8}	7×10^{7}	6×10^{7}
¹⁹⁹ Au	1×10 ⁸ (1×10 ⁸)	3×10 ⁸	1×10 ⁸	1×10 ⁸
^{200m} Au	大腸下部壁 4×10 ⁷	1×10 ⁸	1×108	9×10 ⁷
²⁰⁰ Au ,	1×10^{9}	2×10^{9}	3×10^{9}	3×109
²⁰¹ Au	3×10 ⁹ (3×10 ⁹) 胃 壁	8×10 ⁹	9×10 ⁹	8×10°

^{*} 訳注 数値が原文と異なっているが、これはICRP Publ. 30 Part 3 に付された「追補」により訂正されたものである。

DAC (Bq/m³) (40 h/wk)*

-		吸 入	
放射性核種	クラスD クラスW ク		
	$f_1 = 1 \times 10^{-1}$	$f_1 = 1 \times 10^{-1}$	$f_1 = 1 \times 10^{-1}$
¹⁹³ Au	4×10 ⁵	3×10 ⁵	3×10 ⁵
¹⁹⁴ Au	1×10^{5}	8×10 ⁴	8×104
¹⁹⁵ Au	2×10^{5}	2×10^{4}	7×10^{3}
$^{198m}\mathrm{Au}$	4×10^{4}	2×10^{4}	2×104
¹⁹⁸ Au	6×10^{4}	3×10 ⁴	3×104
199Au	1×10^{5}	6×104	6×104
^{200m} Au	5×10 ⁴	4×10 ⁴	4×10^{4}
²⁰⁰ Au	1×10^{6}	1×10^6	1×10^{6}
²⁰¹ Au	3×10^{6}	4×10^6	3×10^{6}

^{*} 訳注 数値が原文と異なっているが、これは ICRP Publ. 30 Part 3 に付された「追補」により訂正されたものである。

水銀の代謝データ

1. 代 謝

「標準人」1) のデータ

軟組織の水銀含有量

飲食物からの1日当たりの摂取量

13 mg

0.015 mg

2. 代謝モデル

2.1 無機化合物

(a) 血液への取り込み

元素状水銀の胃腸管からの取り込みは非常にわずかであり²⁾, またラットについての実験³⁾ は、経口摂取した元素状水銀のうち吸収されるものは10⁻⁴より少ないことを示唆している。

水銀の無機化合物の胃腸管からの吸収は、Nordberg と Sherfving²⁾ によって調査、検討された。マウスについての研究は、塩化第二水銀の吸収割合が0.02より小さいことを示唆している。しかし、ヒトについての急性中毒の症例からのデータは、この化学形で経口摂取された水銀に関して、吸収割合は少なくとも0.08であることを示唆している。この2つの数字の違いはおそらく胃腸管の透過性に対する障壁に及ぼす塩化第二水銀の破壊効果によって説明される。それゆえ、この小さい方の数字を使用する方が、放射線防護の目的には多分適切であろう。

胃腸管からの第一水銀化合物の吸収割合は第二水銀化合物の吸収割合よりも

一般に小さいことが予想される20。

この報告書では、水銀のすべての無機化合物について f₁ を0.02とする。

(b) 吸入のクラス

肺における水銀蒸気の沈着と残留についての動物 実験は、Nordberg と Sherfving²⁾ によって調査、検討された。肺からの水銀蒸気の吸収は代表的には吸収された水銀のうちの 0.5 よりも大きい。ヒトについては、吸入された水銀のうち平均して0.74が 1.7 日の生物学的半減期で肺に残留するか。全身負荷量のわずか約0.07が呼気中の蒸気として失われるにすぎないから、この水銀のほとんどは体組織に移行する。

この報告書では、水銀蒸気として肺に入った水銀のうち0.7がそこに沈着すると仮定し、また沈着の後この部分は1.7日の生物学的半減期で血液に移行すると仮定する。血液に入った後のこの水銀の代謝は、この元素の無機化合物の代謝と同じであると仮定する。

ICRP の「肺動態課題グループ」5) は水銀の酸化物,水酸化物,ハロゲン化物,硝酸塩および硫化物を吸入のクラスWに指定し、この元素の硫酸塩を吸入のクラスDに指定した。この分類は、208HgO を吸入させたイヌの実験6) および誤って水銀にさらされたヒトについての研究18)により裏づけられており、これをここで採用する。

吸入のクラス	f_1
D	0.02
W	0.02
Y	

(c) 分布と残留

無機水銀を最高濃度に含む器官は通常腎臓であり1),2), その代表的な濃度は

全身の平均濃度の約15倍である。しかし、高いレベルの無機水銀にさらされる場合には、甲状腺および脳下垂体中の濃度は腎臓中の濃度よりも高いことがある⁷。

相当数の個人に対し、無機水銀およびメチル水銀を経口投与した実験"では、経口摂取後最初の250日にわたって、メチル水銀の全身における生物学的半減期が76±3日であるのに対し、無機水銀の全身における生物学的半減期は42±3日であることが示されている。しかし、これらの半減期は「標準人」"に示されている水銀の全身含有量および1日当たりの摂取量と矛盾する。さらに、これらの半減期は、この元素にさらされたことがわかっている最後のときから6年後にも水銀が依然として尿中に検出できる。という観察とも矛盾している。

この報告書では、吸入した後、またはこの元素を無機化合物としてあるいは 金属水銀として経口摂取した後、通過コンパートメントから出ていく水銀のう ち0.08は腎臓に移行し、0.92は人体のその他すべての器官および組織に均等に 分布すると仮定する。腎臓に移行してもあるいは他の任意の器官または組織に 移行しても、この水銀のうち0.95 は40日の生物学的半減期で残留し、0.05 は 10,000日の生物学的半減期で残留すると仮定する。

2.2 有機化合物

(a) 血液への取り込み

メチル水銀の胃腸管からの吸収は Nordberg と Sherfving²⁾ により調査,検討された。一方,より最近の日本の研究は Kojima と Fujita¹⁰⁾ によってまとめられている。これらの総説は,メチル水銀が胃腸管からほとんど完全に吸収されること,酢酸水銀(\mathbb{I})の吸収割合は約0.2であること,およびフェニル水銀の代表的な吸収割合は0.4であることを示唆している。

この報告書では、 f_1 をメチル水銀については 1、この元素の他の有機化合物については 0.4 とする。

(b) 吸入のクラス

有機水銀化合物の吸入に関するデータ 2)はほとんどない。しかし、マウスの実験 2)はジメチル水銀が吸入のクラスDに指定されるべきであることを示唆している。この報告書では、水銀のすべての有機化合物を吸入のクラスDに指定する。適切な実験データがなにもないので、この元素の有機化合物の吸入の結果胃腸管に入る水銀については、 f_1 を1とする。

f_1
1
20天後漢2世紀。 安

(c) 分布と残留

水銀の有機化合物の体内における分布は、投与された化合物および用いられた動物種に大きく左右される(文献 2)参照)。メチル水銀の場合には、ラットを除いて研究されたすべての動物種で腎臓と脳が同程度の高い水銀濃度を示している²⁾。

相当数の個人に対しメチル水銀を経口投与した実験®は,経口摂取後の最初の250日にわたって,この化学形で投与された水銀の全身における生物学的半減期が76±3日であることを示している。しかし,前に指摘したように,この半減期は「標準人」™に示されている水銀の全身含有量および1日当たりの摂取量と矛盾する。さらにこれは,この元素にさらされたことがわかっている最後のときから6年後にも水銀が依然として尿中に検出できるという観察®とも矛盾している。

この報告書では、この元素を有機化合物として吸入または経口摂取した後、 通過コンパートメントから出ていく水銀のうち、0.08および0.2の割合がそれぞ れ腎臓および脳に移行すると仮定する。通過コンパートメントから出ていく水 銀の残りの割合は、人体のすべての他の器官および組織に均等に分布すると仮定する。腎臓と脳を含めた任意の器官または組織に移行した水銀のうち、0.95 および0.05の割合がそれぞれ80日および10,000日の生物学的半減期で残留すると仮定する。

水銀の有機化合物についてのこの分布と残留モデルは、メチル水銀についてのデータを基にしたものであり、この元素の多くの有機化合物については多分ひかえ目にすぎることに留意すべきである。たとえば、ネオヒドリンとして投与された水銀はメチル水銀よりもずっと急速に人体から失われる11,120。

3. 骨線量算定のための同位体の分類

水銀は腎臓および脳以外の人体のすべての器官および組織の全体に均等に分布すると仮定する。したがって、骨の線量算定の目的で水銀の同位体を分類する必要はない。

文 献

- ICRP Publication 23, Report of the ICRP Task Group on Reference Man. Pergamon Press, Oxford, 1975.
- Nordberg, G. F. and Sherfving, S. Metabolism. In: Mercury in the Environment. Eds. Friberg, L. T. and Vostal, J. J. CRC, 1972.
- Bornmann, G., Henke, G., Alfes, H. and Möllman, H. (1970). Uber die Enterlae Resorption von Metallischem Quecksilber. Arch. für Toxikol., 203-209.
- Hursh, J. B., Clarkson, T. W., Cherian, M. G., Vostal, J. V. and Mallie, R. V. (1976). Clearance of Mercury (Hg-197, Hg-203) Vapour Inhaled by Human Subjects. Arch. Env. Health., 31, 302-309.
- ICRP Task Group on Lung Dynamics (1966). Deposition and retention models for internal dosimetry of the human respiratory tract. Health Phys., 12, 173-207.
- 6) Morrow, P. E., Gibb, F. R. and Johnson, L. (1964). Clearance of

- insoluble dust from the lower respiratory tract. Health Phys., 10, 543-555.
- Kosta, L., Byrne, A. R. and Zelenko, V. (1975). Correlation between Selenium and Mercury in Man following Exposure to Inorganic Mercury. Nature, 254, 238-239.
- Rahola, T., Aaran, R. K. and Miettinen, J. K. Half-life Studies of Mercury and Cadmium by Whole-body Counting. In: Assessment of Radioactive Contamination in Man. IAEA, Vienna, 1972, pp. 553-562.
- Goldwater, L. J. and Nicolau, A. (1966). Absorption and Excretion of Mercury in Man: IX Persistence of Mercury in Blood and Urine following Cessation of Exposure. Arch. Environ. Health., 12, 196-198.
- Kojima, K. and Fujita, M. (1973). Summary of recent studies in Japan on methyl mercury poisoning. Toxicology, 1, 43-62.
- 11) Johnson, J. E. and Johnson, J. A. (1968). A New value for the Long Component of the Effective Half-Retention Time of ²⁰⁸Hg in the Human. Health Phys., 14, 265–266.
- 12) Greenlaw, R. H. and Quaife, M. (1962). Retention of Neohydrin-Hg²⁰³ as Determined with a Total Body Scintillation Counter. *Radiology*, 78, 970–973.
- 13) Newton, D. and Fry, F. A. (1978). The retention and distribution of radioactive mercuric oxide following accidental inhalation. *Ann. Occup. Hyg.*, 21, 21–32.

専門委員会2の報告

水銀の同位体に関する年摂取限度 ALI (Bq) および誘導空気中濃度 DAC (Bq/m^3) (40 h/wk)

有機物 ALI (Bq)

ers entitlett	Look Committee		吸 入	
放射性核種	経 口		クラスD	
	$f_1 = 1$	$f_1=4\times 10^{-1}$	$f_1 = 1$	
^{193m} Hg	3×10 ⁸	2×10 ⁸	5×10 ⁸	
¹⁹³ Hg	2×109	7×108	2×109	
¹⁹⁴ Hg	6×10 ⁵	2×10 ⁶	1×10^{6}	
^{195m} Hg	2×108	1×10 ⁸	2×108	
¹⁹⁵ Hg	1×10°	6×10^{8}	2×10^{9}	
^{197m} Hg	3×10 ⁸	1×10^{8}	3×10 ⁸	
¹⁹⁷ Hg	4×10^{8}	3×10^{8}	5×108	
¹⁹⁹ mHg	2×10 ⁹ (4×10 ⁹) 胃 壁	2×10 ⁹ (2×10 ⁹) 胃 壁	6×10°	
²⁰³ Hg	2×10^{7}	3×10^{7}	3×10^{7}	

DAC (Bq/m^3) (40 h/wk)

-	
	吸 入
放射性核種	クラスD
	$f_1 = 1$
^{193m} Hg	2×10 ⁵
¹⁹³ Hg	1×10^6
¹⁹⁴ Hg	4×10^2
¹⁹⁵ mHg	9×104
¹⁹⁵ Hg	7×10^{5}
$^{197m}\mathrm{Hg}$	1×10^{5}
¹⁹⁷ Hg	2×10 ⁵
^{199m} Hg	2×10^6
²⁰³ Hg	1×10^4

水銀の同位体に関する年摂取限度 ALI (Bq) および誘導空気中濃度 DAC (Bq/ m^{a}) (40 $\mathrm{h/wk}$)

無機物 ALI (Bq)

		吸 入		
放射性核種	経口	クラスD	クラスW	
	$f_1 = 2 \times 10^{-2}$	$f_1=2\times 10^{-2}$	$f_1=2\times 10^{-2}$	
^{193m} Hg	1×10 ⁸	3×10 ⁸	3×10 ⁸	
¹⁹³ Hg	6×10 ⁸	2×10^{9}	2×10^{9}	
¹⁹⁴ Hg	3×107	2×10 ⁶	4×10^{6}	
^{195m} Hg	9×107	2×10^{8}	1×10^{8}	
¹⁹⁵ Hg	5×10 ⁸	1×10^9	1×10^{9}	
^{197m} Hg	1×10^{8}	3×108	2×10^{8}	
¹⁹⁷ Hg	2×10 ⁸	4×10^{8}	3×108	
^{199m} Hg	2×10^{9}	5×10^{9}	7×10^{9}	
²⁰³ Hg	9×10^{7}	5×107	4×10^{7}	

DAC (Bq/m³) (40 h/wk)

	YD Z X G		吸 入	
放射性核種	701 203	クラスD	25.12.01	クラスW
	4013 10 401568	$f_1=2\times 10^{-2}$	nlicat	$f_1 = 2 \times 10^{-9}$
^{193m} Hg	- 101-2	1×10 ⁵	115101111	1×10 ⁵
¹⁹³ Hg		7×10^{5}		6×10^{5}
¹⁹⁴ Hg		7×10^2		2×10^3
^{195m} Hg		8×104		6×10^{4}
¹⁹⁵ Hg		5×10^{5}		5×10^{5}
197m Hg		1×10^{5}		8×10^{4}
¹⁹⁷ Hg		2×10^{5}		1×10^{5}
^{199m} Hg		2×10^{6}		3×10^{6}
²⁰³ Hg		2×104		2×10^{4}

(112)

専門委員会2の報告

水銀の同位体に関する年摂取限度 ALI (Bq) および誘導空気中濃度 DAC (Bq/m^3) (40 h/wk)

水銀蒸気 ALI (Bq)

	放射性核種	吸 入	
는 것	^{193m} Hg	3×10 ⁸	1 (1882)
	¹⁹³ Hg	1×10^{9}	
	¹⁹⁴ Hg	1×10^{6}	
	^{195m} Hg	1×108	
	¹⁹⁵ Hg	1×10°	
	^{197m} Hg	2×108	
	¹⁹⁷ Hg	3×108	
	^{199m} Hg	3×109	
	²⁰³ Hg	3×10 ⁷	
27	SOFXE -	*01×10*	pH

DAC (Bq/m³) (40 h/wk)

放射性核種			吸 入	
	^{193m} Hg		1×10 ⁵	
	¹⁹³ Hg		5×10^{5}	
	¹⁹⁴ Hg		5×10^2	
	^{195m} Hg		6×104	
	¹⁹⁵ Hg		5×10 ⁵	
	^{197m} Hg		8×104	
	¹⁹⁷ Hg		1×10^{5}	
	^{199m} Hg		1×10^6	
	²⁰³ Hg		1×104	

鉛の代謝データ

1. 代謝

「標準人」1)のデータ

人体の鉛含有量

120 mg

骨格の鉛含有量

110 mg

飲食物からの1日当たりの摂取量

0.44 mg

2. 代謝モデル

(a) 血液への取り込み

ヒトの胃腸管からの鉛の吸収割合は0.05から0.14の範囲にあると推定されている10。最近,Chamberlain および共同研究者20 は,鉛の化合物の吸収割合がこれよりもかなり著しく変動することを証明した。とくに,6名の正常人についての絶食後の胃腸管からの PbCl2 の吸収は0.24から0.65 の範囲にあった。同様に,Wetherill 580 および Blake40 の研究も,胃腸管からの吸収割合の値が0.1 よりもかなり大きいことを示した。この報告書では f_1 は0.2 とした。この値は食事と食事の間に経口摂取される鉛の化合物について適切と考えられる。

(b) 吸入のクラス

ICRP の「肺動態課題グループ」⁵⁾ は普通に存在する鉛のすべての化合物を吸入のクラスWに指定した。しかし、いろいろな研究は AMAD がサブミクロンの鉛のエロゾルは肺から急速に除去されることを示している^{2),6)-9)}。この報告書では、通常存在する鉛のすべての化合物を吸入のクラスDに指定する。

専門委員会2の報告

吸入のクラス	f_1
D	0.2
W	グトの 銀 ー
Y	_

(c) 分布と残留

Lloyd ら¹⁰)は、イヌについて鉛の全身残留は次の関数によってよく表されることを示した。

$$R(t) = 0.7e^{-0.693t/12} + 0.17e^{-0.693t/180} + 0.13e^{-0.693t/5000}$$

しかしながら、彼等の実験では第三の成分の半減期は、はっきりとはきめられなかった。また、鉛の残留について、生物学的半減期が約10,000日という長期の成分がヒトで示されている¹¹⁾。

注射された 210 Pb は主として骨、肝臓および腎臓に沈着するが、無機質骨にだけ長期間残留する $^{10)-12)}$ 。 210 Pb を注射してから、28日、1,100日および1,497日後の組織間の分布について Lloyd ら $^{10)$ が与えたデータ、「標準人」 11 の安定鉛の分布、およびイ 10 についての全身残留のデータから、次の代謝モデルを採用した。

通過コンパートメントを出ていく鉛のうち、0.55、0.25および0.02の割合がそれぞれ骨格、肝臓および腎臓に移行すると仮定する。残りの割合0.18は、人体の他のすべての器官および組織に均等に分布すると仮定する。骨格に移行した鉛のうち、0.6、0.2および0.2の割合がそれぞれ12日、180日および10,000日の生物学的半減期で残留すると仮定する。骨格以外の任意の器官および組織に移行した鉛のうち、0.8、0.18および0.02の割合が、それぞれ12日、180日および10.000日の生物学的半減期で残留すると仮定する。

3. 骨線量算定のための同位体の分類

鉛はリン灰石のカルシウムの位置に置換できることが知られており¹³⁾,このために鉛はおそらく無機質骨の体積全体にかなり速くゆきわたるであろう。この報告書では、²⁰²Pb,²⁰⁵Pb および ²¹⁰Pb は、骨格に沈着した後いつでも無機質骨の体積全体に均等に分布していると仮定する。この報告書で考察しているその他すべての鉛の同位体の放射性半減期は15日よりも短く、骨格に沈着した後いつでも骨表面に均等に分布していると仮定する。

文 献

- ICRP Publication 23, Report of the ICRP Task Group on Reference Man. Pergamon Press, Oxford, 1975.
- Chamberlain, A. C., Heard, M. J., Little, P., Newton, D., Wells, A. C. and Wiffen, R. D. Investigations into lead from motor vehicles. United Kingdom Atomic Energy Authority (Harwell) report AERE-R 9198 H. M. Stationery Office, London, 1978.
- Wetherill, G. W., Rabinowitz, M. and Kopple, J. D. Sources and metabolic pathways of lead in normal humans. In: Recent advances in the assessment of the health effects of environmental pollution. CEC, Paris, 1975, pp. 847-860.
- 4) Blake, K. C. H. (1976). Absorption of ²⁰³Pb from the gastro-intestinal tract of man. *Environ. Res.*, 11, 1-4.
- ICRP Task Group on Lung Dynamics (1966). Deposition and retention models for internal dosimetry of the human respiratory tract. Health Phys., 12, 173-207.
- 6) Bianco, A., Gibb, F. R. and Morrow, P. E. Study of submicron size lead-212 aerosol inhalation. Abstracts of papers presented at the third international congress of the International Radiation Protection Association, Washington. Pergamon Press, Oxford, 1973.
- 7) Hursh, J. B., Schraub, A., Sattler, E. L. and Hofmann, H. P. (1969). Fate of ²¹²Pb Inhaled by Human Subjects. *Health Phys.*, 16, 257-267.

- Booker, D. V., Chamberlain, A. C., Newton, D. and Stott, A. N. B. (1969). Uptake of radioactive lead following inhalation and injection. Br. J. Radiol., 42, 457-466.
- 9) Hursh, J. B. and Mercer, T. T. (1970). Measurement of ²¹²Pb loss rate from human lungs. J. Appl. Physiol., 28, 268-274.
- Lloyd, R. D., Mays, C. W., Atherton, D. R. and Bruenger, F. W. (1975).
 ²¹⁰Pb Studies in Beagles. *Health Phys.*, 28, 575–583.
- 11) Rabinowitz, M. B., Wetherill, G. W. and Kopple, J. D. (1973). Lead Metabolism in the Normal Human: Stable Isotope Studies. Science, 182, 725-727.
- 12) Cohen, N. The Retention and Distribution of Lead-210 in the Adult Baboon. Annual Progress Report, Sept. 1, 1969-August 31, 1970. NYO-3086-10, Vol. 1, New York University, N.Y., Institute of Environmental Medicine.
- 13) Posner, A. S. Mineralised Tissues. In: Phosphorus and its Compounds, Vol. 2, Ed. Van Wazer, J. R. (Interscience, New York, 1961), pp. 1429-1459.

鉛の同位体に関する年摂取限度 ALI (Bq) および誘導空気中濃度 DAC (Bq/m^3) (40 h/wk)

ALI (Bq)

		吸 入	
放射性核種	経 口	クラスD	
	$f_1=2\times 10^{-1}$	$f_1=2\times 10^{-1}$	
^{195m} Pb	2×109	7×10 ⁹	
¹⁹⁸ Pb	1×109	2×109	
¹⁹⁹ Pb	8×10 ⁸	3×109	
²⁰⁰ Pb	1×108	2×10 ⁸	
²⁰¹ Pb	3×10 ⁸	7×10 ⁸	
^{202m} Pb	3×10 ⁸	1×10°	
²⁰² Pb	5×10 ⁶	2×10 ⁶	
²⁰³ Pb	2×10 ⁸	4×10^{8}	
²⁰⁵ Pb	1×108	5×107	
²⁰⁹ Pb	9×10 ⁸	2×109	

		吸 入	
放射性核種	経 口	クラスD	
	$f_1 = 2 \times 10^{-1}$	$f_1=2\times 10^{-1}$	
²¹⁰ Pb	2×10 ⁴ (4×10 ⁴) 骨表面	9×10³ (1×10⁴) 骨表面	
²¹¹ Pb	4×10^{8}	2×10^{7}	
²¹² Pb	3×10 ⁶ (5×10 ⁶) 骨表面	1×10 ⁶	
²¹⁴ Pb	3×10^{8}	3×10^{7}	

DAC (Bq/m^3) (40 h/wk)

	吸 入	
放射性核種	クラス D	
= a acetan original	$f_1 = 2 \times 10^{-1}$	
^{195m} Pb	3×10 ⁶	
¹⁹⁸ Pb	$1 imes10^6$	
¹⁹⁹ Pb	$1 imes10^6$	
²⁰⁰ Pb	$1 imes10^5$	
²⁰¹ Pb	3×10 ⁵	
^{202m} Pb	$4 imes10^5$	
²⁰² Pb	8×10^{2}	
²⁰³ Pb	1×10^{5}	
²⁰⁵ Pb	2×10 ⁴	
²⁰⁹ Pb	9×10^{5}	
²¹⁰ Pb	4	
²¹¹ Pb	1×10^4	
²¹² Pb	5×10^2	
²¹⁴ Pb	1×10 ⁴	

ビスマスの代謝データ

1. 代謝

「標準人」1)のデータ

軟組織のビスマス含有量

< 0.23 mg

飲食物からの1日当たりの摂取量

 $20 \mu g$

2. 代謝モデル

(a) 血液への取り込み

食餌中のビスマスの胃腸管からの吸収割合は約0.08であることが示唆されている $^{1)}$ 。 また,ビスマスの塩基性塩は,胃腸管からごくわずかしか吸収されないとも言われている $^{2)}$ 。 この報告書では f_1 を0.05とする。この値は,実際に出あう可能性のきわめて大きいビスマスの化合物について適切な値であると考えられる。

(b) 吸入のクラス

ビスマスの化合物の吸入に関して入手できる実験からの適切な情報はないようである。 ICRP の「肺動態課題グループ」³⁾ は硝酸ビスマスを吸入のクラス Dに、そしてこの元素のその他すべての化合物を吸入のクラスWに指定した。 適切な実験データがなにもないので、ここではこの分類を採用する。

吸入のクラス	f_1
D	0.05
W	0.05
Y	odga I "Jvi jagana

(c) 分布と残留

ビスマスは主として腎臓に沈着し4)-7), 脾臓, 骨, 肝臓および肺中の濃度は, 腎臓中の濃度よりも1桁以上低い。

この報告書では、通過コンパートメントを出ていくビスマスのうち、0.3が直接に排泄され、0.4が腎臓に移行し、0.3が人体のその他すべての器官および組織に均等に分布すると仮定する^{6),7)}。腎臓を含めて人体の任意の器官または組織に移行したビスマスのうち、0.6と0.4の割合は、それぞれ、0.6日と5日の生物学的半減期で残留すると仮定する^{6),7)}。

ビスマスは血液から非常に速く除去されるので¹⁾, 通過コンパートメントからのクリアランスの半減期は, ビスマスのすべての化合物について0.01日と仮定する。

3. 骨線量算定のための同位体の分類

組織系内のビスマスは、腎臓以外の人体のすべての器官および組織に均等に 分布すると仮定する。したがって、骨の線量算定の目的でこの元素の同位体を 分類する必要はない。

文 献

- ICRP Publication 23, Report of the ICRP Task Group on Reference Man. Pergamon Press, Oxford, 1975.
- Sollmann, T. A Manual of Pharmacology. W. B. Saunders, Philadelphia, 1957, pp. 1237–1245.

- ICRP Task Group on Lung Dynamics (1966). Deposition and retention models for the internal dosimetry of the human respiratory tract. Health Phys., 12, 173-207.
- Eridani, S., Balzarini, M., Taglioretti, D., Romussi, M. and Velentini, R. (1964). The Distribution of Radiobismuth in the Rat. Br. J. Radiol., 37, 311-314.
- 5) Durbin, P. W. (1960). Metabolic Characteristics within a Chemical Family. *Health Phys.*, 2, 225-238.
- 6) Matthews, C. M. E., Dempster, W. J., Kapros, C. and Kountz, S. (1964). The Effect of Bismuth 206 Irradiation on Survival of Skin Homografts. Br. J. Radiol., 37, 306-310.
- Russ, G. A., Bigler, R. E., Tilbury, R. S., Woodward, H. Q. and Laughlin,
 S. (1975). Metabolic Studies with Radiobismuth 1. Retention and Distribution of ²⁰⁶Bi in the Normal Rat. Rad. Res., 63, 443-454.

ビスマスの同位体に関する年摂取限度 ALI (Bq) および誘導空気中濃度 DAC (Bq/m³) (40 h/wk)

ALI (Bq)

			吸 入		
	放射性核種	経 口	クラスD	クラスW	
		$f_1 = 5 \times 10^{-2}$	$f_1 = 5 \times 10^{-2}$	$f_1 = 5 \times 10^{-2}$	
	²⁰⁰ Bi	1×10 ⁹	3×109	4×109	
	²⁰¹ Bi	4×10^{8}	1×10^{9}	1×10^{9}	
	²⁰² Bi	5×10 ⁸	1×10^{9}	3×10^{9}	
	²⁰³ Bi	9×10^{7}	2×10^{8}	2×10^{8}	
	²⁰⁵ Bi	5×10^{7}	9×107	5×10^{7}	
	²⁰⁶ Bi	2×10^{7}	5×10^{7}	3×10^{7}	
	²⁰⁷ Bi	4×10^{7}	6×10^{7}	1×107	
	^{210m} Bi	2×10 ⁶ (2×10 ⁶) 腎 臓	2×10 ⁵ (2×10 ⁵) 腎臓	3×10 ⁴	
	²¹⁰ Bi	3×10 ⁷	9×10 ⁶ (1×10 ⁷) 腎臓	1×10 ⁶	
	²¹² Bi	2×10 ⁸	9×10^{6}	1×107	
	²¹³ Bi	3×10 ⁸	1×107	1×10^{7}	
	²¹⁴ Bi	6×10 ⁸ (8×10 ⁸) 胃 壁	3×10 ⁷	3×10 ⁷	

DAC (Bq/m³) (40 h/wk)

	吸 入	
放射性核種	クラスD	クラスW
	$f_1 = 5 \times 10^{-2}$	$f_1 = 5 \times 10^{-2}$
²⁰⁰ Bi	1×10 ⁶	2×10 ⁶
²⁰¹ Bi	4×10^{5}	6×10^{5}
$^{202}\mathrm{Bi}$	6×10^{5}	1×10^{6}
²⁰⁸ Bi	1×10^{5}	9×10 ⁴
²⁰⁵ Bi	4×104	2×10^{4}
²⁰⁶ Bi	2×10 ⁴	1×10 ⁴
²⁰⁷ Bi	3×10 ⁴	5×10^{3}
^{210m} Bi	7×10¹	1×10^{1}
²¹⁰ Bi	4×10^{3}	4×10^{2}
²¹² Bi	4×10^3	4×10^{3}
²¹³ Bi	5×10^3	5×10^{3}
²¹⁴ Bi	1×10 ⁴	1×104

ネプツニウムの代謝データ

1. 代 謝

ネプッニウムは自然界に存在する元素ではなく、ヒトについての分布のデータは得られていない。そのため、動物のデータに頼らざるを得ない。これらのデータは ICRP の「課題グループ」1)によって調査、検討されている。

2. 代謝モデル

(a) 血液への取り込み

ラットについての実験 $^{3)-4}$ の示すところによれば、胃腸管からのネプツェウムの吸収割合は、硝酸塩として投与されたとき、約 0 0.01である。しかし、食物中のネプツェウムの吸収割合がおそらくそうであるように 4 0、トレース量のこの元素の吸収割合はおそらくこの 1 10くらいであろう 2 0。この報告書では、ネプツェウムのすべての化合物について 1 1、 2 0.01とする。

(b) 吸入のクラス

ラットについての実験⁶⁾⁻⁷⁾は、ネプツニウムが肺からプルトニウムよりも速 く除去されることを示している。ゲッ歯類の限られたデータとアメリシウムと の類推から、この元素のすべての化合物を吸入のクラスWに指定した。

吸入のクラス	f_1
D	
W	0.01
Y	

(c) 分布と残留

ラットにおけるネプツニウムの分布と残留についてのデータは^{2)-4),6)-10)}, ネプツニウムの代謝挙動はプルトニウムのそれとかなり類似していることを示している。しかし,骨格中ではネプツニウムはプルトニウムよりもカルシウムに似た分布をするであろうという証拠がある¹¹⁾。この報告書では,「課題グループ」の勧告¹⁾ に従って,プルトニウムについて用いた代謝モデルをネプツニウムについても用いる。

したがって、通過コンパートメントを出ていくネプツニウムのうち、0.45が 無機質骨に、0.45が肝臓に移行すると仮定する。生殖腺に移行するネプツニウムの割合は精巣について 3.5×10^{-4} 、 卵巣について 1.1×10^{-4} であると仮定する。これらの値は生殖腺のg 当たり 10^{-5} という生殖腺への移行割合に相当する。通過コンパートメントを出ていくネプツニウムの残りは直接に排泄されると仮定する。

無機質骨に移行したネプツニウムは、その組織に100年の生物学的半減期で 残留すると仮定する。一方、肝臓に移行したネプツニウムは、その組織に40年 の生物学的半減期で残留すると仮定する。生殖腺に移行したネプツニウムはそ の組織に永久に残留すると仮定する。

3. 骨線量算定のための同位体の分類

ネプツニウムの骨中の初期沈着はプルトニウムよりもカルシウムに似ている¹¹⁾。それにもかかわらず、沈着の初期にはまだ骨表面に大部分結合しており、アルカリ土類元素のようには骨基質中を移動しないようである。これらの理由から、ネプツニウムは、他のアクチニドのように、骨格中に沈着した後いつでも無機質骨の骨内膜の表面に均等に分布していると仮定する。

文 献

- 1) ICRP Publication 19, The Metabolism of Compounds of Plutonium and Other Actinides. Pergamon Press, Oxford, 1972.
- Ballou, J. E., Bair, W. J., Case, A. C. and Thompson, R. C. (1962).
 Studies with Neptunium in the Rat. Health Phys., 8, 685-688.
- 3) Sullivan, M. F. and Crosby, A. L. Absorption of Uranium-233, Neptunium-237, Plutonium-238, Americium-241, Curium-244, and Einsteinium-253 from the Gastrointestinal Tract of Newborn and Adult Rats. Battelle Pacific Northwest Laboratories Annual Report for 1974, Part 1. BNWL-1950 PT1, 1975, pp. 105-108.
- Sullivan, M. F. and Crosby, A. L. Absorption of Transuranic Flements from Rat Gut. Battelle Pacific Northwest Laboratories Annual Report for 1975, Part 1. BNWL-2000-PT1, 1976, pp. 91-93.
- Bair, W. J. and Case, A. C. Preliminary Studies of Inhaled Dust Containing Neptunium-237. AEC Research and Development Report HW-70949, 1961.
- 6) Lyubchanskii, E. R. and Levdik, T. I. Neptunium 237 Metabolism after Inhalation thereof. In: Biologicheskoye Deystviye Vneshnikh i Vnutrennikh Istochnikov Radiatsii. Eds. Moskalev, Yu. I. and Kalistratova, V. S., (Meditsina, Moscow, 1972) pp. 204-214, translated in AEC-tr-7457 (1972) pp. 309-321.
- Moskalev, Yu. I., Rudnitskaya, E. I., Zalikin, G. A., Petrovich, I. K. and Levdik, T. I. In: Proceedings of German-Soviet Working Meeting on the Question of Radiation Protection. Berlin (1972), SZS-148 (1973) pp. 12-28.
- 8) Moskalev, Yu. I., Rudnitskaya, E. N., Zalikin, G. A. and Petrovich, I. K. Distribution and biological effects of neptunium 237. In: Biologicheskoye Deystviye Vneshnikh i Vnutrennikh Istochnikov Radiatsii. Eds. Moskalev, Yu. I. and Kalistratova, V. S. Meditsina, Moscow, 1972, pp. 220-229, translated in AEC-tr-7457 (1972) pp. 330-341.
- 9) Levdik, T. I., Lemberg, V. K., Yerokhin, R. A. and Buldakov, L. A. Some characteristics of the biological effect and behaviour of neptunium-237 in the animal body after administering different isotope salts. In:

- Otdalennyyee Posledstviya Luchevykh Porazheniy. Ed. Moskalev, Yu. I. Atomizdat, Moscow, 1971, pp. 439-449, translated in AEC-tr-7387 (1972), pp. 483-494.
- Mahlum, D. D. and Clarke, W. J. (1966). Neptunium-237 Toxicity in the Rat-I. Histopathologic and Chemical Observations in Liver and Kidney. Health Phys., 12, 7-13.
- 11) Nenot, J. C., Masse, R., Morin, M. and Lafuma, J. (1972). An Experimental Comparative Study of the Behaviour of ²⁸⁷Np, ²⁸⁸Pu, ²⁴¹Am and ²⁴²Cm in Bone. *Health Phys.*, 22, 657–666.

ネプツニウムの同位体に関する年摂取限度 ALI (Bq) および誘導空気中濃度 DAC (Bq/m^3) ($40\ h/wk$)

ALI (Bq)

		TIBLE (DQ)	
	1.1	Q.C.	吸 入
放射性核種		経口	クラスW
		$f_1 = 1 \times 10^{-2}$	$f_1 = 1 \times 10^{-2}$
²³² Np		1×10° (2×10°) 骨表面	9×10 ⁷ (2×10 ⁸) 骨表面
²³³ Np		3×10^{10}	1×10^{11}
²³⁴ Np		8×107	1×10^{8}
²³⁵ Np		4×10 ⁸	5×10 ⁷ (5×10 ⁷) 骨表面
236 Np $(1.15 \times 10^5 \text{y})$		1×10 ⁴ (2×10 ⁴) 骨表面	1×10³ (2×10³) 骨表面
²³⁶ Np (22.5 h)		2×10 ⁷ (3×10 ⁷) 骨表面	1×10 ⁶ (3×10 ⁶) 骨表面
²³⁷ Np		3×10³ (5×10³) 骨表面	2×10² (4×10²) 骨表面
²³⁸ Np		3×10 ⁷	3×10 ⁶ (6×10 ⁶) 骨表面
²³⁹ Np		6×10 ⁷ (6×10 ⁷) 大腸下部壁	9×10^7
²⁴⁰ Np		8×10 ⁸	3×109

専門委員会2の報告

DAC (Bq/m³) (40 h/wk)

		吸 入
放射性核種		クラスW
	nd Chemical Observation	$f_1 = 1 \times 10^{-2}$
	²³² Np	4×10 ⁴
	²⁸³ Np	5×107
	²³⁴ Np	4×10 ⁴
	²⁸⁵ Np	2×10 ⁴
	²⁸⁶ Np (1.15×10 ⁵ y)	4×10 ⁻¹
	²³⁶ Np (22.5 h)	6×10^{2}
	²³⁷ Np	9×10^{-2}
	²³⁸ Np	1×10^{3}
	²³⁹ Np	4×10^{4}
	²⁴⁰ Np	1×10 ⁶

追補

作業者による放射性核種の摂取の限度

ICRP Publication 30, Part 1, 1979

Part 1 の76ページ*および補遺の54ページと55ページ: 眼の水晶体の線量当量限度の勧告値を1年につき0.3Sv から0.15Sv に低減するという委員会の決定の結果として、 81 Kr と 88m Kr についての DAC の値を次のように修正する。

クリプトンの同位体に関する誘導空気中濃度 DAC (Bq/m³) (40 h/wk)

放射性核種	半無限大の雲	1,000m³の部屋	500m³の部屋	100m³の部屋
⁸¹ Kr	2×10 ⁷	1×10 ⁸ (5×10 ⁸) 水晶体	1×10 ⁸ (6×10 ⁸) 水晶体	1×10 ⁸ (9×10 ⁸) 水晶体
^{83m} Kr	4×10 ⁸ (7×10 ⁹) 水晶体	4×10 ⁸ (7×10 ⁹) 水晶体	4×10 ⁸ (7×10 ⁹) 水晶体	4×10 ⁸ (8×10 ⁹) 水晶体

^{*} 邦訳版では133ページ

(447)

部 追

支配 医强化剂的物质形式 二種樂件

CAMP Publication 30, Part I. 1960

ar glogga of the constitution and the constitution of the constitu

es per a la care de la les demanas de la sea balla de montes volución de la cofficient de la composition de la La composition de la

and distriction of the Miller of the Co.

Charles of the Cold

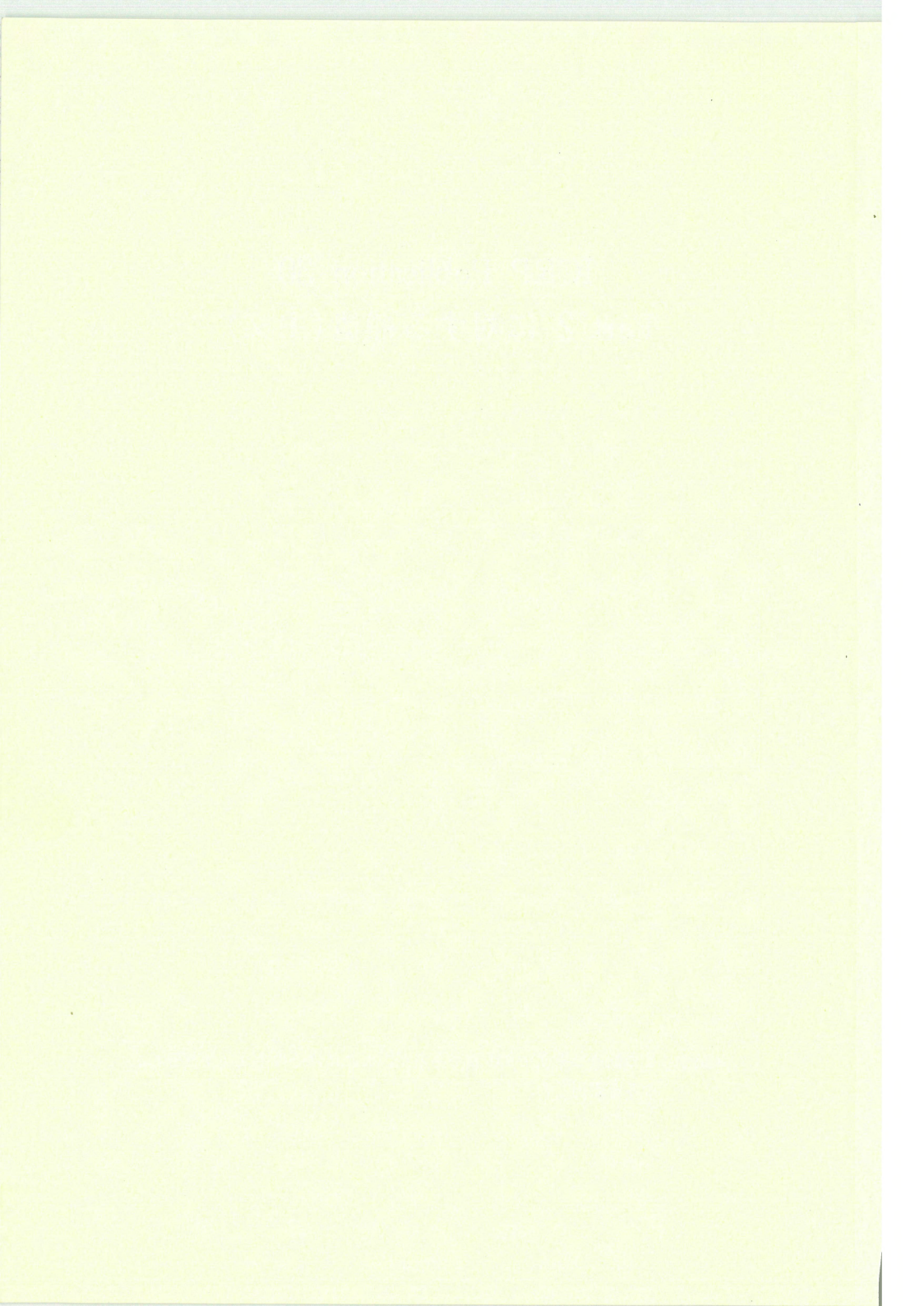
2003 - Company (1980) -

NG (1997년) - 시청 (1997년) 12일 - 전에 시청 (1997년) - 12일 (1997년) 12일 - 12일 (1997년) - 12일 (1997년)

1. 一个放大的影響

ICRP Publication 30 Part 2 に対する補遺(主文)*

*訳注 この補遺は原文で751頁であるが、ここにはその主文(4頁分) のみを訳出した。



1. 緒 論

この補遺では、ICRP Publication 30、Part 2(以下 Part 2 と記す)で考察した 放射性核種の線量算定に関連のあるデータが与えられている。これらのデータ は、Part 2 に与えられている年摂取限度 (ALI) および誘導空気中濃度 (DAC) の値を決定するために用いたコンピュータのプリントアウトを、直接に複写したものである。これらの表の中で使われている特別な約束ごとおよび記号で、Part 1 で用いたもの以外について、以下に簡単に説明する。引用してある章 は、Part 1 の章である。

2. 放射性核種の崩壊図式

データをチェックするのに役立つように, 簡略化した崩壊図式のみが示されている。計算に用いる詳細な崩壊図式は別に刊行される予定である。

3. データの諸表

3.1 一般的事項

3.1.1 87 Ar の表を除き、このデータの諸表はコンピュータのプリントアウトを直接に複写したものである。したがって、すべての値は通常の指数の表し方で与えられている。たとえば、3.0E-02は 3.0×10^{-2} 、7.1E03は $7.1\times$

- 10^{3} と読む。そして崩壊図式では、これらの値は省略してそれぞれ 3.0E-2 お 3.0E-2 おび 3.0E-2 お 3.0E-2 か 3.0E-2 お 3.0E-2 お 3.0E-2 か 3.0E-2 お 3.0E-2 お 3.0E-2 か 3
- 3.1.2 代謝モデルと崩壊図式データの不確かさを考慮して、ALIとDAC の値は1個の有効数字で与えられている。これら ALI の基礎になったデータ を使用したいという読者の便宜のため、その他すべての表の中に示す量は、丸めの誤差を減らすため2個の有効数字で与えられている。
- 3.1.3 表に含まれるベきデータの選択にあたっては、初めに"10%規則"を適用して標的器官を選び、次に"1%規則"を適用して線源器官を選んだ (Part 1, 4.7節)。
- 3.1.4 娘放射性核種に関するデータは、親放射性核種の体内での変換から生ずる娘核種の諸量に関するものである(Part 1, 4.6.1項)。娘放射性核種に関するデータは、吸入あるいは経口による親放射性核種の摂取の仕方の少なくとも1つについて、その娘核種の寄与が荷重預託線量当量の総和の0.1%以上である場合にのみ表示されている。

3.2 比実効エネルギー

- 3.2.1 多くの線源器官で生ずる変換に由来する多くの標的器官における 比実効エネルギー(SEE)の値が、指定した核種について与えられ、また、こ の指定した核種の体内での変換から生成する娘放射性核種がある場合には、 SEE の値が、それら娘核種のいずれについても与えられている。
- 3.2.2 変換の数の表では全身 (total body) を線源器官として掲げてはいないが、身体のいろいろな器官および組織の預託線量当量を計算するために用いた方法の関係で、SEEの表ではしばしば全身を線源器官としている。計算の方法は以下の例で説明する(3.3.2項も参照)。
- 質量 M_i (g) の器官 i における変換の総数を U_i とし、身体の残りの質量 $(70,000-\sum\limits_i M_i)$ (g) における変換の総数を U_{ROB} とすると、身体内の変換の

分布は次の2つの成分の和としても表すことができる。

(a) 身体のすべての器官および組織全体に均等に分布した変換の数,

$$U_{\text{ROB}} \times 70,000$$

 $(70,000 - \sum_{i} M_{i})$

(b) 各器官 *i* における変換の教,

$$U_i - \frac{M_i \times U_{\text{ROB}}}{(70,000 - \sum_i M_i)}$$

特定の標的器官および組織の預託線量当量については、これら成分の各々を別々に計算し、次にこれを加算すれば、その標的器官および組織の預託線量当量の総和が得られる。したがって、全身を線源器官とした SEE の値は (a)で与えられる変換の総数と組み合わせて常に用いられ、特定の線源器官に関する SEE は (b) と関連して用いられる。

3.3 変換の数

- 3.3.1 指定した放射性核種の単位放射能を経口摂取 および 吸入した後の50年間に種々の線源器官内で生ずる変換の数Uの値が与えられている。指定した放射性核種の体内での変換によって生成する娘放射性核種のいずれについてのUの値も与えられている。経口摂取に関しては,Uの値は,経口摂取された元素の化合物が血液に吸収される割合 f_1 (Part 1,第6章) のそれぞれの値ごとに示されている。また吸入に関しては,吸入のクラス D,W,およびY (Part 1,第5章) のそれぞれごとに,U の値が示されている。異なる化合物についての f_1 の値および D,W,あるいは Y の区分は,Part 1 で論じられた各元素の代謝データ中に与えられている。
- 3.3.2 考察した線源器官は、体内に入った放射性核種を含む組織をすべて網羅している。"その他の組織"(other tissue)とは、その元素に関する代謝データの2c節中で記されている代謝モデルの中に挙げられていて同時に Part 1

の表 4.1 にも線源器官として挙げられている器官および組織を、全身から差し引いた身体の残りの部分(rest of the body) (3.2.2 項参照) をいう。たとえばリンについては、代謝モデルの中に挙げられていて、同時に Part 1 の表 4.1 において線源組織として指定されたただ一つの組織は無機質骨である。したがって、リンの同位体に関する"その他の組織"の質量は、全身の質量 $(70,000\,\mathrm{g})$ から無機質骨の質量 $(5,000\,\mathrm{g})$ を差し引いた、 $65,000\,\mathrm{g}$ である。"その他の組織"を表に示した個所では、その下にその質量 (g) が括孤内に与えられている。

- 3.3.3 通過コンパートメント (Part 1, 4.6節および図4.1) における変換は、身体のすべての器官および組織全体に均等に分布すると仮定する。それゆえ、ある特定の器官または組織についての変換の数は、次の2つの成分の和である。
 - (a) 代謝モデルによって計算したその器官または組織における変換の 数,
 - (b) 通過コンパートメントにおける変換の一部分(U_1)。 U_1 は次式で与えられる。

$$U_1 = \frac{M \times U_{\text{TRANSFER}}}{70,000}$$

ここで,

M: 器官または組織の質量 (g),

 U_{TRANSFER} : 通過コンパートメントにおける変換の数,

70,000: 全身の質量 (g),

である。

3.4 預託線量当量および荷重預託線量当量

3.4.1 生殖腺の預託線量当量は、精巣と卵巣の預託線量当量のうち大きい方とする。

- 3.4.2 乳房には筋肉の預託線量当量を使用する。
- 3.4.3 ある吸入クラスの下に掲げた各器官 または 組織の預託線量当量の値は、空気力学的放射能中央径 (AMAD) が $1~\mu m$ のエーロゾルに用いる。肺の N-P 領域、T-B 領域および P 領域のそれぞれに沈着した成分に由来する預託線量当量の百分率は、預託線量当量の値のすぐ下に括孤内に示されている。これらの百分率は、 $1~\mu m$ 以外の AMAD をもつエーロゾルの預託線量当量を計算するために使用することができる(第 $5~\bar{p}$, $5.5~\bar{p}$)。
 - 3.4.4 "残りの組織" (Remainder) とは,
 - (a) 代謝モデル,
 - (b) 胃腸管モデル (第6章), および
 - (c) 荷重係数の表(第2章, 表 2.1)

に挙げられていない、すべての標的器官および組織をまとめて記述するために 与えられた名称である。

"残りの組織"に割り当てた預託線量当量は、第4章、表4.1 に示されているが上の(a)、(b)、(c)のいずれにも含まれない任意の標的器官または組織ののうちの最大預託線量当量である。預託線量当量の表には、0.06、0.12、0.18、0.24 あるいは 0.30 という荷重係数が、"残りの組織"の預託線量当量の下に示してある。この荷重係数は、"10%規則"によって除外されず、また上の(a)、(b)、(c)のいずれにも含まれず、さらに0.06という荷重係数をあてはめるべき、標的器官および組織の数(最大5つまで)によって決まる (Part 1, 2.2節および 4.7 節)。このような器官または組織がない場合には、残りの組織について預託線量当量あるいは荷重預託線量当量は与えられていない。

例: その元素の代謝モデルでは、肝臓、腎臓および身体の残りの部分が挙げられているものとする。(a)

胃腸管モデルでは、胃、小腸、大腸上部および大腸下部の名が挙げられている。 ……(b)

(6)

荷重係数の表では、生殖腺、乳房、肺、赤色骨髄、甲状腺および骨表面の名が挙げられている。(c)

さらに、大腸下部、肝臓、および腎臓も、身体の残りの部分のうち子宮、脾臓および副腎も、 "10%規則"によって除外されないものとする。そうすると、 "残りの組織"には、子宮、脾臓あるいは副腎についての預託線量当量のうちの最大値に等しい預託線量当量と、その下に示されている0.12という荷重係数が割り当てられることになる。他の3つの器官すなわち大腸下部、肝臓および腎臓の名称は、すでに述べた分類(a)、(b)、(c)の中に挙げられているので、 この0.12という荷重係数は "残りの組織" (第2章、表2.1) として許される最大5つの組織のうちの2つに対応するものである。

3.5 サブマージョンによる線量当量率および荷重線量当量率

単位放射能濃度の希ガス中のサブマージョンによる皮膚と水晶体の線量当量率の値が与えられている。これらの組織については確率的影響は考慮しないので、荷重線量当量率の値はない。

3.6 年摂取限度および誘導空気中濃度

3.6.1 ALI が基本となる補助限度であることを強調する。 したがって、吸入に関しては、 C(t) (Bq m $^{-3}$) をある放射性核種のある瞬間の空気中濃度とし、B(t) を単位時間当たりの m 3 で表したその瞬間の呼吸率とすると、被曝の限度は次式で与えられる。

$\int C(t)B(t)\mathrm{d}t \leq \mathrm{ALI}$

ここで,この積分は就労している任意の1年間について行う(第3章, 3.4節)。 便宜のために,DAC の値が与えられている。すなわち,

DAC=ALI/2. 4×10^8 Bq m⁻³

この DAC の値は常に注意して使用すべきである。この値は"軽作業"の条件で年間 2,000 時間(1 週40時間で50週)の作業をする標準人についてのみ適用される(第 3 章, 3.4節)。

- 3.6.2 もし ALI がある特定の器官または組織の線量当量の非確率的限度によって決まる場合(Part 1, 4.7節)には、その器官または組織名を ALI の値の下に示す。また、確率的影響を制限するための 委員会の 勧告(Part 1, 4.7節)を満たす年摂取量の最大値 I(Bq) を括弧の中に示す。ALI が確率的限度によって決まる場合には、ALI の値の下に器官名は示さない。
- 3.6.3 放射性希ガス中のサブマージョンに関するDACが任意の器官または組織(通常は皮膚)に対する非確率的限度により決まる場合には,その器官または組織名を DAC の下に示す。また,確率的影響を制限するための委員会勧告を満たす DAC の値を括弧の中に示す(第8章,8.4節)。DAC は2,000時間という1年間の労働時間について導かれたものであることを強調する。もし,Part 1 の 3.5.2 項に記した条件が満たされているならば,空気中濃度が DAC の値よりも高い放射性希ガスに作業者がさらされることは許される。

作業者による放射性核種の 摂取の限度 Prat 2

定価 1,500円

昭和57年4月30日 初版第1刷発行

編集

禁門 日本アイソトープ協会

および発行

型 仁科記念財団

113 東京都文京区本駒込二丁目28番45号

電 話 (03) 946-7111

振 替 東京 8—143345

発売所

丸善株式会社